

ความสัมพันธ์ของยืนที่เกี่ยวข้องกับความรุนแรงและการปั๊สสาวเป็นเลือดของ
สุนัขที่มีการติดเชื้อ เอสเซอริเซีย โคล่า ในระบบทางเดินปัสสาวะ

นาย ยงยุทธ พงษ์ประภาชื่น

วิทยานิพนธ์นี้เป็นส่วนหนึ่งของการศึกษาตามหลักสูตรปริญญาวิทยาศาสตร์มหาบัณฑิต

สาขาวิชาอาชญาศาสตร์สัตวแพทย์ ภาควิชาอาชญาศาสตร์

คณะสัตวแพทยศาสตร์ จุฬาลงกรณ์มหาวิทยาลัย

ปีการศึกษา 2550

ลิขสิทธิ์ของจุฬาลงกรณ์มหาวิทยาลัย

**THE CORRELATION BETWEEN UROVIRULENCE ASSOCIATED GENES AND
HEMATURIA IN *Escherichia coli* INFECTED URINARY TRACT OF DOGS**

Mr. Yongyut Pongprapachuen

**A Thesis Submitted in Partial Fulfillment of the Requirements
for the Degree of Master of Science Program in Veterinary Medicine**

Department of Veterinary Medicine

Faculty of Veterinary Science

Chulalongkorn University

Academic Year 2007

Copyright of Chulalongkorn University

หัวขอวิทยานิพนธ์	ความสัมพันธ์ของยืนที่เกี่ยวข้องกับความรุนแรงและอาการปั๊สสาวะเป็นเดือดของผู้ชายที่มีการติดเรื้อร อดเชอริเรีย โคล ในระบบทางเดินปัสสาวะ
โดย	นาย ยงยุทธ พงษ์ประภาชื่น
สาขาวิชา	อายุรศาสตร์สัตวแพทย์
อาจารย์ที่ปรึกษา	รองศาสตราจารย์ สัตวแพทย์หญิง ดร. รสม่า ภู่สุนทรธรรม
อาจารย์ที่ปรึกษาช่วง	อาจารย์ นายสัตวแพทย์ ดร. ชาญณรงค์ รอดคำ

คณะกรรมการนี้ได้ให้นับวิทยานิพนธ์ฉบับนี้เป็นส่วนหนึ่งของการศึกษาตามหลักสูตรปริญญาบัณฑิต

ธรรม ใจดี คณบดีคณะสัตวแพทยศาสตร์
(ศาสตราจารย์ นายสัตวแพทย์ ดร. อรุณพ คุณวงศ์กฤต)

คณะกรรมการสอนวิทยานิพนธ์

..... ประธานกรรมการ
(รองศาสตราจารย์ สัตวแพทย์หญิง รัตนารณ์ พรมมาสสา)

..... อาจารย์ที่ปรึกษา
(รองศาสตราจารย์ สัตวแพทย์หญิง ดร. รสม่า ภู่สุนทรธรรม)

..... อาจารย์ที่ปรึกษาช่วง
(อาจารย์ นายสัตวแพทย์ ดร. ชาญณรงค์ รอดคำ)

..... กรรมการ
(ผู้ช่วยศาสตราจารย์ สัตวแพทย์หญิง ดร. นารีรัตน์ วิเศษกุล)

ยงยุทธ พงษ์ประภาสื่น : ความสัมพันธ์ของยีนที่เกี่ยวข้องกับความrunแรงและอาการปัสสาวะเป็นเลือดของสุนัขที่มีการติดเชื้อ เอสcherichia coli ในระบบทางเดินปัสสาวะ. (THE CORRELATION BETWEEN UROVIRULENCE ASSOCIATED GENES AND HEMATURIA IN *Escherichia coli* INFECTED URINARY TRACT OF DOGS) อ. ที่ปรึกษา: ดร.สพ.ญ.ดร. รสมนา ภู่สุนทรธรรม,
อ. ที่ปรึกษาawan : อ.น.สพ.ดร. ชาญณรงค์ วงศ์คำ, 81 หน้า.

การศึกษาครั้งนี้มีวัตถุประสงค์คือ ศึกษาหารนิตรของยีนที่อาจเกี่ยวข้องกับความrunแรงต่อทางเดินปัสสาวะของ uropathogenic *Escherichia coli* (uropathogenic *E. coli*, UPEC) และความสัมพันธ์ของยีนดังกล่าวกับอาการปัสสาวะเป็นเลือด หาความชุกของการติดเชื้อ UPEC และหาความไว้วับต่อยาต้านจุลชีพของ UPEC ในสุนัขที่มีการติดเชื้อทางเดินปัสสาวะ ทำการศึกษาโดยเก็บตัวอย่างปัสสาวะจากสุนัขที่เข้ารับการรักษาการติดเชื้อทางเดินปัสสาวะที่โรงพยาบาลสัตว์เล็ก คณะสัตวแพทยศาสตร์ ฯ ทั้งจำนวน 105 ตัว ทำการตรวจวิเคราะห์ปัสสาวะเพาะเชื้อบัสสาวะ ทำการหารนิตรของยีนที่เกี่ยวข้องกับความrunแรงต่อทางเดินปัสสาวะด้วยปฏิกิริยาลูกิโซฟิลเมอร์เรต แบบมัลติเพลก์ และทำการทดสอบความไว้วับต่อยาต้านจุลชีพโดยวิธี agar dilution ผลการศึกษาพบว่า สุนัขเพศเมียที่ได้รับการทำหมันมีการติดเชื้อ *E. coli* ในทางเดินปัสสาวะมากที่สุด สุนัขป่วยจะแสดงอาการผิดปกติคือ ปัสสาวะเป็นเลือด สุนัขที่มีการติดเชื้อ *E. coli* ในทางเดินปัสสาวะมีค่าเฉลี่ยของความถ่วงจำเพาะ กูโกรส เลือด และระดับเม็ดเลือดขาวในปัสสาวะสูงกว่าสุนัขที่ไม่มีการติดเชื้อ *E. coli* ในทางเดินปัสสาวะอย่างมีนัยสำคัญทางสถิติ ($p<0.05$) เมื่อทำการเพาะเชื้อบัสสาวะพบ UPEC 21 ไอโซเลท ทุกไอโซเลทมียีนที่เกี่ยวข้องกับความrunแรงต่อทางเดินปัสสาวะอย่างน้อย 1 ชนิด และพบว่ายีน aer มีความสัมพันธ์กับการติดเชื้อ *E. coli* ในทางเดินปัสสาวะอย่างมีนัยสำคัญ ($p<0.05$) เมื่อทำการทดสอบความไว้วับต่อยาต้านจุลชีพ โดยการหาค่าความเข้มข้นต่ำสุดของยาต้านจุลชีพที่สามารถยับยั้งการเจริญเติบโตของเชื้อ พบว่า UPEC มีความไวต่อ amikacin (ร้อยละ 100) และ ceftriazone (ร้อยละ 42.9) ตามลำดับ และต่อ amoxicillin และ ampicillin มากที่สุดคือ ร้อยละ 100 ซึ่งตัวต่อมาได้แก่ trimethoprim/sulphamethoxazole (ร้อยละ 81), doxycycline (ร้อยละ 76.2), enrofloxacin (ร้อยละ 71.4), cephazolin (ร้อยละ 66.7), norfloxacin (ร้อยละ 61.9) และ gentamicin (ร้อยละ 52.4) ตามลำดับ จากการศึกษาครั้งนี้พบว่า UPEC เป็นสาเหตุหลักที่ทำให้เกิดการติดเชื้อแบคทีเรียในทางเดินปัสสาวะ โดยยีนที่เกี่ยวข้องกับความrunแรงต่อทางเดินปัสสาวะ เช่น ยีน aer, cnf, pap และ sfa ปัจจุบันของการแสดงออกของ pathogenicity islands (PAIs) และอาจมีส่วนเพิ่มความrunแรงของการติดเชื้อ UPEC

จุฬาลงกรณ์มหาวิทยาลัย

ภาควิชาอาชญาศาสตร์

สาขาวิชาอาชญาศาสตร์สัตวแพทย์

ปีการศึกษา 2550

ลายมือชื่อนิสิต..... ๖๗๗๘...๖๐๙๔๘๗.....

ลายมือชื่ออาจารย์ที่ปรึกษา..... ดร.

ลายมือชื่ออาจารย์ที่ปรึกษาawan

4875579331 : MAJOR VETERINARY MEDICINE

KEYWORD : CANINE/ *Escherichia coli*/ HEMATURIA/ URINARY TRACT INFECTION/
UROVIRULENCE GENES

YONGYUT PONGPRAPACHUEN : THE CORRELATION BETWEEN
UROVIRULENCE ASSOCIATED GENES AND HEMATURIA IN *Escherichia coli*
INFECTED URINARY TRACT OF DOGS. THESIS ADVISOR : ASSOC. PROF.
ROSAMA PUSOONTHORNTHUM, Ph.D., THESIS COADVISOR : CHANNARONG
RODKHUM, Ph.D., 81 pp.

The objectives of this study were to determine the existance of urovirulence associated genes of uropathogenic *Escherichia coli* (uropathogenic *E. coli*, UPEC) and determine its association with hematuria, to study the prevalence of UPEC infection and to identify the antimicrobial susceptibility in canine urinary tract infections. Urine samples were collected via cystocentesis or urethral catheterization from 105 dogs with urinary tract infections presented to Small Animal Hospital, Faculty of Veterinary Science, Chulalongkorn University. The samples were subjected to urinalysis, urine culture, determination of the urovirulence associated gene by the multiplex polymerase chain reaction (multiplex PCR) and antimicrobial susceptibility testing (agar dilution technique). The results revealed that spay females dogs with hematuria had highest prevalence to have *E. coli* urinary tract infection. Dogs who suffered form *E. coli* infection had significantly higher levels of means urine specific gravity, glucose, blood's levels and white blood cell in urine than uninfected groups ($p<0.05$). Twenty-one isolates of UPEC were obtained and at least one urovirulence associated gene was found in each isolate. The *aer* gene found in UPEC isolates had the significant correlation with *E. coli* urinary tract infection in dogs ($p<0.05$). The antimicrobial susceptibility reveals that UPEC was susceptible to amikacin (100%) and ceftriazone (42.9%) and resisted to amoxicillin and ampicillin (100%), trimethoprim/sulphamethoxazole (81%), doxycycline (76.2%), enrofloxacin (71.4%), cephalazolin (66.7%), norfloxacin (61.9%) and gentamicin (52.4%). These results indicated that UPEC was the most common in canine urinary tract infection. The particular urovirulence associated genes (*aer*, *cnf*, *pap* and *sfa*) appear frequently in combination with canine UTI *E. coli* strains. The simultaneous presence of these genes points to the presence of pathogenicity islands (PAIs) that may play an important role in enhancement of the virulence of UPEC.

Department: Veterinary Medicine

Student's signature.....*Yongyut Pongprapachuen*.....

Field of study: Veterinary Medicine

Advisor's signature.....*Rosamai Pusonthornthum*.....

Academic year: 2007

Co-advisor's signature.....*Channarong Rodkhum*.....

กิตติกรรมประกาศ

วิทยานิพนธ์ฉบับนี้คงจะสำเร็จลุล่วงไม่ได้ หากไม่ได้รับความเมตตา ช่วยเหลือ และสละเวลาให้คำแนะนำ คำปรึกษา ถ่ายทอดความรู้ในด้านต่างๆ ของงานวิจัยและการเขียนวิทยานิพนธ์ จาก รศ. สพ. ณ. ดร. รสม่า ภู่สุนทรธรรม อาจารย์ที่ปรึกษา และ อ. สพ. ดร. ชาญณรงค์ รอดคำ อาจารย์ที่ปรึกษาร่วม กราบขอบพระคุณอาจารย์เป็นอย่างสูงมา ณ โอกาสนี้

กราบขอบพระคุณประธานกรรมการ รศ. สพ. ณ. รัตนภรณ์ พรมASA กรรมการผู้ทรงคุณวุฒิ รศ. สพ. ณ. อินทิรา กระหม่อมทอง และ อ. สพ. ณ. ดร. นารีรัตน์ วิเศษกุล ที่กรุณาให้คำปรึกษาและสละเวลาตรวจสอบแก้ไขวิทยานิพนธ์ฉบับนี้ให้สมบูรณ์ยิ่งขึ้น

ขอขอบพระคุณ ผศ. น. สพ. ดร. ณัฐร์ ประวัติwareekul ที่กรุณาให้คำปรึกษา แนะนำ ถ่ายทอดความรู้ อนุเคราะห์อุปกรณ์และสารเคมี รวมถึงสถานที่ในการทำวิจัยทางอนุชีววิทยา

ขอขอบคุณ งานบริการการศึกษา บัณฑิตวิทยาลัย จุฬาลงกรณ์มหาวิทยาลัย และหน่วยส่งเสริมและพัฒนาทางวิชาการ งานบริการการศึกษาบัณฑิตศึกษา คณะสัตวแพทยศาสตร์ จุฬาลงกรณ์มหาวิทยาลัย สำหรับทุนอุดหนุนวิทยานิพนธ์สำหรับนิสิต

ขอขอบคุณสัตวแพทย์และบุคลากรโรงพยาบาลสัตว์เล็ก คณะสัตวแพทยศาสตร์ จุฬาลงกรณ์มหาวิทยาลัยทุกท่าน โดยเฉพาะหน่วยอายุรกรรม คลินิกพิเศษเฉพาะทาง และหน่วยศัลยกรรม ที่ให้ความช่วยเหลือและคำนวณความสะดวกในการทำวิจัย

ขอขอบคุณเจ้าหน้าที่และบุคลากรภาควิชาอาชญาศาสตร์ และภาควิชาจุลชีววิทยา คณะสัตวแพทยศาสตร์ จุฬาลงกรณ์มหาวิทยาลัยทุกท่านที่ให้ความช่วยเหลือและคำนวณความสะดวกตลอดงานวิจัย

สุดท้ายนี้ กราบขอบพระคุณ บิดา มารดา และขอขอบคุณสมาชิกในครอบครัวและเพื่อนๆ ทุกคนที่เป็นกำลังใจที่สำคัญให้การสนับสนุน และช่วยเหลือทำให้งานวิจัยนี้สำเร็จลุล่วงด้วยดี

**สถาบันวิทยบริการ
จุฬาลงกรณ์มหาวิทยาลัย**

สารบัญ

	หน้า
บทคัดย่อภาษาไทย.....	๑
บทคัดย่อภาษาอังกฤษ.....	๑
กิตติกรรมประกาศ.....	๒
สารบัญ.....	๓
สารบัญตราสาร.....	๔
สารบัญรูป.....	๕
คำขอใบายสัญลักษณ์และคำย่อ.....	๕
บทที่	
1 บทนำ.....	1
1.1 แนวเหตุผล หรือทฤษฎีที่สำคัญ.....	1
1.2 สมมติฐานของการวิจัย.....	3
1.3 วัตถุประสงค์ของการวิจัย.....	3
1.4 คำสำคัญ.....	3
1.5 คำาถามสำหรับการวิจัย.....	3
1.6 ประโยชน์ที่คาดว่าจะได้รับจากการวิจัย.....	3
2 เอกสารและงานวิจัยที่เกี่ยวข้อง.....	4
2.1 การติดเชื้อทางเดินปัสสาวะ.....	4
2.1.1 พยาธิกำเนิด.....	5
2.1.2 ระบบภูมิคุ้มกันตามธรรมชาติของร่างกาย.....	6
2.1.3 ปัจจัยจากจุลชีพ.....	8
2.1.4 อาการทางคลินิก.....	13
2.1.5 การตรวจวินิจฉัย.....	17
2.1.6 การรักษา.....	20
2.2 การตรวจหาปัจจัยที่เกี่ยวข้องกับความรุนแรงต่อทางเดินปัสสาวะของ uropathogenic <i>E. coli</i> (UPEC).....	21
3 วิธีดำเนินการวิจัย.....	24
3.1 นิยามสัตandard.....	24
3.2 การคัดเลือกตัวควบคุม.....	24

บทที่	หน้า
3.3 การเก็บตัวอย่าง.....	24
3.4 การตรวจวิเคราะห์ปัสสาวะ.....	25
3.5 จรวจการตรวจการใช้สัตว์ทดลอง.....	25
3.6 การนับจำนวนแบคทีเรียทั้งหมด.....	25
3.7 การหายใจที่เกี่ยวข้องกับความรุนแรงต่อทางเดินปัสสาวะโดยปฏิกริยาลูกชิ้น โพลิเมอร์เจส แบบมัดติเพลกซ์.....	26
3.8 การทดสอบความไวรับต่อยาต้านจุลชีพ.....	29
3.9 การรับรวมข้อมูลและการวิเคราะห์สถิติ.....	33
4 ผลการทดลอง.....	34
4.1 การติดเชื้อ <i>E. coli</i> ในทางเดินปัสสาวะ.....	34
4.2 ชนิดของยีนที่เกี่ยวข้องกับความรุนแรงต่อทางเดินปัสสาวะของ <uropathogenic coli<="" e.="" u=""> (UPEC).....</uropathogenic>	38
4.3 การทดสอบความไวรับต่อยาต้านจุลชีพ.....	42
5 สรุปผลการวิจัย อภิปราย และข้อเสนอแนะ.....	46
รายการอ้างอิง.....	53
ภาคผนวก.....	60
ภาคผนวก ก ข้อมูลสัตว์ป่วย.....	61
ภาคผนวก ข อาหารเลี้ยงเชื้อและสารเคมี.....	73
ภาคผนวก ค ตารางการแปรผลค่าความไวรับของเชื้อมาตรฐาน.....	74
ประวัติผู้เขียนนิพนธ์.....	81

สถาบันวิทยบริการ จุฬาลงกรณ์มหาวิทยาลัย

สารบัญตาราง

ตารางที่	หน้า
1 ชนิดของเชื้อประจำถิ่นที่พบบริเวณทางเดินปัสสาวะและระบบสีบพันธุ์ (urogenital tract) ในสุนัขเพศผู้และเพศเมีย.....	4
2 ความผิดปกติที่ช่วยในการระบุตำแหน่งของการติดเชื้อระบบทางเดินปัสสาวะ.....	14
3 สาเหตุของการปัสสาวะเป็นเลือดตามตำแหน่ง.....	16
4 การแปลผลการเพาะเชื้อปัสสาวะเชิงปริมาณในสุนัข จำแนกตามวิธีการเก็บปัสสาวะ.....	19
5 ชนิดของยาต้านจุลชีพ และชนิดของแบคทีเรียที่แยกได้จากปัสสาวะของสุนัขที่มีการติดเชื้อทางเดินปัสสาวะ.....	21
6 ชนิด ลำดับเบส และขนาดของ amplicons ซึ่งจำเพาะต่อปั๊จจัยที่เกี่ยวข้องกับความรุนแรงต่อทางเดินปัสสาวะของ UPEC.....	28
7 ขั้นตอนการเจือจางยาต้านจุลชีพที่ระดับความเข้มข้นต่าง ๆ	31
8 ขั้นตอนการเจือจางยา trimethoprim/sulfamethoxazole (1:19).....	32
9 ค่า Odds ratio (OR), 95% confidence interval (CI) ชนิดและจำนวนไอโซเลทของจุลชีพแยกตามเพศ.....	35
10 ความแตกต่างของค่าเฉลี่ยของผลการตรวจวิเคราะห์ปัสสาวะของสุนัข.....	36
11 ค่า Odds ratio (OR), 95% confidence interval (CI) และอาการทางคลินิก แยกตามการติดเชื้อทางเดินปัสสาวะ.....	37
12 ค่า Odds ratio (OR), 95% confidence interval (CI) , ชนิดและความถี่ของยืนชนิดต่างๆ ที่เกี่ยวข้องกับความรุนแรงต่อทางเดินปัสสาวะของ <i>E. coli</i> ที่แยกได้จากสุนัขที่มีการติดเชื้อทางเดินปัสสาวะและจากอุจจาระของสุนัขปกติ.....	40
13 ค่า Odds ratio (OR), 95% confidence interval (CI) และจำนวนยืนที่ตรวจพบต่อไอโซเลทของ <i>E. coli</i> ที่แยกได้จากสุนัขที่มีการติดเชื้อทางเดินปัสสาวะและจากอุจจาระของสุนัขปกติ.....	40
14 ค่าเฉลี่ยของระดับเลือด ระดับเม็ดเลือดแดงในปัสสาวะและลักษณะจีโนไทป์ที่ตรวจพบในสุนัขที่มีการติดเชื้อ <i>E. coli</i> ในทางเดินปัสสาวะ.....	41
15 จำนวนลักษณะจีโนไทป์ที่เกี่ยวข้องกับความรุนแรงต่อทางเดินปัสสาวะ แยกตามอาการทางคลินิก.....	41

ตารางที่	หน้า
16 ผลการทดสอบความไวรับของ UPEC ต่อยาต้านจุลชีพ 10 ชนิด.....	42
17 ค่าความไวรับของ UPEC ต่อยาต้านจุลชีพ 10 ชนิด.....	45
18 อายุ เพศ พันธุ์และชนิดของจุลชีพที่แยกจากปัสสาวะของสุนัขที่มีการติดเชื้อแบคทีเรียในทางเดินปัสสาวะ.....	62
19 อาการทางคลินิกของสุนัขที่มีการติดเชื้อทางเดินปัสสาวะ.....	65
20 ค่า Odds ratio (OR), 95% confidence interval (CI) และจำนวนสุนัขที่มีการติดเชื้อแบคทีเรียในทางเดินปัสสาวะ แยกตามคุณลักษณะและเพศ.....	66
21 ค่า Odds ratio (OR), 95% confidence interval (CI) และชนิดของนิวที่แยกได้จากสุนัข ที่มีนิวในทางเดินปัสสาวะ แยกตามการติดเชื้อแบคทีเรียในทางเดินปัสสาวะ.....	70
22 ความแตกต่างของอายุเฉลี่ยของสุนัขที่มีการติดเชื้อแบคทีเรียในทางเดินปัสสาวะ แยกตามเพศ.....	70
23 การกระจายของสายพันธุ์แบคทีเรียที่แยกได้จากปัสสาวะของสุนัขที่มีการติดเชื้อในทางเดินปัสสาวะ แยกตามอายุ.....	71
24 จำนวนนิยนที่เกี่ยวข้องกับความรุนแรงของ UPEC และผลการตรวจวิเคราะห์ปัสสาวะ.....	72
25 ค่า MIC ของเชื้อมากกว่า 10 ชนิดที่ทำการศึกษา.....	75



**สถาบันวิทยบริการ
จุฬาลงกรณ์มหาวิทยาลัย**

สารบัญรูป

ข้อที่	หน้า
1 ภาวะปกติของเยื่อบุกระเพาะปัสสาวะ.....	7
2 พยาธิกำเนิดของการติดเชื้อ UPEC จำแนกตามส่วนต่างๆ ของทางเดินปัสสาวะ.....	10
3 พยาธิสรีวิทยาของ การติดเชื้อ UPEC ภายในเยื่อบุกระเพาะปัสสาวะ.....	12
4 ขั้นตอนการหาชนิดของยีนที่เกี่ยวข้องกับความรุนแรงต่อทางเดินปัสสาวะของ <i>E. coli</i>	27
5 จำนวนสุนัข (ร้อยละ) ที่มีการติดเชื้อแบคทีเรียในทางเดินปัสสาวะ แยกตามเพศ.....	34
6 ชนิดและจำนวนไอโซเลท (ร้อยละ) ของจุลชีพที่ทำให้เกิดการติดเชื้อแบคทีเรียในทางเดินปัสสาวะ.....	35
7 การวิเคราะห์ผลิตภัณฑ์ปฏิกริยาลูกโซ่จากปฏิกริยาลูกโซ่โพลิเมอร์เรสแบบมัลติเพลกซ์ด้วย gel electrophoresis.....	39
8 เปรียบเทียบค่า MIC ₅₀ และ MIC ₉₀ ของเชื้อ UPEC ที่แยกจากสุนัขที่มีการติดเชื้อทางเดินปัสสาวะจำนวน 21 ไอโซเลทต่อยาต้านจุลชีพ 10 ชนิด.....	43
9 การกระจายตัวของค่า MIC ของ UPEC ต่อยาต้านจุลชีพ 9 ชนิด.....	44
10 สาเหตุในม่านในสุนัขที่มีการติดเชื้อแบคทีเรียในทางเดินปัสสาวะ.....	69
11 ค่า MIC ของยาต้านจุลชีพ amikacin และ gentamicin ต่อ UPEC ที่แยกจากสุนัขที่มีการติดเชื้อทางเดินปัสสาวะจำนวน 21 ไอโซเลท.....	76
12 ค่า MIC ของยาต้านจุลชีพ amoxicillin และ ampicillin ต่อ UPEC ที่แยกจากสุนัขที่มีการติดเชื้อทางเดินปัสสาวะจำนวน 21 ไอโซเลท.....	77
13 ค่า MIC ของยาต้านจุลชีพ cefazolin และ ceftriazone ต่อ UPEC ที่แยกจากสุนัขที่มีการติดเชื้อทางเดินปัสสาวะจำนวน 21 ไอโซเลท.....	78
14 ค่า MIC ของยาต้านจุลชีพ doxycycline และ trimethoprim/sulfamethoxazole ต่อ UPEC ที่แยกจากสุนัขที่มีการติดเชื้อทางเดินปัสสาวะจำนวน 21 ไอโซเลท.....	79
15 ค่า MIC ของยาต้านจุลชีพ enrofloxacin และ norfloxacin ต่อ UPEC ที่แยกจากสุนัขที่มีการติดเชื้อทางเดินปัสสาวะจำนวน 21 ไอโซเลท.....	80

คำอธิบายสัญลักษณ์และคำย่อ

มคก.	ไมโครกรัม
มคด.	ไมโครดิตร
มล.	มิลลิลิตร
ATCC	American type culture collection
GAGs	Glycosaminoglycans
hpf	High power field
Ig	Immunoglobulin
IL	Interleukin
PAF	Prostatic antibacterial fraction
PAIs	Pathogenicity islands
PMNS	Polymorphonuclear cells
THP	Tamm-Horsfall protein
VUR	Vesicourethral reflux
<i>aer</i>	Aerobactin
<i>afa</i>	Afimrial adhesin I
<i>cnfI</i>	Cytotoxic necrotizing factor I
<i>hly</i>	Hemolysin
<i>pap</i>	Pilus associated with pyelonephritis
<i>pil</i>	pili
<i>sfa</i>	S fimbriae
<i>E. cloaca</i>	<i>Enterobacter cloaca</i>
<i>E. coli</i>	<i>Escherichia coli</i>
<i>E. faecium</i>	<i>Enterococcus faecium</i>
ExPEC	Extraintestinal pathogenic <i>Escherichia coli</i>
<i>K. pneumoniae</i>	<i>Klebsiella pneumoniae</i>
<i>P. mirabilis</i>	<i>Proteus mirabilis</i>
<i>Ps. aeruginosa</i>	<i>Pseudomonas aeruginosa</i>
<i>S. aureus</i>	<i>Staphylococcus aureus</i>
<i>S. canis</i>	<i>Streptococcus canis</i>
Uropathogenic <i>E. coli</i> (UPEC)	Uropathogenic <i>Escherichia coli</i>

บทที่ 1

บทนำ

1.1 แนวเหตุผล หรือทฤษฎีสำคัญ

การติดเชื้อทางเดินปัสสาวะเป็นปัญหาโรคติดเชื้อที่พบได้บ่อยในสุนัขและแมว สุนัขปักติร้อยละ 14 มีโอกาสติดเชื้อแบคทีเรียในทางเดินปัสสาวะ (Ling, 1984) และประมาณร้อยละ 5-10 ของสุนัขป่วยที่เข้ารับการรักษาในโรงพยาบาลสัตว์ อาจมีการติดเชื้อทางเดินปัสสาวะร่วมด้วย แตกต่างจากแมวที่มีความผิดปกติของทางเดินปัสสาวะส่วนล่าง ซึ่งมีสาเหตุจากการติดเชื้อแบคทีเรียเพียงร้อยละ 1-3 ของแมวป่วยทั้งหมด (Bartges, 2005)

การติดเชื้อแบคทีเรียในทางเดินปัสสาวะเป็นสาเหตุให้เกิดปัญหาน้ำดีอย่างอื่นๆ เช่น ต่อมลูกหมากอักเสบ ความเมื่อยล้าบุรุษพันธุ์ การเกิดนิรภัยนิดแมกนีเซียมแอมโนเนียมฟอสเฟต การทำงานของทางเดินปัสสาวะส่วนล่างเสื่อม เช่น ปัสสาวะเป็นเลือด ปัสสาวะกระปริบกระปรอย การเดินหายใจท่อปัสสาวะ การทำงานของไตเสื่อมลง กรวยไตอักเสบ ภาวะไตตาย และการติดเชื้อในกระเพาะเลือดโดยเฉพาะสัตว์ป่วยที่มีปัญหาการอุดตันของทางเดินปัสสาวะร่วมด้วย (Osborne, 1995)

ในสุนัขและแมวพบว่า *Escherichia coli* (*E. coli*) เป็นแบคทีเรียสำคัญที่ก่อให้เกิดปัญหาการติดเชื้อทางเดินปัสสาวะมากที่สุด เช่นเดียวกับในมนุษย์ นอกจากนี้อาจพบการติดเชื้ออื่นๆ เช่น *Staphylococcus* spp., *Streptococcus* spp., *Proteus* spp., *Klebsiella* spp., *Enterococcus* spp. และ *Enterobacter* spp. ในปัสสาวะของสุนัขที่ติดเชื้อทางเดินปัสสาวะ (Ihrke et al., 1985; Ling et al., 2001; Seguin et al., 2003) และยังพบว่าประมาณร้อยละ 18-25 ของสุนัขที่ติดเชื้อแบคทีเรียในทางเดินปัสสาวะ มักเกิดจากการติดเชื้อแบคทีเรียมากกว่าหนึ่งชนิด (Ling, 1984; Norris et al., 2000)

สำหรับการศึกษาการติดเชื้อทางเดินปัสสาวะในประเทศไทยนั้น นิยามและคณะ (2539) รายงานการพบแบคทีเรียในปัสสาวะของสุนัขและแมวที่มีความผิดปกติของทางเดินปัสสาวะโดยตรวจพบ *E. coli* มากที่สุดรองลงมาได้แก่ *Staphylococcus aureus* (*S. aureus*), *Proteus* spp., *Streptococcus* spp., *Klebsiella* spp., *Pseudomonas* spp. และ *Enterobacter* spp. เป็นต้น จากการศึกษาข้อมูลนั้น ผลการเพาะเชื้อของหน่วยน้ำสูตรโรคสัตว์ คณะสัตวแพทยศาสตร์ จุฬาลงกรณ์มหาวิทยาลัย ปี พ.ศ. 2547 พบว่าแบคทีเรีย 4 ชนิดที่พบได้บ่อยในสุนัขที่มีการติดเชื้อทางเดินปัสสาวะ โดยเรียงตามลำดับความสำคัญ คือ *E. coli*, *Staphylococcus* spp., *Pseudomonas* spp. และ *Proteus* spp. ตามลำดับ (หน่วยน้ำสูตรโรคสัตว์, ข้อมูลติดต่อส่วนตัว) ซึ่งสอดคล้องกับการศึกษาภายนอก (นิยามและคณะ, 2539; Ihrke et al., 1985; Ling et al., 2001; Seguin et al., 2003)

เชื้อ *E. coli* เป็นแบคทีเรียที่พบได้ในระบบทางเดินอาหารของสัตว์ และสิ่งแวดล้อม พยาธิกำเนิดของการเกิดโรคส่วนใหญ่เป็นผลจากการลดลงของภูมิคุ้มกันของไฮสต์หรือปัจจัยที่เกี่ยวข้องกับความรุนแรงของแบคทีเรีย ความรุนแรงของการติดเชื้อทางเดินปัสสาวะขึ้นอยู่กับหลายปัจจัย เช่น ความไวรับของไฮสต์ หรือความรุนแรงของแบคทีเรียที่เป็นสาเหตุ (Bartges, 2005) บทบาทของปัจจัยที่เกี่ยวข้องกับความรุนแรงต่อทางเดินปัสสาวะ (urovirulence factors) ของ *E. coli* ที่ก่อโรคทางเดินปัสสาวะ (uropathogenic *E. coli*, UPEC) จึงเป็นที่สนใจของนักวิจัยทางการแพทย์ ด้านความผิดปกติของระบบทางเดินปัสสาวะในปัจจุบัน

เนื่องจากสุนัขและแมวเป็นสัตว์ที่เลี้ยงไว้เป็นเพื่อน อาจมีการถ่ายทอดเชื้อแบคทีเรียสู่มนุษย์ ทำให้มีผู้สนใจทำการศึกษาหาปัจจัยที่เกี่ยวข้องกับความรุนแรงต่อทางเดินปัสสาวะและอุจจาระของสุนัขเปรียบเทียบกับปัสสาวะของผู้ป่วยที่ติดเชื้อ *E. coli* ในทางเดินปัสสาวะพบว่า ลำดับของ *papG* จากอุจจาระของสุนัขและปัสสาวะของมนุษย์มีความคล้ายคลึงกันสูง ทำให้เชื่อว่าอุจจาระของสุนัขเป็นแหล่งรังโรคของ extraintestinal pathogenic *E. coli* (ExPEC) (Johnson et al., 2000a) Johnson และคณะ (2001) พบรความคล้ายคลึงของ phylogenetic และ pathotype ของ *E. coli* ที่แยกจากปัสสาวะของสุนัขและการติดเชื้อ *E. coli* นอกลำไส้ของมนุษย์ เช่น เยื่อหุ้มสมองอักเสบ กระยะトイอักเสบ กระเพาะปัสสาวะอักเสบ ซึ่งเมื่อทำการศึกษาหาปัจจัยที่เกี่ยวข้องกับความรุนแรงต่อทางเดินปัสสาวะในปัสสาวะและอุจจาระของสุนัขที่มีการติดเชื้อ *E. coli* ในทางเดินปัสสาวะและพบการแสดงออกของยีน *pap* (P fimbriae), *papG* allele III, *sfaS* (S fimbriae), *hly* (hemolysin), *fyuA* (yersiniabactin), *iroN* (siderophore) และ *ompT* (outer membrane protease T) คล้ายกับในมนุษย์ ทำให้เชื่อว่าพยาธิกำเนิดของการติดเชื้อ *E. coli* ในทางเดินปัสสาวะของสุนัขและมนุษย์คล้ายกัน (Johnson et al., 2003) ดังนั้น อาจใช้สุนัขเป็นตัวแทนศึกษาพยาธิกำเนิด วิธีป้องกัน และหลีกเลี่ยงการต้อยาต้านจุลชีพของ *E. coli* ที่เป็นสาเหตุให้เกิดการติดเชื้อทางเดินปัสสาวะในมนุษย์ได้ (Johnson et al., 2001; Johnson et al., 2003)

จากข้อมูลดังกล่าวข้างต้นจะเห็นได้ว่า รายงานการศึกษาที่เกี่ยวข้องกับการติดเชื้อทางเดินปัสสาวะของสุนัขในประเทศไทยมีข้อมูลจำกัดในหลายด้าน มิได้ศึกษาถึงปัจจัยที่เกี่ยวข้องกับความรุนแรงต่อทางเดินปัสสาวะ ชนิด ความไวรับ และระดับความเข้มข้นของยาต้านจุลชีพที่สามารถทำลายหรือยับยั้งเชื้อแบคทีเรียที่เรียกในทางเดินปัสสาวะ ซึ่งหากมีการใช้ยาต้านจุลชีพอย่างไม่เหมาะสมอาจก่อให้เกิดการต้อยาของจุลชีพได้ จึงเป็นมูลเหตุสูงๆให้ผู้วิจัยสนใจศึกษาตรวจสอบที่เกี่ยวข้องกับความรุนแรงต่อทางเดินปัสสาวะของ *E. coli* โดยใช้เทคนิคทางเคมีวิทยาและความซุกของยีนที่เกี่ยวข้องกับความรุนแรงของ *E. coli* ที่สัมพันธ์กับอาการทางคลินิก คือ อาการปัสสาวะเป็นเลือดและความไวรับของแบคทีเรียที่เรียกต้อยาต้านจุลชีพโดยศึกษาหาระดับของยาต้านจุลชีพที่เหมาะสมในการรักษาการติดเชื้อ *E. coli* ในทางเดินปัสสาวะของสุนัข

1.2 สมมติฐานของการวิจัย

ยืนที่เกี่ยวข้องกับความรุนแรงต่อทางเดินปัสสาวะของ *E. coli* ที่แยกได้จากสุนัขที่มีการติดเชื้อทางเดินปัสสาวะมีความสัมพันธ์ (โดยตรงหรือโดยอ้อม) กับอาการปัสสาวะเป็นเลือด

1.3 วัตถุประสงค์ของการวิจัย

- ศึกษาชนิดของยืนที่เกี่ยวข้องกับความรุนแรงต่อทางเดินปัสสาวะของ *E. coli* ที่แยกได้จากสุนัขที่มีการติดเชื้อทางเดินปัสสาวะโดยปฏิกริยาลูกโซ่โพลิเมอร์เรสแบบมัลติเพลกซ์
- ศึกษาหาความสัมพันธ์ของชนิดของยืนที่เกี่ยวข้องกับความรุนแรงต่อทางเดินปัสสาวะของ *E. coli* ที่ก่อโรคทางเดินปัสสาวะกับอาการปัสสาวะเป็นเลือด
- ศึกษาหาความไวรับต่ออยาต้านจุลชีพของ *E. coli* ที่แยกได้จากสุนัขที่มีการติดเชื้อทางเดินปัสสาวะ

1.4 คำสำคัญ

(ไทย) สุนัข, เอสcherichiy โค้ด, ปัสสาวะเป็นเลือด, การติดเชื้อทางเดินปัสสาวะ, ยืนที่เกี่ยวข้องกับความรุนแรงต่อทางเดินปัสสาวะ

(อังกฤษ) Canine, *Escherichia coli*, hematuria, urinary tract infection, urovirulence genes

1.5 คำถามสำหรับการวิจัย

- เชื้อ *E. coli* ที่แยกได้จากสุนัขที่มีการติดเชื้อทางเดินปัสสาวะมียืนชนิดใดบ้างที่เกี่ยวข้องกับความรุนแรงต่อทางเดินปัสสาวะและแตกต่างจาก *E. coli* ที่แยกได้จากสุนัขปกติหรือไม่
- เชื้อ *E. coli* ที่แยกได้จากสุนัขที่มีการติดเชื้อทางเดินปัสสาวะมียืนชนิดใดบ้างที่มีความสัมพันธ์กับอาการปัสสาวะเป็นเลือด
- ความไวรับต่ออยาต้านจุลชีพของ *E. coli* ที่แยกได้จากสุนัขที่มีการติดเชื้อทางเดินปัสสาวะเป็นแบบใด

1.6 ประโยชน์ที่คาดว่าจะได้รับจากการวิจัย

- ทราบชนิดของยืนที่เกี่ยวข้องกับความรุนแรงต่อทางเดินปัสสาวะของ *E. coli* ที่แยกได้จากสุนัขที่มีการติดเชื้อทางเดินปัสสาวะ
- ทราบความสัมพันธ์ของยืนที่เกี่ยวข้องกับความรุนแรงต่อทางเดินปัสสาวะของ *E. coli* ที่เป็นสาเหตุของการติดเชื้อทางเดินปัสสาวะ กับอาการปัสสาวะเป็นเลือด
- ทราบความไวรับต่ออยาต้านจุลชีพของ *E. coli* ที่แยกได้จากสุนัขที่มีการติดเชื้อทางเดินปัสสาวะ

บทที่ 2

เอกสารและงานวิจัยที่เกี่ยวข้อง

2.1 การติดเชื้อทางเดินปัสสาวะ

การติดเชื้อทางเดินปัสสาวะ หมายถึง การที่จุลชีพฝ่าเข้าระบบภายในคุ้มกันตามธรรมชาติของร่างกาย มีการยึดเกาะ เพิ่มจำนวน และคงอยู่ในส่วนของทางเดินปัสสาวะ (Bartges, 2005) จุลชีพเหล่านี้มักเป็นแบคทีเรีย และรองลงมาได้แก่ เชื้อราและไวรัส เช่น *Aspergillus spp.*, *Candida spp.* (Ling et al., 2001; Pressler et al., 2003)

ในสภาวะปกติระบบทางเดินปัสสาวะ เช่น ไต ท่อไต กระเพาะปัสสาวะ และต่อมลูกหมากรวมถึงท่อปัสสาวะส่วนต้นเป็นบริเวณปลอดเชื้อ แม้ว่าท่อปัสสาวะส่วนปลาย ปากช่องคลอดหรือหัวนังห้มลึงค์จะเป็นบริเวณที่มีเชื้อประจำถิ่น (ตารางที่ 1)

ตารางที่ 1 ชนิดของเชื้อประจำถิ่นที่พบบริเวณทางเดินปัสสาวะและระบบลีบพันธุ์ (urogenital tract) ในสุนัขเพศผู้และเพศเมีย

สกุล	เพศผู้		เพศเมีย
	ท่อปัสสาวะส่วนปลาย	หนังห้มลึงค์	
<i>Acinetobacter spp.</i>		+	+
<i>Bacillus spp.</i>		+	+
<i>Bacteroides spp.</i>		+	+
<i>Citrobacter spp.</i>			+
<i>Corynybacterium spp.</i>	+	+	+
<i>Enterobacter spp.</i>			+
<i>Enterococcus spp.</i>			+
<i>Escherichia spp.</i>	+	+	+
<i>Flavobacterium spp.</i>	+	+	+
<i>Haemophilus spp.</i>	+	+	+
<i>Klebsiella spp.</i>	+	+	+
<i>Lactobacillus spp.</i>			+
<i>Micrococcus spp.</i>			+
<i>Moraxella spp.</i>		+	+

ตารางที่ 1 (ต่อ)

สกุล	เพศผู้	เพศเมีย	
	ท่อปัสสาวะส่วนปลาย	หนังห้มลึงค์	ปากช่องคลอด
<i>Mycoplasma</i> spp.	+	+	+
<i>Neisseria</i> spp.			+
<i>Pasteurella</i> spp.		+	+
<i>Proteus</i> spp.		+	+
<i>Pseudomonas</i> spp.		+	+
<i>Staphylococcus</i> spp.	+	+	+
<i>Streptococcus</i> spp.	+	+	+
<i>Ureaplasma</i> spp.	+	+	+

ที่มา: Dunning and Stonehewer (2002)

การติดเชื้อทางเดินปัสสาวะอาจอยู่บวณใจบริเวณหนึ่งของระบบทางเดินปัสสาวะ เช่น ไต ท่อไต กระเพาะปัสสาวะ ท่อปัสสาวะ ต่อมลูกหมากและปากช่องคลอด หรืออาจมีการติดเชื้อมากกว่าหนึ่งบริเวณ เนื่องจากการติดเชื้อทางเดินปัสสาวะมักมีการติดเชื้อมากกว่าหนึ่งบริเวณ จึงอาจแบ่งการติดเชื้อตามลักษณะทางกายวิภาคเป็น การติดเชื้อทางเดินปัสสาวะส่วนต้น (ไตและท่อไต) และการติดเชื้อทางเดินปัสสาวะส่วนล่าง (กระเพาะปัสสาวะ ท่อปัสสาวะ ต่อมลูกหมากหรือปากช่องคลอด)

(Dunning and Stonehewer, 2002; Bartges, 2005)

2.1.1 พยาธิกำเนิด

พยาธิกำเนิดของการติดเชื้อทางเดินปัสสาวะมักจะเป็นผลจากการลดลงของภูมิคุ้มกันของไฮสต์หรือปัจจัยที่เกี่ยวข้องกับความรุนแรงของแบคทีเรีย แม้ว่าการติดเชื้อทางเดินปัสสาวะสามารถทำให้รักษาโดยใช้ยาต้านจุลชีพ อย่างไรก็ตามสถานะของระบบภูมิคุ้มกันตามธรรมชาติของร่างกายมีความสำคัญในการพัฒนา การรักษา และการป้องกันการติดเชื้อของจุลชีพ ในทางตรงกันข้ามความผิดปกติของระบบภูมิคุ้มกันตามธรรมชาติอาจเป็นปัจจัยในม่าน้ำที่สำคัญของการเกิดการติดเชื้อทางเดินปัสสาวะ (Bartges, 2005)

2.1.2 ระบบภูมิคุ้มกันตามธรรมชาติของร่างกาย

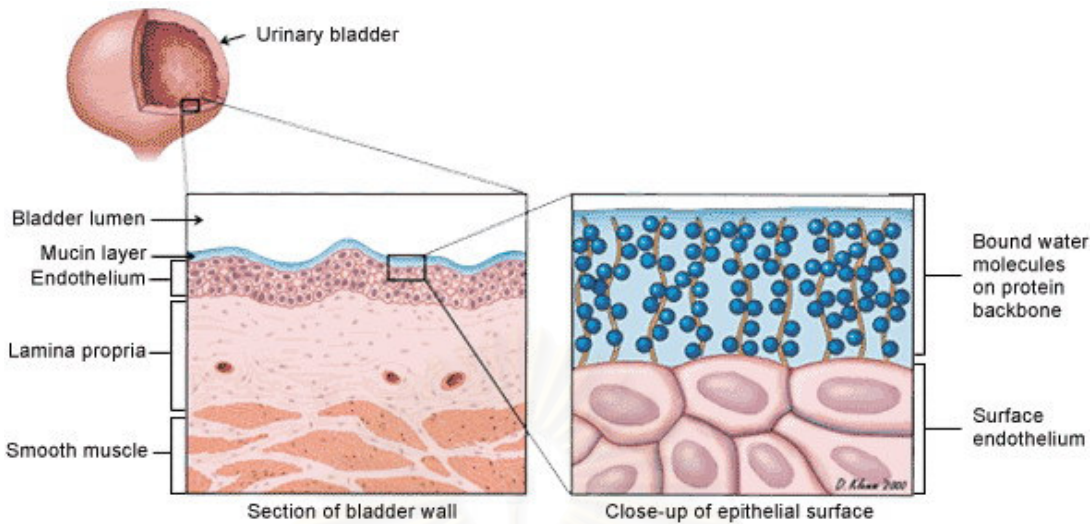
การติดเชื้อทางเดินปัสสาวะโดยมากเป็นผลจากการติดเชื้อขึ้นด้านบน (ascending infection) ของจุลชีพก่อโรคจากทางเดินปัสสาวะส่วนล่างเข้าสู่บริเวณที่ปลดล็อก เชื้อประจำถิ่นที่พบบริเวณทางเดินปัสสาวะและระบบสีบพันธุ์ส่วนปลายจะช่วยลดการติดเชื้อของจุลชีพก่อโรค ขณะเดียวกันอาจทำตัวเป็นจุลชีพก่อโรคเมื่อระบบภูมิต้านทานของโอลิสต์ลดลง ระบบภูมิคุ้มกันดังกล่าวประกอบด้วย หลายส่วนดังนี้

2.1.2.1 ระบบภูมิคุ้มกันตามธรรมชาติของทางเดินปัสสาวะ (โครงสร้างทางกายวิภาค ของทางเดินปัสสาวะ) เช่น ความยาวของท่อปัสสาวะ บริเวณที่มีความดันสูงภายในท่อปัสสาวะ การปีบตัวของท่อปัสสาวะ ท่อไട และ vesicoureteral flap valves ป้องกันการไหลย้อนของปัสสาวะจากกระเพาะปัสสาวะเข้าท่อไട (vesicoureteral reflux, VUR) และป้องกันการติดเชื้อขึ้นด้านบนของจุลชีพ การไหลย้อนของปัสสาวะจากกระเพาะปัสสาวะเข้าท่อไട มักพบร่วมกับการเกิดรายได้อักเสบในรายติดเชื้อทางเดินปัสสาวะส่วนล่าง โดยเฉพาะในสุนัขอายุน้อยซึ่งมีรักษารักษาด้วยยาต่อไടแคบ อัตราส่วนของความยาวท่อไടต่อเส้นผ่าศูนย์กลางจะมากขึ้นตามอายุที่มากขึ้น เป็นการป้องกันการเกิดการไหลย้อนของปัสสาวะจากกระเพาะปัสสาวะเข้าท่อไട (Dunning and Stonehewer, 2002) สารคัดหลังจากต่อมลูกหมาก ที่เรียกว่า prostatic antibacterial fraction (PAF) ซึ่งมีความสามารถในการทำลายเชื้อแบคทีเรียทั้งแกรมบวกและแกรมลบ

2.1.2.2 การป้องกันการติดเชื้อของเยื่อบุทางเดินปัสสาวะ

รักษา glycosaminoglycans (GAGs) (รูปที่ 1) เป็นรักษาที่พบบริเวณเยื่อบุทางเดินปัสสาวะจะสร้างพันธะเคมีกับโมเลกุลของน้ำ โดยหันกลุ่มชั้ลเฟตเกาจะกับโมเลกุลที่มีขั้นตอนน้ำ เป็นการป้องกันการยึดเกาะของแบคทีเรียบริเวณเยื่อบุกระเพาะปัสสาวะ ในแมวที่มีปัญหาการอักเสบของเนื้อเยื่อระหว่างเซลล์ของกระเพาะปัสสาวะ (interstitial cystitis) มักพบว่ามีการลดลงของระดับ GAGs ในปัสสาวะเมื่อเทียบกับมวลปกติ (Buffington et al., 1996) การสร้างประจุแอนโนนิเมียม หรือสารเคมโมเนียมโดยแบคทีเรียที่สร้างเอนไซม์ยูเรอส (urease-producing bacteria) จะช่วยในการยึดเกาะของจุลชีพ โดยการทำลายรักษา GAGs บริเวณเยื่อบุทางเดินปัสสาวะ ประจุแอนโนนิเมียมอาจมีการสะสมบริเวณทางเดินปัสสาวะส่วนต้น จากการเกิดอัมพาตของกล้ามเนื้อเรียบริเวณท่อไടมีผลต่อการปีบตัวของท่อไട

การสร้างภูมิคุ้มกันชนิดสารน้ำ เช่น immunoglobulin (Ig) การสร้าง Ig A แบบเฉพาะที่โดยเซลล์เยื่อบุกระเพาะปัสสาวะถือเป็นการป้องกันด้านแรกและคุณสมบัติต้านจุลชีพของเยื่อบุ จะช่วยป้องกันการเคลื่อนที่และการยึดเกาะของจุลชีพ (Dunning and Stonehewer, 2002; Bartges, 2005)



รูปที่ 1 แสดงภาวะปกติของเยื่อบุกระเพาะปัสสาวะ โดยมีชั้น GAGs ปกคลุมเซลล์เยื่อบุทวนชิ้นและจุดวงกลมสีฟ้าแทนโมเลกุลของน้ำ ส่วนเด่นสีน้ำตาลแทนสารสายโปรตีน

ที่มา: Metts (2001)

2.1.2.3 องค์ประกอบของปัสสาวะ

ปัสสาวะที่มีความเข้มข้นของน้ำ และมีความถ่วงจำเพาะสูง กรดอินทรีย์ สารเคมีไปไอลเรตที่มีน้ำหนักไม่เกิดตัว (oligosaccharides) ความเป็นกรดของปัสสาวะ และ Tamm-Horsfall protein (THP, uromucoid หรือ urinary slime) เป็นส่วนช่วยป้องกันการเพิ่มจำนวนและยับยั้งการยึดเกาะของจุลชีพ THP สร้างจากเซลล์บริเวณ ascending limbs ของ loops of Henle จะจับกับพิมเบรียที่ผิวของแบคทีเรีย ก่อนที่พิมเบรียจะจับกับตัวรับที่เยื่อบุทางเดินปัสสาวะ ซึ่งทั้ง THP อาจสร้างโครงสร้างที่มีลักษณะเป็นแหวน ซึ่งช่วยจับและกำจัดจุลชีพออกจากทางเดินปัสสาวะขณะที่มีการบีบตัวของกระเพาะปัสสาวะ นอกจากนี้การที่ปัสสาวะเป็นด่างมักสัมผัสน์กับการติดเชื้อทางเดินปัสสาวะจากแบคทีเรียที่สร้างเอนไซม์ยูโรส เช่น *Staphylococcus* spp., *Proteus* spp. และ *Ureaplasmas* spp.

2.1.2.4 กระบวนการหลังปัสสาวะ

การหลังปัสสาวะเป็นกระบวนการที่มีการไหลของปัสสาวะในทิศทางเดียว การปัสสาวะหมดถือเป็นการชำระล้างจุลชีพในท่อปัสสาวาทางหนึ่ง เป็นการลดปริมาณสารพิษที่แบคทีเรียสร้างเพื่อทำลายเยื่อบุทางเดินปัสสาวะ และลดโอกาสการเพิ่มจำนวนของจุลชีพในทางเดินปัสสาวะ

2.1.3 ปัจจัยจากจุลชีพ

การติดเชื้อ *E. coli* พบมากประมาณหนึ่งในสามถึงครึ่งหนึ่งของจุลชีพที่มักแยกได้จากปัสสาวะ รองลงมาเป็นแบคทีเรียแกรมบวก เช่น *Staphylococcus* spp., *Streptococcus* spp. และ *Enterococcus* spp. พบประมาณหนึ่ง ในสี่ถึงหนึ่งในสามของจุลชีพที่แยกได้จากปัสสาวะ แบคทีเรียอิกส่วนหนึ่งที่แยกได้ จากปัสสาวะของสัตว์ที่มีการติดเชื้อทางเดินปัสสาวะ เช่น *Proteus* spp., *Klebsiella* spp., *Pasteurella* spp., *Pseudomonas* spp., *Corynebacterium urealyticum* และ *Mycoplasma canis* แต่เชื้อในกลุ่มนี้พบได้ ไม่ปอยนัก (Norris et al., 2000; L'Abee-Lund et al., 2003; Bailiff et al., 2005; Ulgen et al., 2006) เนื่องจาก *E. coli* เป็นแบคทีเรียที่มักแยกได้จากปัสสาวะของมนุษย์ สุนัขและแมวที่มีปัญหาการติดเชื้อ ทางเดินปัสสาวะ ปัจจัยที่เกี่ยวข้องกับความรุนแรงต่อทางเดินปัสสาวะของ UPEC จึงเป็นที่สนใจของ นักวิจัยทางด้านทางเดินปัสสาวะมากกว่าแบคทีเรียชนิดอื่น

ปัจจัยที่เกี่ยวข้องกับความรุนแรงต่อทางเดินปัสสาวะของ uropathogenic *E. coli* (UPEC)

2.1.3.1 การยึดเกาะ

การยึดเกาะเป็นปฏิสัมพันธ์จำเพาะของสายพูตินที่ยื่นจากผิวของแบคทีเรีย (แอดไฮซิน, adhesin) กับโครงสร้างจำพวกคาร์บอโนไฮเดรต (ไกลโคโปรตีนหรือไกลโคไอลโคไซด์) บนผิวเซลล์ของสัตว์เลี้ยง ลูกด้วยนม การยึดเกาะของแบคทีเรียกับเซลล์เยื่อบุของโถส็อกเป็นขั้นตอนแรกในกระบวนการก่อโรค ของเชื้อแบคทีเรีย ช่วยป้องกันการหลังจากของเหลวของร่างกาย ขนส่งสารออกไซโทxin (exotoxin) ไปสู่เซลล์เป็นอย่างมาก ช่วยในการรับสารอาหารจากสารตั้งต้น และช่วยป้องกันระบบภูมิคุ้มกันตาม ธรรมชาติของร่างกาย (Rama et al., 2005) จุลชีพสามารถเคลื่อนที่ด้านทิศทางการไหลของปัสสาวะ ยึด เกาะและเพิ่มจำนวนบริเวณผนังท่อปัสสาวะ การยึดเกาะของแบคทีเรียบริเวณเยื่อบุทางเดินปัสสาวะ อาศัยโครงสร้างเฉพาะระหว่างฟิมเบรียกับตัวรับจำเพาะของเยื่อบุทางเดินปัสสาวะ อวัยวะและปูติน ยึดเกาะต่างๆ ได้แก่

- ไฟปีวัน พิมเบรีย (fim,pil; type 1 pil)

ไฟปีวัน พิมเบรียมีส่วนในการยึดเกาะ การแทรกเข้าเซลล์ และการสร้างไปโอลิล์ม พิมเบรียชนิดนี้จำเพาะกับ manno-oligosaccharides ที่อยู่บนสารไกลโคโปรตีนบนผิวเซลล์ของโถส็อก การยึดเกาะบนเซลล์ของทางเดินปัสสาวะเนื่องมาให้มีการพัฒนาการเกิดกระเพาะปัสสาวะอักเสบ และมีการเคลื่อนที่เข้ามาของ polymorphonuclear cells (PMNs) เพื่อเก็บกินแบคทีเรียแต่อาจทำให้เกิด renal scarring (รูปที่ 2) (Kaper et al., 2004) Yuri และคณะ (1998) พบการกระจายของยีน *pil* ใน ลูกจากของสุนัขและแมวปกติใกล้เคียงกับปัสสาวะของสุนัขและแมวที่มีการติดเชื้อ *E. coli* ในทางเดิน

ปัสสาวะ จึงอาจกล่าวได้ว่า ไทยปัจจุบัน พิลไไมค์ความสัมพันธ์กับพยาธิกำเนิดของการติดเชื้อทางเดินปัสสาวะในระดับต่ำ

- พิมเบรีย พี (*pap; pilus associated with pyelonephritis*)

พิมเบรีย พี มีความจำเพาะกับกลุ่ม digalactoside ของกลุ่มเลือด พี ซึ่งอยู่บนผิวของเซลล์เยื่อบุทางเดินปัสสาวะ เมื่อมีการจับกันของผิวเซลล์เยื่อบุกับจุลทรรศน์ เป็นการส่งสัญญาณการสร้างอินเตอร์ลิคิน (IL-6, IL-8) จากเซลล์เยื่อบุกระเพาะปัสสาวะและเยื่อบุไต ทำให้เกิดการอักเสบเฉพาะที่ตามมา (Mulvey et al., 2000) ยังกลุ่มนี้ประกอบด้วยหลายส่วน เช่น *papA* ซึ่งสร้างโปรตีนโครงสร้าง, *papC* ซึ่งสร้างโปรตีนทำงาน, *papEF* สร้างพิลินและ *papG* สร้างโปรตีนที่ใช้ในการยึดเกาะซึ่งประกอบด้วย 3 อัลลีล คือ *papG allele I*, *papG allele II* พบมากในผู้ป่วยกรวยไตอักเสบเฉียบพลัน และ *papG allele III* ในรายกระเพาะปัสสาวะอักเสบเฉียบพลัน (Johnson et al., 2001)

- พิมเบรีย เอส และพิมเบรีย เอฟวันซี (*sfa/foc*)

พิมเบรีย เอสและพิมเบรีย เอฟวันซี มีส่วนในการติดเชื้อทางเดินปัสสาวะ โดยการจับกับเซลล์เยื่อบุและเซลล์ผนังหลอดเลือดบริเวณทางเดินปัสสาวะส่วนล่างและไต (Johnson, 1991)

2.1.3.2 สารพิษและเอนไซม์ต่างๆ (Extracellular toxins and enzymes)

- อัลฟ่า ชิโนไลชิน (*hly*)

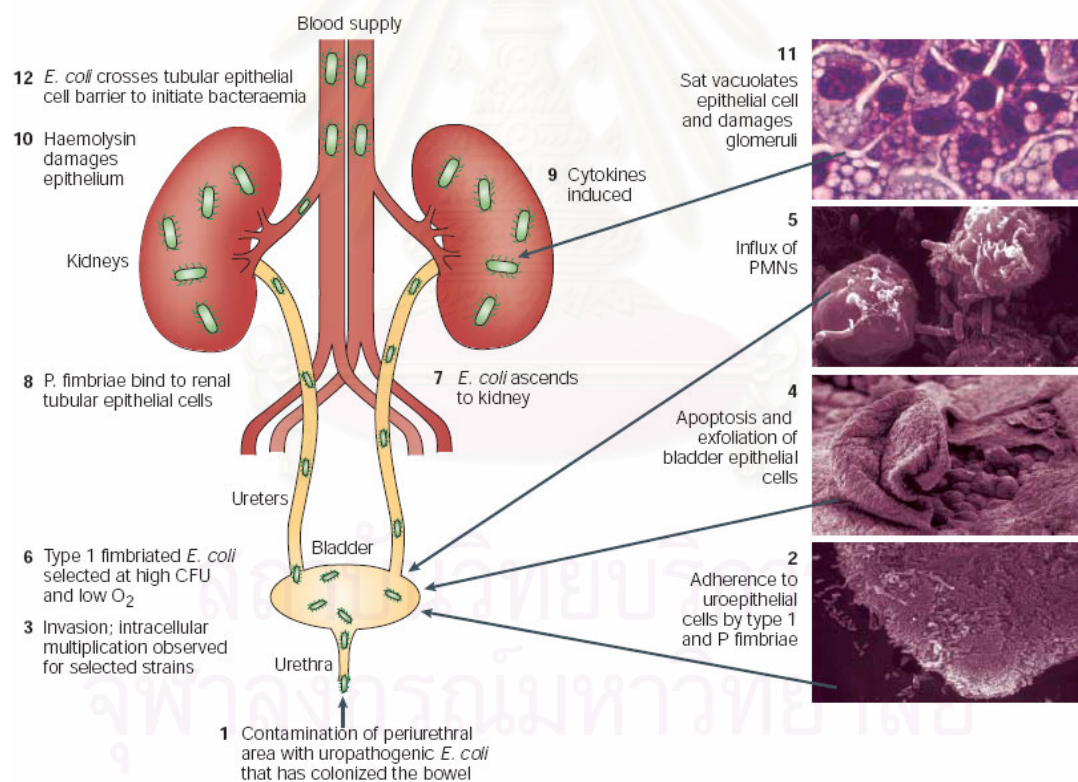
ชิโนไลชินเป็นโปรตีนซึ่งเป็นพิษทำลายเซลล์ จัดอยู่ในกลุ่ม ‘repeat toxin’ (RTX) family เนื่องจากมีส่วนของ nonapeptide repeat ที่ส่วน C-terminal ภายในโมเลกุล (Emody et al., 2003) เซลล์เป้าหมายมีหล่ายชนิด เช่น เม็ดเลือดแดงของสัตว์เลือดคุณและปลา เซลล์ไฟบริබลาสต์ของหนู และตัวอ่อนไก่ เม็ดเลือดขาว เซลล์ผนังหลอดเลือด เซลล์เยื่อบุของไต การสลายเม็ดเลือดแดงของไฮสต์ นั้น จำเป็นต้องอาศัยแคลเซียมเพื่อให้เกิดการสะสมของชิโนไลชิน เพื่อแทรกเข้าระหว่างชั้นไขมันของเยื่อหุ้มเซลล์ไฮสต์ เกิดการสร้างแซนแนลขั้วบวกเป็นการเพิ่ม permeability ของเม็ดเลือดแดงต่อ แคลเซียม โพแทสเซียมและซูครอส (Johnson, 1991) ทำให้เม็ดเลือดแดงแตก เพิ่มปริมาณชาตุเหล็อก อิสระซึ่งใช้ในการเจริญของแบคทีเรีย เกิดการสลายแกรนูลของโมโนไซด์และนิวทริฟิวส์ มีการหลั่งลิวโคร์ติโซนและ ATP รบกวนขบวนการเก็บกินของเซลล์ ทำให้เกิดความเสียหายแก่เนื้อเยื่อ (Emody et al., 2003)

- Cytotoxic necrotizing factor I (*cnf1*)

Cytotoxic necrotizing factor เป็นสารพิษที่ทำให้เกิดการปรับโครงสร้างของ actin microfilament ในเซลล์ยูคาโริต ทำให้เกิดขบวนการทำลายตนเองของเยื่อบุกระเพาะปัสสาวะ และกระตุ้นการสร้าง multinuclear giant cells ในเซลล์เพาะเลี้ยง (Boquet, 2001)

- Secreted autotransporter toxin (*sat*)

Serine protease autotransporter พบในปัสสาวะของผู้ป่วยกรวยได้อักเสบที่มีการติดเชื้อ UPEC ทำให้เกิด vacuolation ในเซลล์เยื่อบุไตและกระเพาะปัสสาวะ (รูปที่ 2) (Guyer et al., 2002) นอกจากนี้ยังมี cdtB หรือ cytolethal distending toxin ซึ่งเป็นสารพิษที่มีผลต่อขบวนการแบ่งตัวของเซลล์และเหนี่ยวนำให้เกิดการทำลายตนเองของเซลล์ไฮสต์ (Emody et al., 2003)



รูปที่ 2 แสดงพยาธิกำเนิดของการติดเชื้อ UPEC จำแนกตามส่วนต่างๆ ของทางเดินปัสสาวะ
ที่มา: Kaper et al. (2004)

2.1.3.3 ระบบการจับธาตุเหล็ก (Iron uptake system)

- แอกโรแบคติน (*iuc*, *ictA*; aerobactin (siderophore) synthesis และ receptors)

แอกโรแบคตินเป็นโปรตีนขนาดเล็ก ประกอบด้วยโมเลกุลของไลซินและซิเตอต มีหน้าที่จับธาตุเหล็กซึ่งช่วยในการขันส่งและเก็บออกซิเจน การสังเคราะห์สารพันธุกรรม การขันส่งอิเลคตรอน ขบวนการเมtabอลิซึมของเบื้อร์ออกไซด์และการเจริญของเซลล์ (Johnson, 1991) การตอบสนองของร่างกายต่อการติดเชื้อทำให้ลำไส้มีการดูดซึมธาตุเหล็กลดลง สร้างโปรตีนจับธาตุเหล็กและมีการเคลื่อนย้ายธาตุเหล็กจากพลาスマเข้าไปเก็บในเซลล์เพิ่มขึ้นทำให้จุลทรรศ์ได้รับธาตุเหล็กลดลง UPEC สร้าง hydroxamate siderophore aerobactin ซึ่งจะสร้างโมเลกุลที่มีส่วนประกอบของธาตุเหล็ก (Fe^{3+}) และขันส่งข้ามเยื่อหุ้มเซลล์ของแบคทีเรีย (Rama et al., 2005) นอกจากนี้ยังมี catecholate siderophore receptor หรือ *iroN_{E. coli}* ที่ตรวจพบในผู้ป่วยที่มีการติดเชื้อ UPEC ในทางเดินปัสสาวะประมาณ 2-3.6 เท่า เมื่อเปรียบเทียบกับ *E. coli* จากอุจจาระคนปกติ โดยเฉพาะในผู้ป่วยรายใหญ่ต้องเสบ (Bauer et al., 2002)

2.1.3.4 แอนติเจนและโปรตีนที่ผิวเซลล์ (Antigens and outer membrane protein)

- แคปซูล เค แอนติเจน (*kpsMT*)

แอนติเจน เค เป็นแคปซูลล์มรอบแบคทีเรีย ยับยั้งขบวนการเก็บกินของเซลล์ และการทำลายเยื่อแบคทีเรียของคอมพลีเมนท์ ด้านทันขบวนการอักเสบทำให้มีการคงอยู่ของแบคทีเรีย ในเนื้อเยื่อ นอกจากนี้ยังมีแอนติเจน ไอ (*rfc*) เป็นส่วนของเยื่อหุ้มเซลล์ที่นอกของผนังเซลล์ของแบคทีเรียส่วนของไลโปโพลิแซคคาไรด์กระตุ้นการสังเคราะห์ไซโตโคน์ คิโนไซโนแลสารสื่ออักเสบต่างๆ เช่น IL-1 และ tumor necrotic factor α (TNF α) มีการเข้ามาของ PMNs เป็นการตอบสนองขบวนการอักเสบ เช่น ภูมิคุ้มกัน เนื้อเยื่อ พลัง สารสื่ออักเสบที่เข้าสู่ระบบไหลเวียนของร่างกายกระตุ้นให้เกิดอาการอื่นๆ ตามมา เช่น มีไข้ สั่น อ่อนเพลีย ส่วนโปรตีนที่ผิวเซลล์ (*ompT*, *ompA*) ช่วยในการขันส่งสารออกนอกเซลล์ เช่น ไฮโดรเจน (Johnson, 1991)

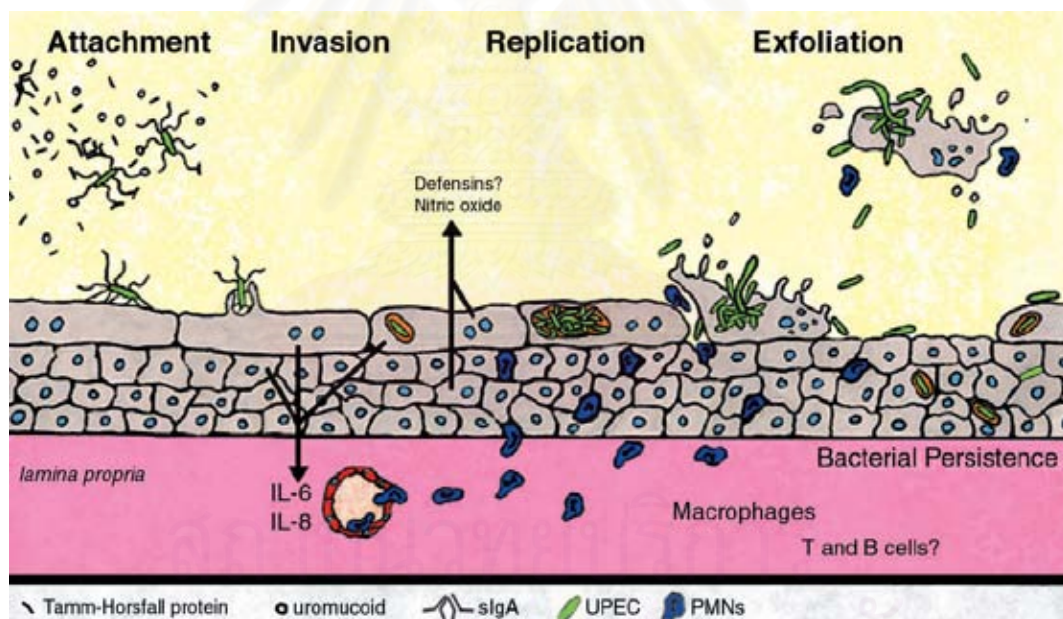
2.1.3.5 ยีนอื่นๆ

- Uropathogenic specific protein (*usp*)

Uropathogenic specific protein เป็นกลุ่มของยีนบนโครโมโซมที่พบบน UPEC ขนาดประมาณ 4,167 คู่เบสซึ่งประกอบด้วยกรดอะมิโน 346 ชนิดและ 3 โอบีเพนรีดดิงเฟรม (open reading frames) (ORFs; *orfU1-3* มีกรดอะมิโน 98, 97 และ 96 ชนิด) โดยที่กลุ่มยีนดังกล่าวพบใน UPEC ที่แยก

จากปัสสาวะของผู้ป่วยที่มีการติดเชื้อทางเดินปัสสาวะ (กระเพาะปัสสาวะอักเสบ ต่อมลูกหมากอักเสบ และกรวยไตอักเสบ) (Kurazono et al., 2000) ซึ่งมีส่วนในการก่อโรคการติดเชื้อทางเดินปัสสาวะแต่ยังไม่ทราบกลไกการอุดกั๊กที่แน่นอน (Yamamoto et al., 2001)

การจับกันระหว่างพิมเบรีย พีและไทป์วัน พิลไลของ UPEC กับตัวรับจำเพาะซึ่งเป็นไกลโคโปรตีนที่อยู่บนผิวของเยื่อบุกระเพาะปัสสาวะ (ยูโรพลาคิน) เป็นกลไกที่อาศัยสัญญาณภายในเซลล์ กระตุ้นการสร้างไซโตโคนที่เกี่ยวข้องกับการอักเสบ (IL-6, IL-8) หนี่ยวนำให้มีการเคลื่อนที่ของเม็ดเลือดขาวชนิด PMNs เข้ามาที่เยื่อบุกระเพาะปัสสาวะ เกิดขบวนการทำลายตนเองภายในเซลล์ทำให้เกิดการลอกหลุดและเป็นการกำจัดเซลล์酵素ต์ที่มีการติดเชื้อ (รูปที่ 2) UPEC จะออกจากการลอกหลุดของเซลล์ทำให้ UPEC หลุดรอดจากการตอบสนองทางภูมิคุ้มกันและคงอยู่ในกระเพาะปัสสาวะแบบไม่แสดงอาการในรายที่เกิดการติดเชื้อแบคทีเรียในกระเพาะเดียว (รูปที่ 3)



รูปที่ 3 แสดงพยาธิสรีวิทยาของการติดเชื้อ UPEC ภายในเยื่อบุกระเพาะปัสสาวะ

ที่มา: Mulvey et al. (2000)

2.1.4 อาการทางคลินิก

สุนัขและแมวที่มีการติดเชื้อทางเดินปัสสาวะอาจแสดงหรือไม่แสดงอาการทางคลินิก ซึ่งอาการทางคลินิกที่แสดงออกจะขึ้นอยู่กับปริมาณและความรุนแรงของจุลชีพ ปัจจัยโน่นนำ ระยะเวลาที่มีการติดเชื้อ รวมถึงตำแหน่งที่มีการติดเชื้อ (ตารางที่ 2) อาการปัสสาวะเป็นเลือด ปัสสาวะกระพริดกระปรอย ปวดเบ่งปัสสาวะ ปัสสาวะลำบากมากพบในสัตว์ที่มีการติดเชื้อทางเดินปัสสาวะส่วนปลาย (ตารางที่ 3) ส่วนสัตว์ที่มีการติดเชื้อทางเดินปัสสาวะส่วนต้นมักแสดงอาการเจ็บบริเวณไต การติดเชื้อในกระเพาะเลือด ได้มีขนาดใหญ่ขึ้น หรือเกิดภาวะไตวาย นอกจากนี้หากเกิดการติดเชื้อทางเดินปัสสาวะร่วมกับปัจจัยโน่นนำ เช่น เบาหวาน hyperadrenocorticism อาการทางคลินิกมักสัมพันธ์กับอาการของปัจจัยโน่นนำ (Bartges, 2005) Dunning และ Stonehewer (2002) กล่าวว่าอาการทางคลินิกที่สัมพันธ์กับการติดเชื้อทางเดินปัสสาวะ ได้แก่ ปวดเบ่งปัสสาวะ ปัสสาวะกระพริดกระปรอย ปัสสาวะลำบาก ปัสสาวะเป็นเลือด ปัสสาวะเวลาลงครางคืน ปัสสาวะมาก (อาจร่วมกับการดื่มน้ำมาก) กลิ่นของปัสสาวะผิดปกติ ปัสสาวะขุนมากกว่าปกติ มีไข้ อ่อนเพลีย เปื้ออาหาร อาเจียน ปวดบริเวณต่อมลูกหมาก หรือต่อมลูกหมากใหญ่ขึ้น การติดเชื้อของต่อมลูกหมากพบได้บ่อยในสุนัขเพศผู้ที่ยังไม่ได้ทำหมัน อาการผิดปกติมักไม่เฉพาะเจาะจงแต่มักจะปวดซ่องห้องด้านท้าย ปวดเบ่งปัสสาวะ ปัสสาวะลำบาก มีไข้ เปื้ออาหาร และมักเกิดการติดเชื้อทางเดินปัสสาวะแบบการติดเชื้อกลับ (relapsing UTIs) ร่วมด้วย

สถาบันวิทยบริการ
จุฬาลงกรณ์มหาวิทยาลัย

ตารางที่ 2 แสดงความผิดปกติที่ช่วยในการระบุตำแหน่งของการติดเชื้อระบบทางเดินปัสสาวะ

ตำแหน่งที่ติดเชื้อ	ประวัติ	การตรวจร่างกาย	ผลการตรวจทางห้องปฏิบัติการ	รังสีวิทยา
ทางเดินปัสสาวะส่วนล่าง	ปัสสาวะลำบาก ปัสสาวะกระพริดกระป洛ย ปัสสาวะเป็นเลือด ปัสสาวะขุ่น กลินเมห์มันผิดปกติ ไม่มีอาการตามระบบ เคยทำการสวนห่อปัสสาวะ หรือ urethrostomy	กระเพาะปัสสาวะหนาตัว ปวด ± คลำพบก้อนนิ่ว ± คลำพบก้อนเนื้อในกระเพาะ ปัสสาวะหรือท่อปัสสาวะ	ค่าโลหิตวิทยา: ปกติ การวิเคราะห์ปัสสาวะ: ปัสสาวะเป็นเลือด โปรตีนใน ปัสสาวะ พบเม็ดเลือดขาวใน ปัสสาวะ	ไตรปักษิ ความผิดปกติของทางเดินปัสสาวะ ส่วนล่าง ± นิ่วในกระเพาะปัสสาวะ หรือท่อ ปัสสาวะ ± ผนังกระเพาะปัสสาวะหนาตัว ผิว เยื่อบุไม่เรียบ
ทางเดินปัสสาวะส่วนต้น	ปัสสาวะมาก ดีมน้ำมาก ± อาการการติดเชื้อตามระบบ ± ไตวาย	± มีไข้ อาการติดเชื้อตามระบบ ± ปวดท้อง โดยเฉพาะบริเวณ ไต ไตมีขนาดปกติหรือใหญ่ขึ้น	ค่าโลหิตวิทยา: ± เม็ดเลือดขาว เพิ่มขึ้น การวิเคราะห์ปัสสาวะ: ปัสสาวะเป็นเลือด โปรตีนใน ปัสสาวะ แบคทีเรียในปัสสาวะ เม็ดเลือดขาวในปัสสาวะ white blood cell หรือ granular casts ± azotemia หรือ ไตวาย	ไตรխานดใหญ่ขึ้น ± รูปร่างของไตรปักษิ ± นิ่วในไต หรือท่อไต ± มีการขยายของ renal pelvis, pelvic diverticula ± มีการอุดตันการหลับปัสสาวะ

ตารางที่ 2 (ต่อ)

ตำแหน่งที่ติดเชื้อ	ประวัติ	การตรวจร่างกาย	ผลการตรวจทางห้องปฏิบัติการ	รังสีวิทยา
ต่อมลูกหมากอักเสบเฉียบพลัน หรือฝีที่ต่อมลูกหมาก	ของเหลวในหลอดท่อปัสสาวะ ⁺ แสดงอาการการติดเชื้อตามระบบ	ไข้และอาการการติดเชื้อตามระบบ ⁺	ค่าโลหิตวิทยา: ± เม็ดเลือดขาวเพิ่มขึ้น ⁺ การวิเคราะห์ปัสสาวะ: และหรือ ปวดบริเวณช่องท้อง ⁺ ± ต่อมลูกหมากโต หรือขนาดไม่สมมาตรกัน	± ต่อมลูกหมากโต ⁺ ± ถุงน้ำที่ต่อมลูกหมาก ⁺ ± การไนหลอย่อนของสารเรืองแสงบริเวณต่อมลูกหมาก
ต่อมลูกหมากอักเสบเรื้อรัง	การติดเชื้อทางเดินปัสสาวะ ⁺ วงกลับ	มักไม่แสดงความผิดปกติ เด่นชัด	ค่าโลหิตวิทยา: ปกติ ⁺ การวิเคราะห์ปัสสาวะ: เม็ดเลือดขาวในปัสสาวะ ⁺ เป็นเลือด แบคทีเรียในปัสสาวะ	± ต่อมลูกหมากโต ⁺ ± ถุงน้ำที่ต่อมลูกหมาก ⁺ ± แร่ธาตุสะสมที่ต่อมลูกหมาก

ที่มา: Bartges (2005)

สถาบันวิทยบริการ จุฬาลงกรณ์มหาวิทยาลัย

ตารางที่ 3 แสดงสาเหตุของการปัสสาวะเป็นเลือดตามตำแหน่ง

SITE / ท่อ/ไต	กระบวนการปัสสาวะ	ท่อปัสสาวะ	ระบบทางเดินสีบพันธุ์	นอกระบบทางเดินปัสสาวะ
gravay ไトイอักเสบ นิวไนไトイ นิวไนท่อไトイ เน็องอก	การติดเชื้อ นิว เน็องอก ยา	นิว การติดเชื้อ การอักเสบ เน็องอก	โรคของต่อมลูกหมาก โรคของช่องคลอด โรคของปากช่องคลอด โรคของมดลูก	การแข็งตัวของเลือดผิดปกติ Trauma การออกกำลังกาย
Benign renal hematuria	Idiopathic cystitis	Granulomatous urethritis	โรคของหนังห้มลึงค์	
ขาดเลือด	ปราสิต		ระยะเป็นสีด (estrus)	

ที่มา: Reine and Langston (2005)

สถาบันวิทยบริการ
จุฬาลงกรณ์มหาวิทยาลัย

2.1.5 การตรวจวินิจฉัย

การตรวจวินิจฉัยการติดเชื้อแบคทีเรียในทางเดินปัสสาวะสามารถยืนยันด้วยการเพาะเชื้อปัสสาวะ (ตารางที่ 4) เพราะการตรวจวินิจฉัยโดยอาศัยแค่การพิจารณาเซลล์อักเสบจากการตรวจวิเคราะห์ปัสสาวะแต่เพียงอย่างเดียว อาจเป็นการวินิจฉัยการติดเชื้อที่เกินความเป็นจริง ส่วนการที่ไม่พบปัสสาวะเป็นเลือด ปัสสาวะลำบาก หรือโพรตีนในปัสสาวะ มีได้หมายถึงไม่มีการติดเชื้อแต่อาจเป็นผลจากยังไม่มีการตอบสนองต่อการอักเสบของร่างกาย การเพาะเชื้อปัสสาวะที่ให้ผลบวกบ่งบอกว่าแบคทีเรียที่พบนั้นเป็นสาเหตุของการเกิดโรคหรืออาจเป็นการติดเชื้อแทรกซ้อนจากภาวะอื่นๆ เช่น เนื้อของ การเกิดนิว หรือ อาจเป็นผลภายหลังการผ่าตัด (Bartges, 2005) ขั้นตอนการตรวจวินิจฉัยประกอบด้วย

การซักประวัติและการตรวจร่างกาย

ทำการซักประวัติ อายุ เพศ พันธุ์ สถานะทางระบบสืบพันธุ์และทำการตรวจร่างกายให้ครบถ้วน เนื่องจากสัตว์ป่วยที่การติดเชื้อทางเดินปัสสาวะอาจไม่แสดงอาการทางคลินิก (ตารางที่ 2)

การตรวจทางห้องปฏิบัติการ

การติดเชื้อทางเดินปัสสาวะมักมีค่าโลหิตวิทยาอยู่ในค่าปกติ แต่หากมีการติดเชื้อเข้ากระเพาะแล้วจะมีความตัวอย่างพbmned เลือดขาวสูงขึ้น การติดเชื้อทางเดินปัสสาวะส่วนต้น ค่าชีวเคมีในเลือดอาจปกติหรือบ่งบอกภาวะไตวาย หากมีการติดเชื้อทางเดินปัสสาวะร่วมกับความผิดปกติอื่นๆ มักพบความผิดปกติของผลการตรวจทางห้องปฏิบัติการที่สัมพันธ์กับความผิดปกติดังกล่าว

รังสีวิทยาและการส่องกล้องตรวจ

การถ่ายภาพรังสีวิทยาของห้อง อาจพบนิ่ว ไตรีขนาดใหญ่ขึ้นหรือเล็กลง หรือความผิดปกติอื่นๆ ที่เป็นปัจจัยโน้มนำให้เกิดการติดเชื้อทางเดินปัสสาวะ เช่น กระเพาะปัสสาวะอยู่บริเวณเชิงกราน (pelvic bladder) นอกจากนี้อาจใช้เทคนิคอื่น เช่น การใช้สารทึบแสง (contrast radiography) การบันทึกด้วยคลื่นเสียงความถี่สูง (ultrasonography) หรือการใช้ nuclear scintigraphy (Bartges, 2005) นอกจากนี้ยังมีการใช้การส่องกล้องตรวจ (endoscopy) ของทางเดินปัสสาวะส่วนปลาย นี่ประโยชน์ในการมองรอยโรคบริเวณ mucosa หรือ intraluminal ของผนังกระเพาะปัสสาวะ

การตรวจวิเคราะห์ปัสสาวะ

การตรวจวิเคราะห์ปัสสาวะที่ครบถ้วนควรประกอบด้วย การตรวจคุณสมบัติทางกายภาพ (ศีรษะปัสสาวะ) ค่าชีวเคมีในปัสสาวะ (ความเป็นกรด-ด่างของปัสสาวะ กลูโคส โปรตีน เลือด บิลิูบิน ยูโรบิลิโนเจน) และการตรวจวิเคราะห์ต่อก่อนปัสสาวะ (Reine and Langston, 2005)

ปัสสาวะปกติควรมีสีเหลืองอ่อนๆ ไม่เข้ม ปัสสาวะที่มีความเข้มข้นมากจะมีสีเหลืองเข้ม ขณะที่ปัสสาวะเจือจางมีสีเหลืองใส สิ่งที่เพิ่มความเข้มข้นของปัสสาวะ เช่น เม็ดเลือดขาว เม็ดเลือดแดง คริสตัล แบคทีเรีย เยื่อเมือก ไขมันและการปนเปื้อน การวัดความถ่วงจำเพาะของปัสสาวะ บอกถึงปริมาณของสารทั้งหมดที่ละลายอยู่ในปัสสาวะ วัดโดยเครื่อง reflectometer พบร้าปัสสาวะปกติจะมีค่าความถ่วงจำเพาะ อุญในช่วง 1.001-1.065 แต่ในสุนัขที่ไถยังทำหน้าที่ได้เป็นปกติ ค่าความถ่วงจำเพาะของปัสสาวะ จะมากกว่า 1.030 อย่างไรก็ตามการแปลผลค่าความถ่วงจำเพาะของปัสสาวะจำเป็นที่ต้องวิเคราะห์ร่วมกับสภาพน้ำในร่างกาย ตลอดจนสารที่ละลายอยู่ในปัสสาวะด้วย เช่น กลูโคส โปรตีน (Reine and Langston, 2005)

ค่าชีวเคมีในปัสสาวะ นิยมใช้ urine dipstick ใน การตรวจวิเคราะห์ แต่ปัสสาวะที่มีเลือดปนหรืออุนออกทำการปั่นให้ยิ่งแล้วนำส่วนใส่ด้านบน (supernatant) มาใช้ในการวิเคราะห์แทน การใช้ dipstick อาศัยการทำปฏิกิริยาของเอนไซม์ และ indicator ที่อยู่บน dipstick เช่น ฮีม (heme) ของฮีโมโกลบินหรือไมโโนโกลบิน ทำหน้าที่คล้าย peroxidase ทำให้เกิดการเปลี่ยนสีบนแผ่น strip เริ่มที่ความเข้มข้นของเม็ดเลือดแดง 5-20 ต่อมิลลิลิตร หรือ 0.015-0.062 มิลลิกรัมต่อเดซิลิตรของฮีโมโกลบินอิสระขณะที่เลือด 0.5 มิลลิลิตรต่อปัสสาวะ 1 ลิตร (2500 เม็ดเลือดแดงต่อมิลลิลิตร) ถึงจะเห็นปัสสาวะเป็นเลือดด้วยตาเปล่า ปัสสาวะเป็นเลือด บ่งบอกความผิดปกติของทางเดินปัสสาวะส่วนล่างหรือระบบสีบพันธุ์ (ท่อปัสสาวะ ต่อมลูกหมาก กระเพาะปัสสาวะ) เช่น การติดเชื้อ เนื้องอก การอักเสบ และทางเดินปัสสาวะส่วนต้น (ไต ท่อไต) เช่น กรวยไตอักเสบ เนื้องอก หรือ protein-losing nephropathy (Reine and Langston, 2005) การตรวจพบฮีโมโกลบินในปัสสาวะ (hemoglobinuria) สามารถตรวจพบได้เนื่องจาก การแตกของเม็ดเลือดแดงในปัสสาวะ หรือระดับฮีโมโกลบินในเลือดสูงจากการภาวะเม็ดเลือดแดงแตก (hemolysis) เช่น immune-mediated hemolytic anemia สารพิษและการติดเชื้อ การแยกปัสสาวะเป็นเลือดออกจากรายละเอียดในปัสสาวะ สามารถแยกได้โดยดูจากส่วนใส่ด้านบนที่ได้จากการปั่นให้ยิ่ง ถ้ามีลักษณะใส และมีเม็ดเลือดรวมอยู่กันหลอดหมายถึงปัสสาวะเป็นเลือด

การตรวจวิเคราะห์ต่อก่อนปัสสาวะ ได้แก่ เซลล์ต่างๆ เช่น เม็ดเลือดแดง เม็ดเลือดขาว เซลล์เยื่อบุ ซึ่งตอบสนองต่อการอักเสบหรือการติดเชื้อทางเดินปัสสาวะส่วนล่าง คาสต์ คือ กลุ่มของโปรตีนที่จับรวมกันเป็นทรงกระบอกยาวตามรูปว่างของห่อไต ซึ่งขนาด รูป่างและชนิดของคาสต์ สามารถบ่งบอกตำแหน่งของความผิดปกติของห่อไตได้ เช่น white blood cell cast พบร้าในรายกรวยไต อักเสบเฉียบพลัน (acute pyelonephritis) หรือการตายของห่อไตเฉียบพลัน (acute tubular necrosis)

การเพาะเชื้อปัสสาวะ

การเพาะเชื้อปัสสาวะเป็นวิธีมาตรฐานในการวินิจฉัยการติดเชื้อทางเดินปัสสาวะ โดยปัสสาวะที่เก็บความจากวิธีการเก็บปัสสาวะที่สะอาด ไม่มีการปนเปื้อน วิธีการเก็บปัสสาวะที่เหมาะสมคือ การเจาะผ่านผนังหน้าท้อง (cystocentesis) ก่อนเก็บปัสสาวะควรมีการหยุดยาต้านจุลชีพที่ได้รับอยู่ก่อนประมาณ 3-5 วันก่อนการเก็บปัสสาวะเพื่อลดการยับยั้งการเจริญของจุลชีพ

การเพาะเชื้อปัสสาวะมักใช้ในการวินิจฉัยการติดเชื้อแบคทีเรียในทางเดินปัสสาวะ ส่วนการเพาะเชื้อยีสต์หรือเชื้อราจะทำเมื่อสงสัยจากการตรวจวิเคราะห์ต่อก่อนปัสสาวะ ปัสสาวะที่เก็บได้ควรทำการเพาะเชื้อด้วยเจลที่สุด หรืออาจเก็บรักษาที่ 4 องศาเซลเซียส (หากไม่สามารถวิเคราะห์ได้ทันที) เนื่องจากแบคทีเรียสามารถแบ่งตัวได้ทุก 20-45 นาทีที่อุณหภูมิห้อง จากนั้นทำการเพาะ พิสูจน์ เชื้อแบคทีเรีย และทดสอบความไวรับต่อยาต้านจุลชีพต่อไป (Bartges, 2005)

การเพาะเชื้อปัสสาวะเชิงคุณภาพ (Qualitative urine culture) เป็นการเพาะและแยกพิสูจน์เชื้อแบคทีเรียในปัสสาวะ มิได้ทำการนับปริมาณแบคทีเรียในปัสสาวะ ถึงแม้ว่าปัสสาวะในกระเพาะปัสสาวะจะปลดล็อกเชื้อ แต่ปัสสาวะที่ผ่านทางเดินปัสสาวะส่วนปลายและทางเดินสีบพันธุ์มีโอกาสบ่นเป็นกับเชื้อประจำถิ่น ทำให้พับแบคทีเรียในปัสสาวะที่เก็บด้วยวิธีการสวนท่อปัสสาวะหรือการรองเก็บช่องกลางของการปัสสาวะ ด้วยเหตุผลดังกล่าวการวินิจฉัยการเพาะเชื้อปัสสาวะควรทำการเพาะเชื้อปัสสาวะเชิงปริมาณ เพื่อดูปริมาณแบคทีเรียในปัสสาวะตามวิธีการเก็บปัสสาวะ (Polzin, 1994)

การเพาะเชื้อปัสสาวะเชิงปริมาณ (Quantitative urine culture) เป็นการเพาะ แยกพิสูจน์เชื้อและทำการนับแบคทีเรียในปัสสาวะ หน่วยเป็นจำนวนโคโลนีต่อมิลลิลิตรของปัสสาวะ (colony-forming units per milliliter of urine) โดยจำแนกตามวิธีการเก็บปัสสาวะ (Lulich and Osborne, 2004)

ตารางที่ 4 แสดงการแปลผลการเพาะเชื้อปัสสาวะเชิงปริมาณในสุนัข จำแนกตามวิธีการเก็บปัสสาวะ หน่วยเป็นจำนวนโคโลนีต่อมิลลิลิตรของปัสสาวะ

วิธีการเก็บปัสสาวะ	ติดเชื้อทางเดินปัสสาวะ	สงสัยว่ามีการติดเชื้อ	การปนเปื้อน
การเจาะกระเพาะปัสสาวะ ผ่านผนังหน้าท้อง	$\geq 10^3$	10^2-10^3	$\leq 10^2$
การสวนท่อปัสสาวะ	$\geq 10^4$	10^3-10^4	$\leq 10^3$
การรองเก็บช่องกลางของ ปัสสาวะ	$\geq 10^5$	$10^4-9 \times 10^4$	$\leq 10^4$
การนึบกระเพาะปัสสาวะ	$\geq 10^5$	$10^4-9 \times 10^4$	$\leq 10^4$

ที่มา: Bartges, 2005

2.1.6 การรักษา

ส่วนมากการติดเชื้อแบคทีเรียในทางเดินปัสสาวะมักเป็นแบบไม่วัยแรงและมักตอบสนองต่อการรักษาด้วยยาต้านจุลชีพ แต่สัตว์ป่วยบางรายอาจไม่ตอบสนองต่อการรักษาและอาจพัฒนาเป็นการติดเชื้อวากลับ (recurrent infection) เช่น กลับมา มีการติดเชื้อทางเดินปัสสาวะภายหลังหยุดการรักษา การติดเชื้อวากลับ อาจแบ่งได้เป็น การติดเชื้อวากลับ (relapse, persistant infection) หมายถึง การติดเชื้อวากลับโดยมีสาเหตุมาจากจุลชีพสายพันธุ์และ serology เดิมมักเกิดหลังหยุดยาต้านจุลชีพในทางหลวงกันข้าม การติดเชื้อซ้ำ (reinfection) หมายถึง การติดเชื้อวากลับที่มีสาเหตุมาจากจุลชีพต่างชนิดจากการติดเชื้อก่อนหน้า ซึ่งมักเกิดขึ้นภายหลังจากหยุดการได้รับยาต้านจุลชีพมาเป็นเวลานาน ส่วนการติดเชื้อสำทับ (superinfection) คือ การติดเชื้อจุลชีพชนิดใหม่ซึ่งเกิดขณะทำการรักษาด้วยยาต้านจุลชีพซึ่งจำเพาะกับจุลชีพชนิดเดิมอยู่ การติดเชื้อชนิดนี้มักเกิดขึ้นภายหลังจากการยาท่อปัสสาวะ เป็นเวลานาน หรือตามมาภายหลังจากผ่าตัดแก้ไขที่ทางเดินปัสสาวะ เมื่อส่วนต้นของท่อปัสสาวะ กระเพาะปัสสาวะหรือไทร สัมผัสโดยตรงกับภายนอก เช่น การผ่าตัด antepubic urethrostomy, tube cystostomy หรือ percutaneous nephropyleostomy มักเกิดการติดเชื้อสำทับได้ง่ายขึ้น (Osborne, 1995) การแบ่งชนิดของการติดเชื้อวากลับ เช่น การติดเชื้อวากลับ หรือการติดเชื้อซ้ำมีประโยชน์ในแง่ของการบอกราคาเหตุของการติดเชื้อวากลับ จากล่าว่าได้ว่าการติดเชื้อวากลับ หมายถึง การที่จุลชีพมีการเพิ่มจำนวนในส่วนของทางเดินปัสสาวะ (ยกเว้นท่อทางเดินปัสสาวะ) ซึ่งเคยถูกกำจัดไปแล้วแต่กลับมาเพิ่มจำนวนใหม่ภายหลังหยุดได้รับยาต้านจุลชีพ (ระยะเวลาอาจนานเป็นสัปดาห์) (Bartges, 2005) สัตว์ป่วยที่มีปัญหาการติดเชื้อทางเดินปัสสาวะหากลับมักได้รับการรักษาโดยการให้ยาต้านจุลชีพ (อาจเป็นชนิดเดิมหรือชนิดใหม่) ซึ่งพบว่ามักไม่ได้รับสนองต่อการรักษาเนื่องจากไม่สามารถระบุเชื้อหรือตัวแหน่งที่เกิดปัญหา ซึ่งในกรณีที่เกิดการติดเชื้อวากลับ การวินิจฉัยโดยเพียงอาศัยการตรวจร่างกายและผลจากการตรวจวิเคราะห์ปัสสาวะอาจไม่เพียงพอโดยเฉพาะเมื่อเกิดปัญหาการใช้ยาต้านจุลชีพไม่ได้ผล (Polzin, 1994) ดังนั้นจึงควรมีการทดสอบหาความไวรับของเชื้อแบคทีเรียต่อยาต้านจุลชีพควบคู่กันไป เพื่อที่จะได้ทราบชนิดของยาต้านจุลชีพที่เหมาะสมกับชนิดของเชื้อแบคทีเรีย หรือเหมาะสมกับการรักษา พร้อมทั้งกำจัดหรือให้การรักษาสาเหตุในมำเนื่องๆ ที่ทำให้เกิดการติดเชื้อ เช่น การเกิดนิ่วหรือเบาหวาน ควบคู่กันไป นอกจากนี้การเพาะเชื้อปัสสาวะเป็นสิ่งสำคัญที่ใช้ในการติดตามผลการรักษา และใช้จำแนกชนิดของการติดเชื้อในกรณีเกิดการติดเชื้อซ้ำ (Lulich and Osborne, 2004) ชนิดของยาต้านจุลชีพที่มักพบว่าเหมาะสมกับชนิดของเชื้อแบคทีเรียที่แยกได้จากปัสสาวะของสุนัขที่ติดเชื้อทางเดินปัสสาวะ (ตารางที่ 5)

ตารางที่ 5 แสดงชนิดของยาต้านจุลชีพ และชนิดของแบคทีเรียที่แยกได้จากปัสสาวะของสุนัขที่มีการติดเชื้อทางเดินปัสสาวะ

ชนิดของยาต้านจุลชีพ	ชนิดของแบคทีเรียที่ไวรับต่อยาต้านจุลชีพ
Amoxicillin, ampicillin	<i>Staphylococcus</i> spp., <i>Streptococcus</i> spp., <i>Enterococcus</i> spp., <i>Proteus</i> spp.
Amoxicillin/clavulanic acid	<i>Staphylococcus</i> spp., <i>Streptococcus</i> spp., <i>Enterococcus</i> spp., <i>Proteus</i> spp., <i>E. coli</i> , <i>Klebsiella</i> spp.
Cephalexin	<i>Staphylococcus</i> spp., <i>Streptococcus</i> spp., <i>Proteus</i> spp., <i>E. coli</i> , <i>Klebsiella</i> spp.
Ceftiofur	<i>Proteus</i> spp., <i>E. coli</i> , <i>Klebsiella</i> spp.
Enrofloxacin	<i>Staphylococcus</i> spp., <i>Proteus</i> spp., <i>E. coli</i> , <i>Klebsiella</i> spp., <i>Pseudomonas</i> spp., <i>Enterobacter</i> spp.
Gentamicin	<i>Staphylococcus</i> spp., <i>Proteus</i> spp., <i>E. coli</i> , <i>Klebsiella</i> spp., <i>Pseudomonas</i> spp.
Tetracycline	<i>Streptococcus</i> spp., <i>Pseudomonas</i> spp., <i>Mycoplasma</i> spp.
Trimethoprim/sulphamethoxazole	<i>Streptococcus</i> spp., <i>Staphylococcus</i> spp., <i>Proteus</i> spp., <i>E. coli</i> , <i>Klebsiella</i> spp.

ที่มา: Rohrich et al., 1983; Ling, 1984; Dowling, 1996; Bartges, 2005

2.2 การตรวจหาปั๊จจัยที่เกี่ยวข้องกับความรุนแรงต่อทางเดินปัสสาวะของ uropathogenic

E. coli (UPEC)

การตรวจหาปั๊จจัยที่เกี่ยวข้องกับความรุนแรงต่อทางเดินปัสสาวะของ UPEC เริ่มจาก การศึกษาหากลุ่มซีรัม (serogroup) การหาภูนที่เกี่ยวข้องกับการสร้างฟิมเบรีย การสร้างสารไฮโมไอลิชิน ด้วยวิธีการทดสอบเม็ดเลือดแดง (hemagglutination) การหาตัวรับจำเพาะ (specific receptors) และ DNA hybridization (Westerlund et al., 1987; Wilson et al., 1988; Low et al., 1988; Senior et al., 1992) โดย Westerlund และคณะ (1987) รายงานการศึกษา UPEC ในสุนัข โดยได้ศึกษา *E. coli* จำนวน 33 สายพันธุ์ที่แยกได้จากปัสสาวะของสุนัขที่มีปัญหาการติดเชื้อทางเดินปัสสาวะ พบร่วมปั๊จจัยที่เกี่ยวข้อง กับความรุนแรง เช่น ฟิมเบรีย พีแอลอัลฟ่า ไฮโมไอลิชินมีส่วนเกี่ยวข้องกับการเกิดโรค เช่นเดียวกับในมนุษย์ Low และคณะ(1988) ทำการวิเคราะห์ *E. coli* สายพันธุ์ที่แยกได้จากสุนัขที่มีการติดเชื้อทางเดิน ปัสสาวะและเปรียบเทียบกับสายพันธุ์ที่แยกได้ในผู้ป่วยที่มีการติดเชื้อทางเดินปัสสาวะพบว่า ลำดับ เปสของสารพันธุกรรมของยีน pilus associated with pyelonephritis (*pap*), hemolysin (*hly*) และ insertion sequence 5 (IS5) มีความคล้ายคลึงกันเมื่อศึกษาด้วยวิธี southern blot จากผลการศึกษา สันนิษฐานได้ว่า UPEC สามารถก่อโรคได้ทั้งในมนุษย์และสุนัข ต่อมามีการประยุกต์ใช้ปฏิกิริยาลูกลิ่ว โพลิเมอร์เรสมาตรฐานที่เกี่ยวข้องกับความรุนแรงต่อทางเดินปัสสาวะ พบร่วมมีความไว ความจำเพาะ รากคุณภาพและส่วนประกอบวิธี hybridization (Le Bouguenec et al., 1992) Yamamoto และ คณะ (1995) กล่าวว่าสามารถใช้ปั๊จจัยที่เกี่ยวข้องกับความรุนแรงต่อทางเดินปัสสาวะ เช่น ยีน *pap*, *sfa*,

afal, hly, aer และ *cnf1* เป็นตัวบ่งชี้การตรวจหา UPEC และการติดเชื้อทางเดินปัสสาวะในมนุษย์ ซึ่ง Yuri และคณะ (1998) นำผลการศึกษาดังกล่าวมาศึกษาในสุนัขและแมวที่มีปัญหาการติดเชื้อ *E. coli* ในทางเดินปัสสาวะ พบร่วมกับการกระจายของปัจจัยที่เกี่ยวข้องกับความรุนแรงต่อทางเดินปัสสาวะ ดังกล่าวสูงกว่าเชื้อ *E. coli* ที่แยกได้จากอุจจาระอย่างมีนัยสำคัญในกลุ่มสุนัขและแมวที่มีปัญหาการติดเชื้อ *E. coli* ในทางเดินปัสสาวะ บ่งชี้ว่าปัจจัยที่เกี่ยวข้องกับความรุนแรงของ UPEC มีส่วนเกี่ยวข้อง กับพยาธิกำเนิดของการติดเชื้อทางเดินปัสสาวะในสุนัขและแมวคล้ายกับในมนุษย์

เมื่อจำแนกตาม O-serotypes มักพบเชื้อ *E. coli* สายพันธุ์ O4 และ O6 ควบคู่กับปัจจัยที่เกี่ยวข้องกับความรุนแรงต่อทางเดินปัสสาวะ เช่น *pap, sfa, hly* และ *cnf1* (Yuri et al., 1999) จาก การศึกษาของ Feria และคณะ (2001) พบร่วมกับที่มีปัญหาการติดเชื้อ *E. coli* ในทางเดินปัสสาวะ ตรวจพบ *pap, sfa, hly* และ *cnf1* เช่นเดียวกับในสุนัขที่มีปัญหาเดียวกัน นอกจากปัญหาการติดเชื้อทางเดินปัสสาวะแล้ว UPEC ยังเป็นสาเหตุให้เกิดภาวะดลูกอักเสบและเป็นหนองในสุนัขได้เช่นกัน (Hagman and Kuhn, 2002) ซึ่งเมื่อมีการศึกษาทางอนุชีวิตยาเชื่อว่า P fimbriae, α -hemolysin และ cytotoxic necrotizing factor I มีส่วนเกี่ยวข้องกับความรุนแรงและพยาธิกำเนิดในระบบสีบพันธุ์ของ สุนัข (Chen et al., 2003)

ชนิดของยีนที่เกี่ยวข้องกับความรุนแรงของแบคทีเรียก่อโรค อาจจะอยู่บนส่วนของสารพันธุกรรมนอกโครโนม เช่น ทรานส์โพโซน (transposon), พลาสมิด (plasmid), แบคทีริโอเฟจ (bacteriophage) หรืออยู่บนบริเวณเฉพาะของโครโนมที่เรียกว่า virulence blocks, virulence cassettes หรือ pathogenicity islands (PAIs) ตามขนาดของบริเวณนั้นๆ อาจกล่าวได้ว่า PAIs หมายถึงบริเวณบนโครโนมที่มียีนที่เกี่ยวข้องกับความรุนแรงหลายๆ ยีนอยู่ด้วยกัน มีขนาดประมาณ 10 ถึง 200 กิโลเบส อยู่ใกล้กับลำดับเบสของสารพันธุกรรมที่มีลักษณะจำเพาะ เช่น บริเวณที่มีเบสซ้ำๆ กัน, tRNA หรือ insertion sequence (IS) elements มักมีขนาดไม่คงที่ และมีส่วนประกอบของ G+C แตกต่างจากสารพันธุกรรมของแบคทีเรียเอง

สามารถพบ PAIs ได้ทั้งแบคทีเรียแกรมลบและแบคทีเรียแกรมบวก และมักพบเฉพาะแบคทีเรียสายพันธุ์ที่ก่อโรค (Hacker et al., 1997) เมื่อศึกษา UPEC สายพันธุ์ต้นแบบ เช่น สายพันธุ์ 536 พบร่วมกับ PAIs หลายบริเวณ เช่น PAI I (α -hemolysin), PAI II (α -hemolysin, P-fimbriae *papG* III), PAI III (S fimbriae, *iro* siderophore system, Tsh-like hemoglobin protease) และ PAI IV หรือ high-PAI (HPI) (yersiniabactin siderophore system) (Oelschlaeger et al., 2002) Kurazono และคณะ (2000) รายงานการพบ putative virulence island ขนาดประมาณ 4,167 คู่เบสซึ่งประกอบด้วยกรดอะมิโน 346 ชนิดและ 3 โอลิโนเรดติงเฟรม (ORFs; *orfU1-3* มีกรดอะมิโน 98, 97 และ 96 ชนิด) โดยที่กลุ่มยีนดังกล่าวพบใน UPEC ที่แยกจากปัสสาวะของผู้ป่วยที่มีการติดเชื้อทางเดินปัสสาวะ (grave-pัสสาวะ

อักเสบ ต่อมลูกหมากอักเสบ และรายไトイอักเสบ) อีกทั้งเมื่อจัดเข้าหนูทดลองสามารถเห็นร่องรอยในหัวหนูทดลองเกิดการติดเชื้อทางเดินปัสสาวะ โดยพบการเข้ามาของ PMNs บริเวณ tubular และ interstitium ของส่วน renal pelvis, cortex ส่วนของ medulla นอกจากจะพบการเข้ามาของเซลล์อักเสบแล้ว ยังพบ papillary necrosis และ tubular dilatation ร่วมด้วยเมื่อศึกษาทางจุลพยาธิวิทยา เช่นเดียวกับในผู้ป่วยรายไトイอักเสบ (Yamamoto et al, 2001) Kurazono และคณะ (2003) รายงานการพบการกระจายของ usp gene ตั้งแต่ล่าสุดใน *E. coli* ที่แยกจากสุนัขและแมวที่มีการติดเชื้อทางเดินปัสสาวะ เมื่อเทียบกับ *E. coli* ที่แยกจากอุจจาระของสุนัขและแมวปกติ โดยที่ usp จากปฏิกิริยาลูกโซโพลิเมอร์เรสซิวนาด 1 และ 2.5 กิโลเบส ซึ่งสอดคล้องกับการศึกษา ก่อนหน้าที่กล่าวว่า สามารถพบ usp ที่มีขนาด 1, 2.5 และ 3 กิโลเบสในผู้ป่วยที่มีการติดเชื้อ *E. coli* ในทางเดินปัสสาวะ (Nakano et al., 2001)

สถาบันวิทยบริการ จุฬาลงกรณ์มหาวิทยาลัย

บทที่ 3

วิธีดำเนินการวิจัย

3.1 นิยามสัตว์ป่วย

ทำการเก็บตัวอย่างและข้อมูลจากสุนัขป่วยที่เข้ารับการรักษาที่โรงพยาบาลสัตว์เล็ก คณะสัตวแพทยศาสตร์ จุฬาลงกรณ์มหาวิทยาลัย จำนวน 105 ตัว ระหว่างเดือน เมษายน พ.ศ. 2550 ถึงเดือน มกราคม พ.ศ. 2551 บันทึกข้อมูลเพศ อายุ พันธุ์ ประวัติการป่วย การตรวจร่างกาย อาการทางคลินิก ผลการตรวจพยาธิวิทยาคลินิก และสถานะทางระบบสืบพันธุ์ เมื่อเข้ารับการรักษาที่โรงพยาบาลสัตว์เล็กเป็นครั้งแรก สุนัขที่ศึกษาเป็นสุนัขที่แสดงอาการผิดปกติของระบบทางเดินปัสสาวะ คือ ปัสสาวะเป็นเลือด ปัสสาวะลำบาก ปัสสาวะกระปริบกระปรอย ปวดเบ่งปัสสาวะ ปัสสาวะไม่เป็นที่ และ/หรือ ปัสสาวะมีกลิ่นเหม็นผิดปกติ ทำการวินิจฉัยการติดเชื้อทางเดินปัสสาวะโดยการซักประวัติ การตรวจร่างกาย การตรวจวิเคราะห์ปัสสาวะ ภาพถ่ายทางรังสีวิทยา และ/หรือ การถ่ายภาพด้วยคลื่นเสียงความถี่สูง ทำการเพาะเชื้อจากปัสสาวะ นับจำนวนแบคทีเรียที่มีชีวิตจากปัสสาวะของสุนัขที่สงสัยมีการติดเชื้อทางเดินปัสสาวะ

3.2 การคัดเลือกตัวควบคุม

ตัวควบคุมเป็นสุนัขปกติสุขภาพแข็งแรง ไม่มีประวัติแสดงอาการปัสสาวะเป็นเลือด ปัสสาวะลำบาก ปัสสาวะกระปริบกระปรอย ปวดเบ่งปัสสาวะ ปัสสาวะไม่เป็นที่ และ/หรือ ปัสสาวะมีกลิ่นเหม็นผิดปกติ ที่มารับการฉีดวัคซีนที่โรงพยาบาลสัตว์เล็ก คณะสัตวแพทยศาสตร์ จุฬาลงกรณ์มหาวิทยาลัย ในช่วงเวลาเดียวกับสัตว์ป่วย และได้รับการประเมินสภาพร่างกายเบื้องต้นจากสัตวแพทย์ประจำโรงพยาบาล จากการซักประวัติและการตรวจร่างกายว่ามีสุขภาพปกติ

3.3 การเก็บตัวอย่าง

เก็บตัวอย่างปัสสาวะของสุนัข โดยวิธีเจาะผ่านผนังหน้าท้องหรือการสวนท่อปัสสาวะ เพื่อทำการตรวจวิเคราะห์ปัสสาวะ การเพาะเชื้อปัสสาวะ และการตรวจหาเชื้อที่เกี่ยวข้องกับความรุนแรงต่อทางเดินปัสสาวะ นอกจากนี้ทำการเก็บตัวอย่างอุจจาระโดยใช้เจลเจริมจากทำความสะอาดบริเวณทวารหนักแล้วสอดก้านพันสำลีปราศจากเชื้อเข้าทางทวารหนัก ทำการ swab เก็บตัวอย่างอุจจาระลงในภาชนะเก็บตัวอย่างที่บรรจุอาหารเลี้ยงเชื้อสำหรับขนส่ง (transport media) ทำการตรวจวิเคราะห์ตัวอย่างทันที หรืออาจเก็บเข้าตู้เย็นที่ 4 องศาเซลเซียส และทำการตรวจวิเคราะห์ภายในเวลาไม่เกิน 1 ชั่วโมงหลังการเก็บ ตัวอย่างอุจจาระเพื่อศึกษาการแสดงออกของยีนที่เกี่ยวข้องกับความรุนแรงระหว่างเชื้อ *E. coli*

ที่แยกได้จากปัสสาวะของสุนัขป่วยเบรียบเทียบกับเชื้อ *E. coli* ที่แยกจากคุณภาพของสุนัขปกติต่อไป (Yuri et al., 1998; Chen et al., 2003)

3.4 การตรวจวินิจฉัยปัสสาวะ

ทำการบันทึกผลการตรวจวินิจฉัยปัสสาวะ เช่น ความถ่วงจำเพาะของปัสสาวะ ระดับของ การเกิดปัสสาวะเป็นเลือด (hematuria) โดยมีการแบ่งระดับของ อาการปัสสาวะเป็นเลือดเป็น 3 กลุ่ม คือ จำนวนเม็ดเลือดแดงในปัสสาวะระหว่าง 0-5, 5-50 และมากกว่า 50 เซลล์ต่อ high power field (hpf) (Seguin et al., 2003)

3.5 จรรยาบรรณการใช้สัตว์ทดลอง

ปฏิบัติตามข้อบังคับสัตวแพทย์สภาว่าด้วยจรรยาบรรณการใช้สัตว์ทดลองที่ผ่านการอนุมัติ จากคณะกรรมการควบคุมดูแลการเลี้ยงและการใช้สัตว์เพื่องานทางวิทยาศาสตร์ คณะกรรมการสัตวแพทย์ศาสตร์ จุฬาลงกรณ์มหาวิทยาลัย ใบอนุญาตให้ใช้สัตว์ฯ เลขที่ 0731016

3.6 การนับจำนวนแบคทีเรียทั้งหมด

3.6.1 การนับแบคทีเรียที่มีชีวิต

ทำการเจือจางตัวอย่างปัสสาวะที่คาดว่ามีแบคทีเรียแบบ ten-fold dilutions เพื่อนับจำนวน แบคทีเรีย ด้วยเทคนิคปลดออกเชื้อโดยวิธี spread plate method ดังนี้ ป้ายเชื้อจำนวน 0.1 มิลลิลิตร จากแต่ละความเข้มข้นบนผิวของจานอาหารเพาะเชื้อ ประมาณ 2 จานอาหารเลี้ยงเชื้อต่อ 1 ความเข้มข้น นำเข้าบ่มที่ 37 องศาเซลเซียส เป็นเวลา 24 ชั่วโมง ภายหลังจากบ่มทำการนับโคโลนีจากความเข้มข้น ที่สามารถนับโคโลนีระหว่าง 30-300 โคโลนี นำมาหาค่าเฉลี่ย การแปลงการเพาะเชื้อจากปัสสาวะ เทิงบromoan (ตารางที่ 4)

3.6.2 เทคนิคการเพาะเชื้อจากปัสสาวะและอุจจาระ

ทำการเพาะเชื้อจากปัสสาวะโดยบีนตัวอย่างปัสสาวะ 4000 x g เป็นเวลา 10 นาที แล้วนำตตะกอนป้ายบนอาหารเลี้ยงเชื้อ (Mac Conkey agar และ tryptic soy agar ที่ผสมเลือดแกะ 5%) สำหรับเพาะเชื้อต่อไป ส่วนการเพาะเชื้อจากอุจจาระ นำก้านพันสำลีปราศจากเชื้อในอาหารเลี้ยงเชื้อสำหรับ ขนส่ง ป้ายบนอาหารเลี้ยงเชื้อทั้ง 2 ชนิดตั้งกล่าว ทำการบ่มที่ 37 องศาเซลเซียส เป็นเวลา 24 ชั่วโมง หลังจากนั้นสั่งเกตลักษณะและนับจำนวนของโคโลนี การวินิจฉัยชนิดของจุลทรรศน์ใช้วิธีมาตรฐานตาม เทคนิคทางจุลชีววิทยา (Barrow and Feltham, 1993; Holt et al., 1994)

3.7 การหาเชื้อที่เกี่ยวข้องกับความรุนแรงต่อทางเดินปัสสาวะโดยปฏิกิริยาลูกลูซ์โพลิเมอร์เรสแบบมัลติเพลกซ์ (Multiplex polymerase chain reaction)

3.7.1 สายพันธุ์ของแบคทีเรียและการเพาะเลี้ยงแบคทีเรีย

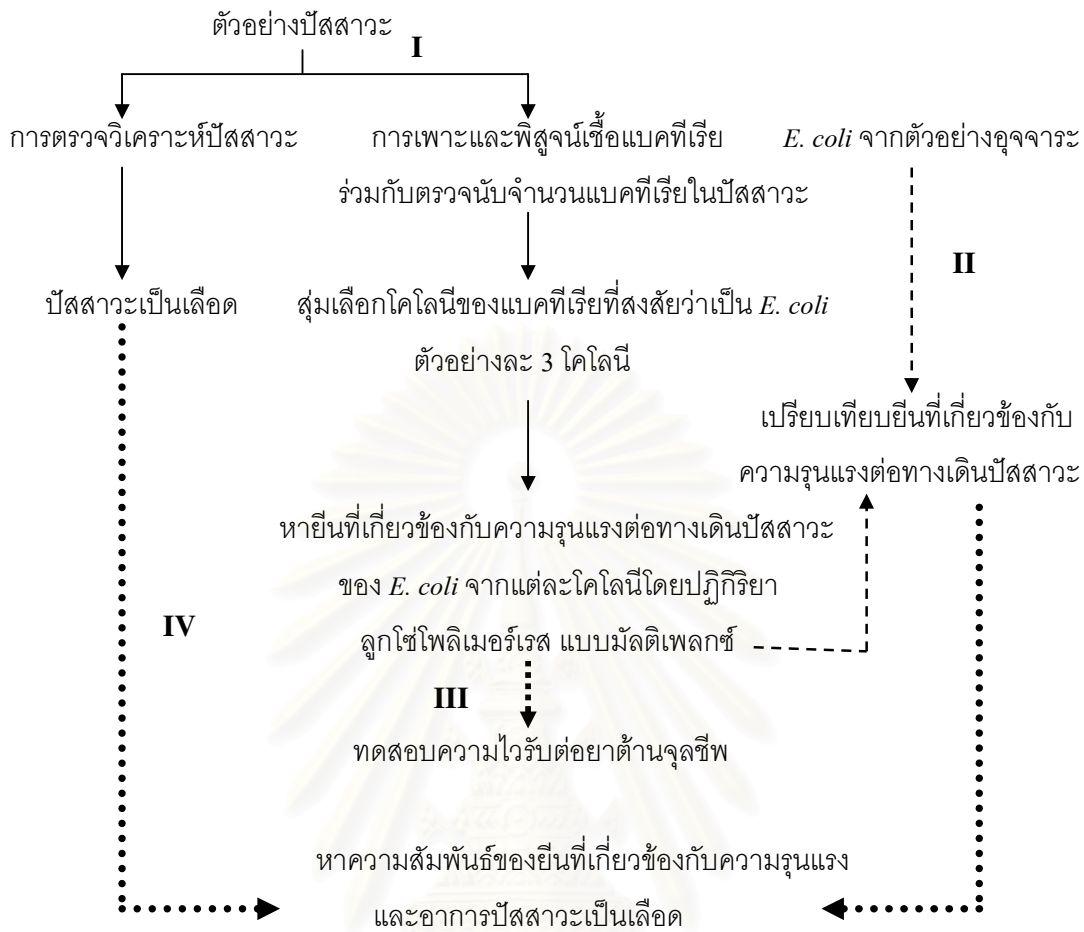
รวบรวมเชื้อ *E. coli* ที่แยกได้จากปัสสาวะของสุนัขที่มีการติดเชื้อทางเดินปัสสาวะ (แบคทีเรียกลุ่มทคลอง) และอุจจาระของสุนัขที่มีสุขภาพดีปกติ (แบคทีเรียกลุ่มควบคุม) ที่เข้ารับการตรวจหรือรักษา ณ โรงพยาบาลสัตว์เล็ก จุฬาลงกรณ์มหาวิทยาลัย ในช่วงเวลาที่ทำการศึกษาที่ผ่านการทำให้บริสุทธิ์ นำแบคทีเรียเหล่านี้มาเลี้ยงใน Luria-Bertani broth บ่มที่ 37 องศาเซลเซียส เป็นเวลา 18 ชั่วโมง (Le Bouguenec et al., 1992)

3.7.2 การเตรียม DNA ของแบคทีเรียจากโคลนีบันอาหารเลี้ยงเชื้อ

สกัด DNA ของแบคทีเรียทั้งหมด ออกจากส่วนของแบคทีเรียโดยการต้มอย่างรวดเร็ว (rapid boiling) โดยสูญเสียแก๊สที่ออกจากการต้ม 3 โคลนี (รูปที่ 4) จากนั้นทำการเพาะเชื้อแบคทีเรียจากแต่ละโคลนีลงใน Luria-Bertani broth และเก็บแบคทีเรียจาก 1 มิลลิตร ของ cultured broth ที่ข้ามคืนนำไปปั่นหัวอย่างที่ 14,000 รอบต่อนาที 5 นาที เทส่วนใสทึบเติม phosphate buffer saline (PBS) 1 มิลลิลิตร เขย่าให้เข้ากันเป็นเวลา 10 วินาที ปั่นหัวอย่างและเทส่วนใสทึบอีกครั้ง จากนั้นเติม 200 ไมโครลิตรของน้ำกลั่น (ultra pure water) นำไปต้มที่น้ำเดือด 100 องศาเซลเซียส นาน 10 นาที ทำการปั่นหัวอย่าง (5,500 รอบต่อนาที 10 นาที) เพื่อให้เศษเซลล์ตกตะกอน เก็บส่วนใสด้านบนของสารละลายที่มี DNA เก็บรักษาที่ -20 องศาเซลเซียส

3.7.3 ไพรเมอร์สำหรับปฏิกิริยาลูกลูซ์

การเลือกไพรเมอร์ที่ใช้จะเลือกจากลำดับเบสของยีนที่มีความจำเพาะและเป็นเอกลักษณ์ สำหรับเชื้อ *E. coli* ที่ต้องการตรวจสืบ ทำการศึกษานี้ยังเน้นที่การศึกษาหายีนที่เกี่ยวข้องกับความรุนแรงของการติดเชื้อทางเดินปัสสาวะ ดังนั้นยีนที่สนใจจะเป็นยีนที่เกี่ยวข้องกับความรุนแรงในการเกิดโรคเป็นส่วนใหญ่ ไพรเมอร์ที่จะใช้ในการศึกษาเลือกใช้ไพรเมอร์ที่มีลำดับเบสประมาณ 20-25 เบส และมีส่วนประกอบของ G+C ประมาณร้อยละ 50 เพื่อให้เหมาะสมกับปฏิกิริยาลูกลูซ์โพลิเมอร์เรสที่มีความจำเพาะในการศึกษาครั้งนี้ใช้ไพรเมอร์ที่เคยมีรายงานก่อนหน้า (Yamamoto et al., 1995) (ตารางที่ 6)



รูปที่ 4 แผนภูมิแสดงขั้นตอนการหาชนิดของยืนที่เกี่ยวข้องกับความรุนแรงต่อทางเดินปัสสาวะของ E. coli

หมายเหตุ: I; การตรวจวิเคราะห์ปัสสาวะ การเพาะและพิสูจน์เชื้อและตรวจนับจำนวนแบคทีเรียในปัสสาวะ II; เปรียบเทียบชนิดยืนที่เกี่ยวข้องกับความรุนแรงต่อทางเดินปัสสาวะของ E. coli ที่แยกจากปัสสาวะของสุนัขที่มีการติดเชื้อทางเดินปัสสาวะกับอุจจาระของสุนัขปกติ III; ทดสอบความไวรับของ UPEC ต่อยาต้านจุลชีพและ IV; หากความสัมพันธ์ของยืนที่เกี่ยวข้องกับความรุนแรงต่อทางเดินปัสสาวะของ UPEC และอาการปัสสาวะเป็นเลือด

ตารางที่ 6: แสดงชนิด ลำดับเบส และขนาดของ amplicons ซึ่งจำเพาะต่อปัจจัยที่เกี่ยวข้องกับความรุนแรงต่อทางเดินปัสสาวะของ UPEC

ปัจจัยที่เกี่ยวข้องกับความรุนแรง	ไพรเมอร์	ลำดับของ oligonucleotide	ขนาดของ amplicons
Pilus associated with pyelonephritis	pap3 pap4	5'-GCAACAGCAACGCTGGTGCATCAT-3' 5'-AGAGAGAGCCACTCTTATACGGACA-3'	336 bp
S fimbriae	sfa1 sfa2	5'-CTCCGGAGAACTGGGTGCATCTTAC-3' 5'-CGGAGGAGTAATTACAAACCTGGCA-3'	410 bp
Afrimrial adhesin I	afa1 afa2	5'-GCTGGGCAGCAAATGATAACTCTC-3' 5'-CATCAAGCTGTTGTTCGTCCGCCG-3'	750 bp
Hemolysin	hly1 hly2	5'-AACAAAGGATAAGCACTGTTCTGGCT-3' 5'-ACCATATAAGCGGTATTCCCGTCA-3'	1177 bp
Aerobactin	aer1 aer2	5'-TACCGGATTGTCATATGCAGACCGT-3' 5'-AATATCTCCTCCAGTCCGGAGAAG-3'	602 bp
Cytotoxic necrotizing factor I	cnf1 cnf2	5'-AAGATGGAGTTCCCTATGCAGGAG-3' 5'-CATTAGAGTCCTGCCCTCATTATT-3'	498 bp

ที่มา: Yamamoto และคณะ (1995)

3.7.4 การเพิ่มปริมาณสารพันธุกรรม

เตรียมสารให้มีปริมาณทั้งหมด 50 ไมโครลิตร ซึ่งประกอบด้วย DNA 5 ไมโครลิตร ซึ่งถูกแข็งไว้ที่อุณหภูมิ 90 องศาเซลเซียสเป็นเวลา 10 นาที เติมไพรเมอร์ pap3 และ 4 , sfa1 และ 2, afa1 และ 2, aer1 และ 2 และ cnf1 และ 2 ไพรเมอร์ละ 1 ไมโครลิตร (20 pmol); ไพรเมอร์ hly1 และ 2 ไพรเมอร์ละ 1.5 ไมโครลิตร (30 pmol); deoxynucleoside triphosphate (dNTPs) mixture 1.25 ไมโครลิตร (ประกอบด้วย 10 mM dATP, 10 mM dCTP, 10mM dTTP และ 10 mM dGTP) ตามด้วยสารละลายบัฟเฟอร์ 5 ไมโครลิตร (100mM Tris HCl, pH 8.8, 500 mM KCl, 15 mM MgCl₂, 1% Triton X-100), 50 mM MgCl₂ จำนวน 0.5 ไมโครลิตร, Taq DNA polymerase (Bioneer corporation) 0.5 ไมโครลิตร (1.5 unit) ทำการเพิ่มจำนวนสารพันธุกรรมด้วยปฏิกิริยาลูกลูกลิเมอร์เรส ตามลำดับขั้นตอน ดังนี้ ปัมที่ 94 องศาเซลเซียสเป็นเวลา 3 นาทีตามด้วย และขั้นตอน denaturation ที่ 94 องศาเซลเซียส 1 นาที ขั้นตอน annealing ที่ 63 องศาเซลเซียส 30 วินาที และขั้นตอน extension ที่ 72 องศาเซลเซียส เป็นเวลา 3 นาที ทั้งสิ้น 30 รอบและขั้นตอน extension รอบสุดท้ายอีก 7นาทีที่ 72 องศาเซลเซียส นำผลิตภัณฑ์ลูกลูกลิเมอร์เรสไปตรวจด้วย agarose gels electrophoresis ใน Tris borate buffer จำนวน 10 ไมโครลิตร มาวิเคราะห์ต่อด้วย 2% (w/v) agarose gels electrophoresis ใน Tris borate buffer

(0.04 M Tris borate, pH 8.0, 1 mM EDTA) มีการใช้ DNA ตัวควบคุมบวกและตัวควบคุมลบจากสายพันธุ์ที่รู้น้ำหนักไม่เดกุด จากนั้นนำไปย้อมด้วยสารละลาย ethidium bromide และส่องดูภายใต้ ultraviolet transilluminator (Yamamoto et al., 1995)

3.8 การทดสอบความไวรับต่อยาต้านจุลชีพ

3.8.1 การหาค่าความเข้มข้นต่ำสุดของยาต้านจุลชีพที่สามารถยับยั้งการเจริญเติบโตของแบคทีเรีย (Minimal inhibitory concentration, MIC)

ยาต้านจุลชีพที่ใช้ในการทดสอบเป็นยาที่นิยมใช้ในการรักษาการติดเชื้อทางเดินปัสสาวะในสุนัข ได้แก่ amikacin (Sigma, USA) (breakpoint ≥ 64 ไมโครกรัมต่อมิลลิลิตร), amoxicillin (Sigma, USA) (breakpoint ≥ 32 ไมโครกรัมต่อมิลลิลิตร), ampicillin (Sigma, USA) (breakpoint ≥ 32 ไมโครกรัมต่อมิลลิลิตร), cephazolin (Sigma, USA) (breakpoint ≥ 32 ไมโครกรัมต่อมิลลิลิตร), ceftriaxone (Sigma, USA) (breakpoint ≥ 64 ไมโครกรัมต่อมิลลิลิตร), doxycycline (Sigma, USA) (breakpoint ≥ 16 ไมโครกรัมต่อมิลลิลิตร), enrofloxacin (Fluka, USA) (breakpoint ≥ 2 ไมโครกรัมต่อมิลลิลิตร), gentamicin (Sigma, USA) (breakpoint ≥ 16 ไมโครกรัมต่อมิลลิลิตร), norfloxacin (Sigma, USA) (breakpoint ≥ 16 ไมโครกรัมต่อมิลลิลิตร) และ trimethoprim/sulphamethoxazole (Sigma, USA) (breakpoint $\geq 4/76$ ไมโครกรัมต่อมิลลิลิตร) ละลายน้ำที่ใช้ทำเป็น two-fold dilution การหาค่า MIC ทำโดยใช้วิธี agar dilution technique (NCCLS, 2007) ส่วนใหญ่จะใช้ความเข้มข้น 0.125-512 ไมโครกรัมต่อมิลลิลิตร (ตารางที่ 7) ยกเว้น trimethoprim/sulphamethoxazole ใช้ความเข้มข้น 0.06/1.184-16/0 ไมโครกรัมต่อมิลลิลิตร (ตารางที่ 8) เลือกโคลนีของแบคทีเรียที่มียีนที่เกี่ยวข้องกับความจุนแรงต่อทางเดินปัสสาวะและเชื้อควบคุมมาตรฐานจาก stock agar มาเพาะลงในอาหารเลี้ยงเชื้อ tryptic soy agar 1-2 ครั้งเพื่อทำให้บริสุทธิ์แล้วจึงเลือกโคลนีของแต่ละเชื้อที่มีลักษณะชอบเรียน 2-3 โคลนี มาเจือจางด้วยน้ำเกลือ 0.85% ปรับความชุ่นของสารแขวนลอยให้เท่ากับความชุ่น 0.5 McFarland ซึ่งมีเชื้อประมาณ 1×10^8 cfu/ml เจือจางในน้ำเกลือลงอีก 10 เท่าให้ได้ปริมาณเชื้อ 1×10^7 cfu/ml

เตรียม stock สารละลายของยาที่จะทดสอบโดยใช้ตัวทำละลายต่างๆ ที่เหมาะสมต่อชนิดของยาและความเข้มข้นของยาทำเป็น two-fold serial dilution (NCCLS, 2007) เก็บสารละลายที่อุณหภูมิ 4 องศาเซลเซียสไม่เกิน 72 ชั่วโมง หลังจากนั้นเตรียมอาหารเลี้ยงเชื้อ Muller Hinton agar ในหลอดแก้วฝาเกลี่ยวนหลอดละ 18 มิลลิลิตร ทำให้ให้ร้อนโดย autoclave (121 องศาเซลเซียส 15 นาทีความดัน psi) และทำให้เย็นลงโดยแช่ในหม้อต้มอุณหภูมิ 50 องศาเซลเซียส ดูด stock สารละลายของยาที่จะทดสอบแต่ละความเข้มข้นที่เตรียมไว้ลงในอาหารเลี้ยงเชื้อแต่ละหลอด หลอดละ 2 มิลลิลิตร ให้ได้ความเข้มข้นสุดท้ายของยาแต่ละชนิดตามที่กำหนด ผสมให้เข้ากันดีแล้วจึงเทลงในจานเพาะเชื้อตั้งบนพื้น

เรียบจนอาหารเลี้ยงเชื้อแข็ง อาหารเลี้ยงเชื้อที่มีความเข้มข้นต่างๆนี้ เตรียมไว้หนึ่งวันก่อนการทดสอบ

ถ่ายเชื้อแบคทีเรียที่ต้องการทดสอบ รวมทั้งเชื้อควบคุมมาตรฐานซึ่งวัดความชุ่นแล้วจากหลอดที่เตรียมไว้ข้างต้น ลงในหลอดแก้วสั้นสำหรับนำไปใส่ในหลุมของเครื่อง multipoint inoculator ซึ่งสามารถถ่ายเชื้อได้ครั้งละ 25 เชื้อ จากนั้นใช้ replicating device ที่มีลักษณะเป็นโลหะกลวงแท่งสั้นติดอยู่กับแท่นกลม จำนวน 25 แท่งเท่ากับหลอดแก้วสั้นที่เตรียมไว้จะลงในหลอดแก้วสั้นที่ใส่เชื้อแล้วทั้งหมด ยกขึ้นเบาๆ นำไปบนผิวของ Muller Hinton agar ซึ่งผสมยาความเข้มข้นต่างๆที่เตรียมไว้ จึงนำจานเพาะทั้งหมดปั่นที่ 37 องศาเซลเซียส ประมาณ 18-24 ชั่วโมง อ่านผลโดยเริ่มจากจานเพาะเชื้อที่มีความเข้มข้นต่ำสุดก่อน โดยดูว่าเชื้อเจริญเติบโตหรือไม่ ความเข้มข้นต่ำสุดของยาที่สามารถยับยั้งการเจริญเติบโตของเชื้อ คือ ค่า minimal inhibitory concentration (MIC) ของยาที่มีผลต่อเชื้อนั้น อ่านค่า MIC ของแต่ละเชื้อแล้วแปลงค่า MIC เป็นการต้านยาโดยใช้ตารางแปลงมาตรฐาน (NCCLS, 2007) แสดงการกระจายของข้อมูลโดยโปรแกรม WHONET 5.4 (O' Brien and Stelling, 2007) วิเคราะห์ผลโดยอ่านค่า MIC_{50} และ MIC_{90} (ความเข้มข้นต่ำสุดของยาที่สามารถยับยั้งการเจริญเติบโตของเชื้อได้ร้อยละ 50 และ 90 ตามลำดับ) เชื้อที่ต้านยามากกว่า 3 ชนิดขึ้นไปจัดเป็นเชื้อต้านยากหลายชนิด

สถาบันวิทยบริการ
จุฬาลงกรณ์มหาวิทยาลัย

ตารางที่ 7: แสดงขั้นตอนการเจือจากยาต้านจุลชีพที่ระดับความเข้มข้นต่าง ๆ

สารละลายน้ำยาต้านจุลชีพ			ปริมาณ	ตัวทำ	ความเข้มข้น	ความเข้มข้น
ขั้นตอน	ความเข้มข้น	ที่มา	ที่ใช้	ละลาย	กลาง	สุดท้ายเจือจาก
	(มคก.ต่อมล.)		(มล.)	(มล.)	(มคก.ต่อมล.)	Log, เลี้ยงเชื้อ
	5120	Stock	-	-	5120	512
						9
1	5120	Stock	2	2	2560	256
2	5120	Stock	1	3	1280	128
3	5120	Stock	1	7	640	64
4	640	Step 3	2	2	320	32
5	640	Step 3	1	3	160	16
6	640	Step 3	1	7	80	8
7	80	Step 6	2	2	40	4
8	80	Step 6	1	3	20	2
9	80	Step 6	1	7	10	1
10	10	Step 9	2	2	5	0.5
11	10	Step 9	1	3	2.5	0.25
12	10	Step 9	1	7	1.25	0.125

ที่มา: NCCLS, 2007

3.8.2 เชื้อควบคุมมาตรฐานสำหรับการทดสอบความไวรับต่อยาต้านจุลชีพ

ใช้แบคทีเรียควบคุมจาก American type culture collection (ATCC) แบคทีเรียสายพันธุ์อ้างอิงนี้จะมีขอบเขตการยับยั้งที่ได้ระบุไว้เป็นมาตรฐานแล้ว แบคทีเรียควบคุมที่ใช้ เช่น *E. coli* ATCC 25922, *S. aureus* ATCC 25923 และ *Pseudomonas aeruginosa* ATCC 27853

โดยเก็บใน stock agar เป็นเชื้อมาตรฐานที่จะตรวจสอบว่าอาหารเลี้ยงเชื้อที่ผ่านมาต้องมีความเข้มข้นถูกต้องหรือไม่ โดยเปรียบเทียบค่าความเข้มข้นต่ำสุดของยาแต่ละชนิดที่สามารถยับยั้งการเจริญของแบคทีเรียควบคุมกับค่าในตารางมาตรฐาน

ตารางที่ 8 แสดงขั้นตอนการเจือจางยา trimethoprim/sulfamethoxazole (1:19)

ขั้นตอน	สารละลายน้ำต้านจุลชีพ			ปริมาณที่ใช้		ตัวทำละลาย		ความเข้มข้นกลาง		ความเข้มข้นสุดท้ายเจือจาง 1:10 ในอาหารเลี้ยงเชื้อ (มคก.ต่อมล.)	
	ความเข้มข้น	ที่มา	(มล.)	(มล.)		(มคก.ต่อมล.)	Trimethoprim	Sulfamethoxazole	Trimethoprim	Sulfamethoxazole	
	Trimethoprim	Sulfamethoxazole									
1	1600	-	Stock	1	9	160	-	-	16	-	
2	-	6080	Stock	1	1	-	3040	-	-	304	
3	160	3040	1+2	1+1	-	80	1520	8	152		
4	160	3040	3	1	1	40	760	4	76		
5	160	3040	3	1	3	20	380	2	38		
6	160	3040	3	1	7	10	190	1	19		
7	20	380	6	1	1	5	95	0.5	9.5		
8	20	380	6	1	3	2.5	47.5	0.25	4.75		
9	20	380	6	1	7	1.25	23.75	0.125	2.375		
10	2.5	47.5	9	1	1	0.6	11.87	0.06	1.187		

ที่มา: NCCLS, 2007

3.9 การรวบรวมข้อมูลและการวิเคราะห์ทางสถิติ

ทำการรวบรวมข้อมูลต่างๆ ได้แก่ อายุ เพศ พันธุ์ อาการทางคลินิกของสูนขที่มีการติดเชื้อทางเดินปัสสาวะ ชนิดของแบคทีเรียที่ตรวจพบ ความไวรับของ *E. coli* ต่อยาต้านจุลชีพชนิดต่างๆ และยืนที่เกี่ยวข้องกับความรุนแรงของ *E. coli* ต่อทางเดินปัสสาวะจากนั้นนำไปวิเคราะห์ทางสถิติ

การวิเคราะห์สถิติเชิงพรรณนา เช่นความถี่ของการกระจายตัว ค่าเฉลี่ย และส่วนเบี่ยงเบนมาตรฐานมาใช้ในการคำนวณตัวแปร ความซุกของการติดเชื้อทางเดินปัสสาวะแสดงเปรียบเทียบระหว่าง อายุ เพศ พันธุ์ของสูนขที่มีการติดเชื้อทางเดินปัสสาวะ คำนวณค่า chi-square เพื่อนำมาหาชนิดของยืนที่เกี่ยวข้องกับความรุนแรงของเชื้อ *E. coli* ต่อทางเดินปัสสาวะและอาการปัสสาวะเป็นเลือด และใช้ Fisher's extract test หากมีข้อมูลมีจำนวนน้อย ทำการเปรียบเทียบอายุเฉลี่ย ผลการตรวจวิเคราะห์ปัสสาวะของสูนขที่ทำการศึกษาด้วย unpaired t-test โดยมีระดับความเชื่อมั่นที่ $p<0.05$

(Epi Info version 3.4.3)

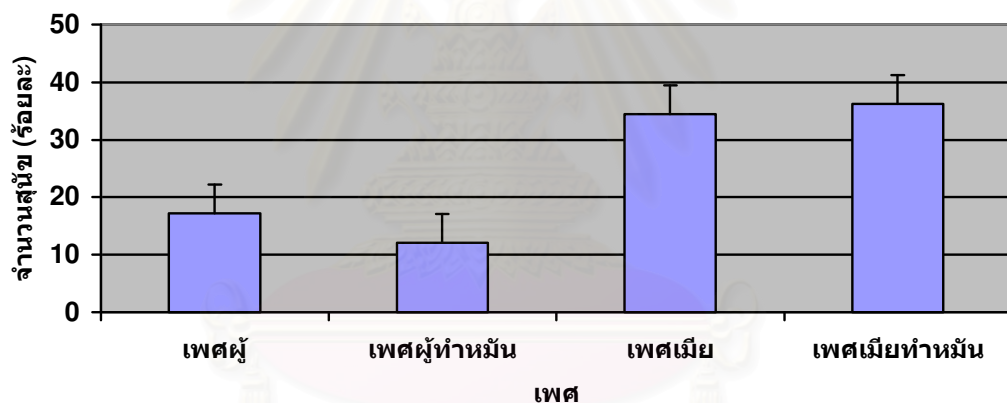
สถาบันวิทยบริการ
จุฬาลงกรณ์มหาวิทยาลัย

บทที่ 4

ผลการทดลอง

4.1 การติดเชื้อ *E. coli* ในทางเดินปัสสาวะ

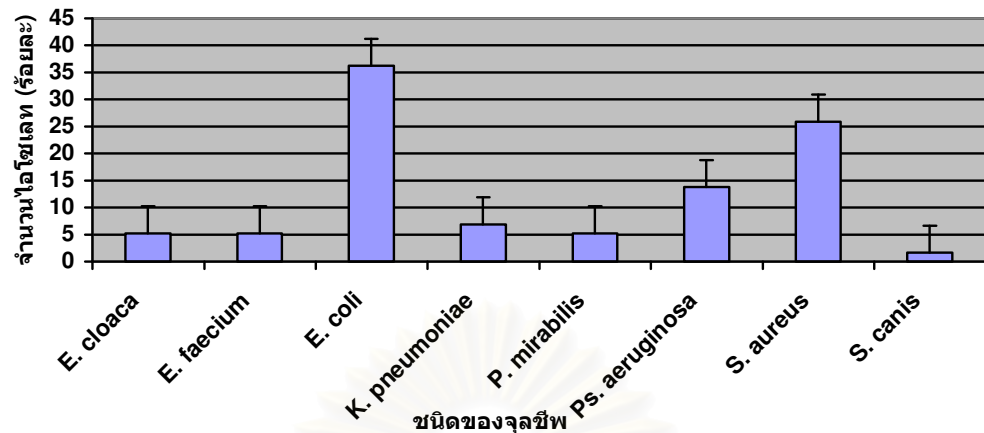
การศึกษาครั้งนี้ทำการเก็บตัวอย่างปัสสาวะ ตรวจวิเคราะห์ปัสสาวะ เพาะและพิสูจน์เชื้อแบคทีเรียร่วมกับการตรวจนับจำนวนแบคทีเรียในปัสสาวะของสุนัขที่เข้ารับการรักษาที่โรงพยาบาลสัตว์เล็ก คณะสัตวแพทยศาสตร์ จุฬาลงกรณ์มหาวิทยาลัย ที่แสดงอาการผิดปกติของทางเดินปัสสาวะ และได้รับการตรวจวินิจฉัยเบื้องต้นว่ามีการติดเชื้อทางเดินปัสสาวะ ระหว่างเดือนเมษายน พ.ศ. 2550 ถึงเดือนมกราคม พ.ศ. 2551 จำนวน 105 ตัว พบสุนัขที่มีการติดเชื้อแบคทีเรียในทางเดินปัสสาวะทั้งสิ้น 58 ตัว (ร้อยละ 55.2) แบ่งเป็นสุนัขเพศผู้ 17 ตัว (ร้อยละ 29.3) และเพศเมีย 41 ตัว (ร้อยละ 70.7) ตามลำดับ โดยพบแบคทีเรียตัวอย่างละ 1 ชนิด และไม่พบการติดเชื้อแบคทีเรียในทางเดินปัสสาวะของสุนัขกลุ่มควบคุม (รูปที่ 5)



รูปที่ 5 แสดงจำนวนสุนัข (ร้อยละ) ที่มีการติดเชื้อแบคทีเรียในทางเดินปัสสาวะ แยกตามเพศ

4.1.1 การเพาะเชื้อปัสสาวะ

การศึกษาครั้งนี้แยกเชื้อ *E. coli* จากปัสสาวะได้มากที่สุด (21/58, ร้อยละ 36.2) (รูปที่ 6) แบคทีเรียสายพันธุ์ที่พบมากที่สุดในทางเดินปัสสาวะของสุนัขเพศผู้ คือ *E. coli* รองลงมาได้แก่ *Ps. aeruginosa* และ *E. cloaca* ตามลำดับ ส่วนแบคทีเรียสายพันธุ์ที่พบมากที่สุดในทางเดินปัสสาวะของสุนัขเพศเมีย คือ *E. coli* รองลงมาได้แก่ *S. aureus* ขณะที่ *Ps. aeruginosa*, *K. pneumoniae* และ *P. mirabilis* พบรูปในจำนวนที่เท่ากัน เมื่อพิจารณาในกลุ่มที่มีการติดเชื้อแบคทีเรียในทางเดินปัสสาวะพบว่า สุนัขเพศเมียมีการติดเชื้อ *E. coli* และ *S. aureus* มากกว่าสุนัขเพศผู้ (ตารางที่ 9)



รูปที่ 6 แสดงชนิดและจำนวนไก่ไข้เลต (ร้อยละ) ของจุลชีพที่ทำให้เกิดการติดเชื้อแบคทีเรียในทางเดินปัสสาวะ

หมายเหตุ: *E. cloaca*; *Enterobacter cloaca*, *E. faecium*; *Enterococcus faecium*, *E. coli*; *Escherichia coli*, *K. pneumoniae*; *Klebsiella pneumoniae*, *P. mirabilis*; *Proteus mirabilis*, *Ps. aeruginosa*; *Pseudomonas aeruginosa*, *S. aureus*; *Staphylococcus aureus* และ *S. canis*; *Streptococcus canis*

ตารางที่ 9 แสดงค่า Odds ratio (OR), 95% confidence interval (CI) ชนิดและจำนวนไก่ไข้เลตของจุลชีพแยกตามเพศ

สายพันธุ์แบคทีเรีย	การติดเชื้อทางเดินปัสสาวะ		OR	95% CI		
	เพศเมีย					
	(n/N) (ร้อยละ)	(n/N) (ร้อยละ)				
<i>Escherichia coli</i>	15/41 (36.6)	6/17 (35.3)	1.06	0.28-4.05		
<i>Staphylococcus aureus</i>	14/41 (34.1)	1/17 (5.9)	8.30	0.96-184.92		
<i>Pseudomonas aeruginosa</i>	3/41 (7.3)	5/17 (29.4)	0.19	0.03-1.11		
<i>Klebsiella pneumoniae</i>	3/41 (7.3)	1/17 (5.9)	1.26	0.10-34.08		
<i>Proteus mirabilis</i>	3/41 (7.3)	0	Undefined	Undefined		
<i>Enterobacter cloaca</i>	1/41 (2.4)	2/17 (11.8)	0.19	0.01-2.96		
<i>Enterococcus faecium</i>	2/41 (4.9)	1/17 (5.9)	0.82	0.05-24.68		
<i>Streptococcus canis</i>	0	1/17 (5.9)	0.00	0.00-7.29		

หมายเหตุ: Undefined; ค่านวนไม่ได้, n; จำนวนสูนขจำแนกตามกลุ่ม และ N; จำนวนสูนขทั้งหมดในแต่ละกลุ่ม

4.1.2 การตรวจวิเคราะห์ปัสสาวะ

ทำการการตรวจวิเคราะห์ค่าชีวเคมีในปัสสาวะ ได้แก่ ค่าความเป็นกรด-ด่าง ความถ่วงจำเพาะ โปรตีน เลือด และอีโมโนโกลบินในปัสสาวะของสุนัขที่ทำการศึกษาพบว่า ค่าเฉลี่ยของความถ่วงจำเพาะ กลูโคส เลือดและอีโมโนโกลบินในปัสสาวะของสุนัขที่มีการติดเชื้อ *E. coli* ในทางเดินปัสสาวะมีความแตกต่างกับสุนัขที่ไม่มีการติดเชื้อ *E. coli* ในทางเดินปัสสาวะอย่างมีนัยสำคัญ ($p<0.05$) (ตารางที่ 10)

เมื่อทำการตรวจวิเคราะห์ต่างกันปัสสาวะเพื่อตรวจหาระดับเม็ดเลือดขาว และระดับเม็ดเลือดแดงในปัสสาวะของสุนัขพบว่า ระดับเม็ดเลือดขาวเฉลี่ยในปัสสาวะของสุนัขที่มีการติดเชื้อ *E. coli* ในทางเดินปัสสาวะสูงกว่าสุนัขที่ไม่มีการติดเชื้อ *E. coli* ในทางเดินปัสสาวะอย่างมีนัยสำคัญ ($p<0.01$) (ตารางที่ 10)

ตารางที่ 10 แสดงความแตกต่างของค่าเฉลี่ยของผลการตรวจวิเคราะห์ปัสสาวะของสุนัข

การตรวจวิเคราะห์ปัสสาวะ	การติดเชื้อทางเดินปัสสาวะ		t-test	P value
	ติดเชื้อ <i>E. coli</i>	ไม่ติดเชื้อ <i>E. coli</i>		
การตรวจทางชีวเคมี				
ค่าความเป็นกรด-ด่าง	6.62±0.59	6.88±0.77	1.45	0.14
ความถ่วงจำเพาะ	1.032±0.006	1.029±0.005	2.09*	0.03
โปรตีน (มคก.ต่อมมล.)	0.90±0.62	1.08±0.50	1.39	0.16
กลูโคส (มคก.ต่อมมล.)	0.38±1.20	0.01±0.11	2.80**	0.00
ระดับเม็ดเลือด (เม็ดเลือดแดงต่อมมล.)	2.28±1.55	1.06±1.61	3.14**	0.00
ระดับอีโมโนโกลบิน (เม็ดเลือดแดงต่อมมล.)	0.57±1.08	1.58±1.43	3.02**	0.00
การตรวจต่างกันปัสสาวะ				
ระดับเม็ดเลือดขาว	2.00±0.00	1.53±0.55	3.87**	0.00
ระดับเม็ดเลือดแดง	1.81±0.87	2.00±0.64	1.21	0.26

หมายเหตุ: *; มีความแตกต่างอย่างมีนัยสำคัญทางสถิติ $p<0.05$ และ ** มีความแตกต่างอย่างมีนัยสำคัญทางสถิติ $p<0.01$

4.1.3 อาการทางคลินิก

สูนขที่มีการติดเชื้อแบคทีเรียในทางเดินปัสสาวะ แสดงอาการผิดปกติของระบบทางเดินปัสสาวะ เช่น ปัสสาวะเป็นเลือด ปัสสาวะลำบาก ปัสสาวะกระบริดกระ proxym ปวดเบ่งปัสสาวะ ปัสสาวะไม่เป็นที่ ปัสสาวะมีกลิ่นเหม็นผิดปกติ และตรวจพบเชื้อในโกลบินในปัสสาวะ โดยสูนขที่ติดเชื้อแบคทีเรียในทางเดินปัสสาวะมักแสดงอาการผิดปกติร่วมกัน 3 อาการมากที่สุดจำนวน 22 ตัว (ร้อยละ 37.9) รองลงมาคือ แสดงอาการผิดปกติร่วมกัน 2 อาการ (ร้อยละ 36.2) และแสดงอาการผิดปกติร่วมกัน 4 อาการ (ร้อยละ 15.5) ตามลำดับ การศึกษาครั้งนี้พบว่าอาการผิดปกติทางคลินิกมีความสัมพันธ์กับการติดเชื้อแบคทีเรียในทางเดินปัสสาวะ โดยสูนขที่มีการติดเชื้อ *E. coli* ในทางเดินปัสสาวะแสดงอาการปัสสาวะเป็นเลือดอย่างมีนัยสำคัญ ($p<0.01$) (ตารางที่ 11)

ตารางที่ 11 แสดงค่า Odds ratio (OR), 95% confidence interval (CI) และอาการทางคลินิก แยกตามการติดเชื้อทางเดินปัสสาวะ

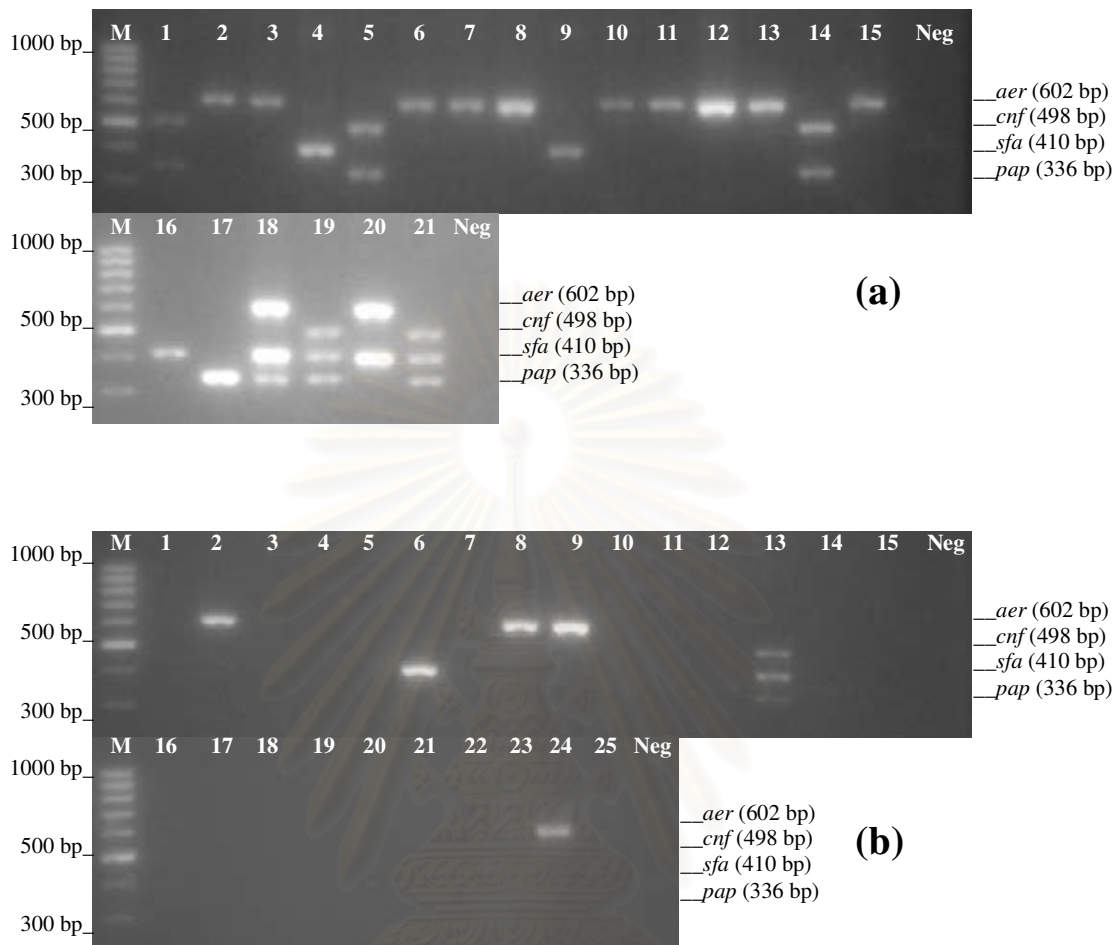
อาการผิดปกติของระบบทางเดินปัสสาวะ	การติดเชื้อทางเดินปัสสาวะ		OR	95% CI
	ติดเชื้อ <i>E. coli</i> (n/N) (ร้อยละ)	ไม่ติดเชื้อ <i>E. coli</i> (n/N) (ร้อยละ)		
ปัสสาวะเป็นเลือด	19/21 (90.5)	37/84 (44.0)	12.07**	2.46-80.28
ปัสสาวะลำบาก	9/21 (42.9)	63/84 (75.0)	0.25	0.08-0.75
ปัสสาวะกระบริดกระ proxym	6/21 (28.6)	54/84 (64.3)	0.22	0.07-0.70
ปวดเบ่งปัสสาวะ	6/21 (28.6)	51/84 (60.7)	0.26	0.08-0.81
ปัสสาวะไม่เป็นที่	4/21 (19)	25/84 (29.8)	0.56	0.14-2.01
ปัสสาวะมีกลิ่นเหม็นผิดปกติ	1/21 (4.8)	6/84 (7.1)	0.65	0.03-6.06
เชื้อในโกลบินในปัสสาวะ	0	6/84 (7.1)	0.00	0.00-3.83

หมายเหตุ: **; มีความแตกต่างอย่างมีนัยสำคัญทางสถิติ $p<0.01$, n; จำนวนสูนขแยกตามกลุ่ม และ N; จำนวนสูนขทั้งหมดในแต่ละกลุ่ม

4.2 ชนิดของยีนที่เกี่ยวข้องกับความรุนแรงต่อทางเดินปัสสาวะของ uropathogenic *E. coli* (UPEC)

ผลการศึกษาครั้งนี้สามารถเพาะและพิสูจน์เชื้อ UPEC จำนวน 21 ไอโซเลท (ร้อยละ 36.2) จากตัวอย่างปัสสาวะของสุนัขที่มีการติดเชื้อแบคทีเรียในทางเดินปัสสาวะ 58 ตัวอย่าง (รูปที่ 6) ทำการศึกษาหายีนที่เกี่ยวข้องกับความรุนแรงต่อทางเดินปัสสาวะของ *E. coli* ที่แยกได้จากปัสสาวะของสุนัขป่วยเบรี่ยบเทียบกับ *E. coli* ที่แยกได้จากอุจจาระของสุนัขปกติ (25 ไอโซเลท) ด้วยปฏิกิริยาฉุกเฉิญโลเมอร์เรสแบบมัลติเพลกซ์ (รูปที่ 7) พบร้า เชื้อ UPEC ทุกไอโซเลทที่แยกจากปัสสาวะของสุนัขที่มีการติดเชื้อทางเดินปัสสาวะ มียีนชนิดที่เกี่ยวข้องกับความรุนแรงต่อทางเดินปัสสาวะอย่างน้อย 1 ชนิด โดยพบยีน *aer* มากที่สุด (ร้อยละ 57.1) รองลงมาได้แก่ ยีน *pap* (ร้อยละ 33.3), *sfa* (ร้อยละ 33.3) และ *cnf* (ร้อยละ 23.8) ตามลำดับ ส่วนเชื้อ *E. coli* ที่แยกจากอุจจาระของสุนัขปกติ มีเพียง 6 ไอโซเลท ที่มียีนชนิดที่เกี่ยวข้องกับความรุนแรงต่อทางเดินปัสสาวะ โดยพบยีน *aer* มากที่สุด (ร้อยละ 16) รองลงมาได้แก่ ยีน *sfa* (ร้อยละ 8), *pap* (ร้อยละ 4) และ *cnf* (ร้อยละ 4) ตามลำดับ โดย *E. coli* ทั้ง 46 ไอโซเลทไม่มียีน *hly* และ *afa*

ชนิดของยีนที่เกี่ยวข้องกับความรุนแรงของ UPEC ที่พบมากที่สุดคือ ยีน *aer* (10 อัลลิล, ร้อยละ 47.6) อันดับถัดมาได้แก่ *sfa* (3 อัลลิล) และ *cnf/pap* (3 จีโนไทป์, ร้อยละ 14.3), *cnf/pap/sfa* (2 จีโนไทป์, ร้อยละ 9.5) ส่วน *pap*, *aer/sfa* และ *aer/pap/sfa* พบร้อยละ 4.8 ตามลำดับ เมื่อพิจารณาความสัมพันธ์ทางสถิติของชนิดต่างๆยีนที่เกี่ยวข้องกับความรุนแรงต่อทางเดินปัสสาวะของ *E. coli* กับการติดเชื้อ *E. coli* ในทางเดินปัสสาวะพบว่า ยีน *aer* มีจำนวนความถี่ของอัลลิลสูงและมีความสัมพันธ์กับการติดเชื้อ *E. coli* ในทางเดินปัสสาวะอย่างมีนัยสำคัญ ($p < 0.05$) (ตารางที่ 12) จากการศึกษาครั้งนี้พบว่า เชื้อ *E. coli* จำนวนหลายไอโซเลทมียีนที่เกี่ยวข้องกับความรุนแรงมากกว่า 1 ชนิด และมีบางยีนสามารถตรวจพบทั้งจาก UPEC และ *E. coli* ที่แยกจากอุจจาระของสุนัขปกติ เชื้อ *E. coli* ทั้งหมดที่ทำการศึกษาครั้งนี้มีความถี่ของจำนวนอัลลิลที่เกี่ยวข้องกับความรุนแรงต่อทางเดินปัสสาวะเพียง 1 ชนิดต่อไอโซเลทมากที่สุด (ตารางที่ 13)



รูปที่ 7 แสดงการวิเคราะห์ผลิตภัณฑ์ปฏิกิริยาลูกโซ่จากปฏิกิริยาลูกโซ่โพลิเมอร์เรสแบบมัลติเพลกซ์ด้วย gel electrophoresis (a) และ M คือ molecular weight marker (100 bp) และที่ 1 ถึง 21 คือ ตัวอย่าง DNA จากเชื้อ *E. coli* ที่แยกได้จากปัสสาวะของสุนัขที่มีการติดเชื้อทางเดินปัสสาวะ (ตัวอย่างที่ 1-21) และ Neg คือ กลุ่มควบคุมลบ และ (b) และ M คือ molecular weight marker (100 bp) และที่ 1 ถึง 25 คือ ตัวอย่าง DNA จากเชื้อ *E. coli* ที่แยกได้จากอุจจาระของสุนัขปกติ (ตัวอย่างที่ 1-25) และ Neg คือ กลุ่มควบคุมลบ

ตารางที่ 12 แสดงค่า Odds ratio (OR), 95% confidence interval (CI), ชนิดและความถี่ของยีนชนิดต่างๆ ที่เกี่ยวข้องกับความรุนแรงต่อทางเดินปัสสาวะของ *E. coli* ที่แยกจากสุนัขที่มีการติดเชื้อทางเดินปัสสาวะและจากอุจจาระของสุนัขปกติ

ลักษณะเจโนไทป์ที่เกี่ยวข้องกับความรุนแรงต่อทางเดินปัสสาวะ	ความถี่ของยีนที่ตรวจพบ		OR	95% CI
	ปัสสาวะ (n/N) (ร้อยละ)	อุจจาระ (n/N) (ร้อยละ)		
<i>aer</i>	10/21 (47.6)	4/25 (16.0)	4.77*	1.03-23.86
<i>pap</i>	1/21 (4.8)	0	Undefined	Undefined
<i>sfa</i>	3/21 (14.3)	1/25 (4.0)	4.00	0.32-108.94
<i>aer/ sfa</i>	1/21 (4.8)	0	Undefined	Undefined
<i>cnf/ pap</i>	3/21 (14.3)	0	Undefined	Undefined
<i>aer/ pap/ sfa</i>	2/21 (9.5)	0	Undefined	Undefined
<i>cnf/ pap/ sfa</i>	1/21 (4.8)	1/25 (4.0)	1.20	0.00-47.56

หมายเหตุ: *; มีความแตกต่างอย่างมีนัยสำคัญทางสถิติ $p<0.05$, Undefined; จำนวนไม่ได้, n; จำนวนสุนัขจำแนกตามกลุ่ม และ N; จำนวนสุนัขทั้งหมดในแต่ละกลุ่ม

ตารางที่ 13 แสดงค่า Odds ratio (OR), 95% confidence interval (CI) และจำนวนยีนที่ตรวจพบต่อไอโซเลทของ *E. coli* ที่แยกได้จากสุนัขที่มีการติดเชื้อทางเดินปัสสาวะและจากอุจจาระของสุนัขปกติ

จำนวนยีนที่เกี่ยวข้องกับความรุนแรงต่อไอโซเลท	จำนวนไอโซเลท		OR	95% CI
	ปัสสาวะ (n/N) (ร้อยละ)	อุจจาระ (n/N) (ร้อยละ)		
เจโนไทป์ ชนิด 3 ยีน	3/21 (14.3)	1/25 (4.0)	4	0.32-108.94
เจโนไทป์ ชนิด 2 ยีน	4/21 (19.0)	0	Undefined	Undefined
เจโนไทป์ ชนิด 1 ยีน	14/21 (66.7)	5/25 (20.0)	8**	1.78-39.03
0	0	19/25 (76.0)	0	0-0.10

หมายเหตุ: **; มีความแตกต่างอย่างมีนัยสำคัญทางสถิติ $p<0.01$, Undefined; จำนวนไม่ได้, n; จำนวนสุนัขจำแนกตามกลุ่ม และ N; จำนวนสุนัขทั้งหมดในแต่ละกลุ่ม

เมื่อทำการศึกษาหาความสัมพันธ์ของการตรวจวิเคราะห์ปัสสาวะ อาการทางคลินิกและยืนยันด้วยที่ตรวจพบ พบร้าไม่มีความแตกต่างของระดับเลือดและระดับเม็ดเลือดแดงเฉลี่ยในปัสสาวะ กับยืนยันด้วยที่ตรวจพบอย่างมีนัยสำคัญทางสถิติ (ตารางที่ 14) และพบว่ายืนยัน aer ความสัมพันธ์กับอาการปัสสาวะเป็นเลือด (ตารางที่ 15)

ตารางที่ 14 แสดงค่าเฉลี่ยของระดับเลือด ระดับเม็ดเลือดแดงในปัสสาวะและลักษณะจีโนไทป์ที่ตรวจพบในสุนัขที่มีการติดเชื้อ *E. coli* ในทางเดินปัสสาวะ

คุณลักษณะ	ลักษณะจีโนไทป์ที่ตรวจพบ						
	<i>aer</i>	<i>pap</i>	<i>sfa</i>	<i>aer/ sfa</i>	<i>cnf/ pap</i>	<i>aer/ pap/ sfa</i>	<i>cnf/ pap/ sfa</i>
	ระดับเลือด	1.90±1.45	4.00±0.00	2.00±2.00	1.00±0.00	2.33±2.08	3.00±0.00
ระดับเม็ดเลือดแดง	1.20±0.42	3.00±0.00	1.67±0.58	1.00±0.00	3.00±0.00	3.00±0.00	2.00±0.00

ตารางที่ 15 แสดงจำนวนลักษณะจีโนไทป์ที่เกี่ยวข้องกับความรุนแรงต่อทางเดินปัสสาวะ แยกตามอาการทางคลินิก

ลักษณะจีโนไทป์ที่เกี่ยวข้องกับความรุนแรงต่อทางเดินปัสสาวะ	อาการทางคลินิก	
	ปัสสาวะเป็นเลือด (n/N) (ร้อยละ)	ไม่พบเลือดในปัสสาวะ (n/N) (ร้อยละ)
<i>aer</i>	10/19 (52.6)	0
<i>pap</i>	1/19 (5.3)	0
<i>sfa</i>	2/19 (10.5)	½ (50.0)
<i>aer/ sfa</i>	0	½ (50.0)
<i>cnf/ pap</i>	3/19 (15.8)	0
<i>aer/ pap/ sfa</i>	1/19 (5.3)	0
<i>cnf/ pap/ sfa</i>	2/19 (10.5)	0

หมายเหตุ: n; จำนวนสุนัขจำแนกตามกลุ่ม และ N; จำนวนสุนัขทั้งหมดในแต่ละกลุ่ม

4.3 การทดสอบความไวรับต่อยาต้านจุลชีพ

ทดสอบความไวรับของ UPEC ในสูนซึ่มีการติดเชื้อทางเดินปัสสาวะ จำนวน 21 例 โภโซเลท และเชื้อมาตราฐานทั้ง 3 ชนิดต่อยาต้านจุลชีพ 10 ชนิดที่นิยมใช้ในการรักษาการติดเชื้อทางเดินปัสสาวะ ในโรงพยาบาลและคลินิกรักษาสัตว์ ได้แก่ amikacin, amoxicillin, ampicillin, cefazolin, ceftriaxone, doxycycline, enrofloxacin, gentamicin, norfloxacin และ trimethoprim/sulphamethoxazole ด้วยวิธี agar dilution technique พบร่วม ค่าความไวรับต่อยาต้านจุลชีพของเชื้อมาตราฐานทั้ง 3 ชนิดไม่เกินค่า MIC มาตราฐานแสดงให้เห็นว่าค่า MIC ของการศึกษาครั้งนี้อยู่ในเกณฑ์มาตรฐาน การทดสอบความไวรับต่อยาต้านจุลชีพของ UPEC แสดงผลค่า MIC₅₀, MIC₉₀ และช่วงความเข้มข้นของยาในการยับยั้งเชื้อ (ตารางที่ 16)

ตารางที่ 16 แสดงผลการทดสอบความไวรับของ UPEC ต่อยาต้านจุลชีพ 10 ชนิด

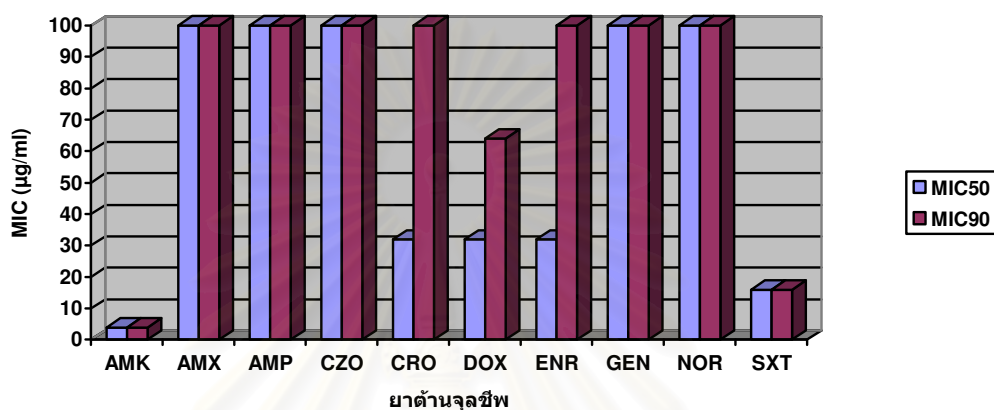
ยาต้านจุลชีพ	MIC (ไมโครกรัมต่อมิลลิตร)		
	MIC ₅₀	MIC ₉₀	MIC range
Amikacin	4	4	2-4
Amoxicillin	>512	>512	>512
Ampicillin	>512	>512	>512
Cefazolin	>512	>512	4->512
Ceftriaxone	32	256	≤0.125-512
Doxycycline	32	64	0.5-64
Enrofloxacin	32	128	≤0.125-128
Gentamicin	128	256	1-256
Norfloxacin	>512	>512	≤0.125->512
Trimethoprim/sulphamethoxazole	>16/0	>16/0	0.06/1.184->16/0

หมายเหตุ: MIC₅₀: ความเข้มข้นของยาต้านจุลชีพที่ยับยั้งการเจริญเติบโตของเชื้อจำนวน 50%

MIC₉₀: ความเข้มข้นของยาต้านจุลชีพที่ยับยั้งการเจริญเติบโตของเชื้อจำนวน 90%

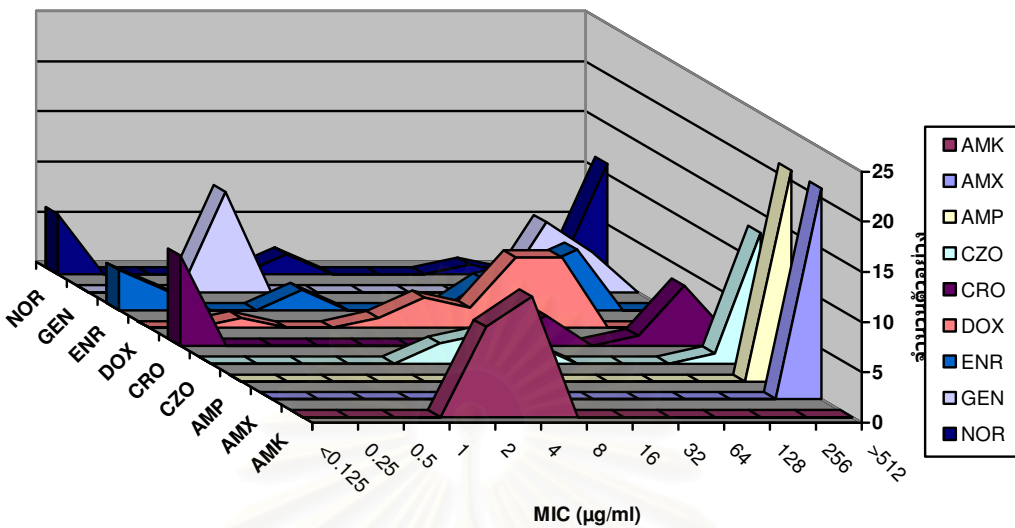
Amikacin มีค่า MIC₅₀ และ MIC₉₀ เท่ากับ 4 ไมโครกรัมต่อมิลลิตร ส่วน ceftriaxone มีค่า MIC₅₀ และ MIC₉₀ เท่ากับ 32 และ 256 ไมโครกรัมต่อมิลลิตร และเชื้อ UPEC ที่ใช้ในการศึกษาทุกตัวอย่างด้วยยาต้านจุลชีพที่เหลืออีก 8 ชนิด ค่า MIC₅₀ และ MIC₉₀ ของ amoxicillin, ampicillin, cefazolin และ norfloxacin มีค่าเท่ากันคือ >512 ไมโครกรัมต่อมิลลิตร เช่นเดียวกับ trimethoprim/sulphamethoxazole ที่มีค่า MIC₅₀ และ MIC₉₀ เท่ากับ >16/0 ไมโครกรัมต่อมิลลิตร ค่า

MIC_{50} และ MIC_{90} ของ doxycycline และ gentamicin มีค่าแตกต่างกันเพียง 2 เท่า โดย doxycycline มีค่า MIC_{50} และ MIC_{90} เท่ากับ 32 และ 64 ไมโครกรัมต่อมิลลิลิตร และ gentamicin มีค่า MIC_{50} และ MIC_{90} เท่ากับ 128 และ 256 ไมโครกรัมต่อมิลลิลิตร ตามลำดับ enrofloxacin มีค่า MIC_{50} และ MIC_{90} เท่ากับ 32 และ 128 ไมโครกรัมต่อมิลลิลิตรซึ่งมีค่าต่างกัน 4 เท่า ส่วน ceftriaxone มีค่า MIC_{50} และ MIC_{90} ต่างกัน 8 เท่า (32 และ 256 ไมโครกรัมต่อมิลลิลิตร) ตามลำดับ (อุปที่ 8)



รูปที่ 8 แสดงเปรียบเทียบค่า MIC_{50} และ MIC_{90} ของเชื้อ UPEC ที่แยกจากสุนัขที่มีการติดเชื้อทางเดินปัสสาวะจำนวน 21 ไอโซเลทต่ออยาต้านจุลชีพ 10 ชนิด หมายเหตุ: AMK; amikacin, AMX; amoxicillin, AMP; ampicillin, CZO; cefazolin, CRO; ceftriaxone, DOX; doxycycline, ENR; enrofloxacin, GEN; gentamicin และ NOR; norfloxacin และ SXT; trimethoprim/sulfamethoxazole

เมื่อพิจารณาการกระจายตัวค่า MIC ของ UPEC ที่แยกจากสุนัขที่มีการติดเชื้อทางเดินปัสสาวะต่ออยาต้านจุลชีพ 9 ชนิด (ค่า MIC ของ trimethoprim/sulphamethoxazole ไม่ได้แสดง) (อุปที่ 9) พบร่วมกันว่า UPEC ส่วนใหญ่มีค่า MIC มากกว่า 512 ไมโครกรัมต่อมิลลิลิตร ต่อ amoxicillin, ampicillin, cephazolin และ norfloxacin เมื่อศึกษาการกระจายตัวของค่า MIC ของยาต้านจุลชีพ 10 ชนิดต่อ UPEC ที่แยกจากสุนัขที่มีการติดเชื้อทางเดินปัสสาวะจำนวน 21 ไอโซเลท (ตารางที่ 17) พบร่วมกันว่าต้านจุลชีพที่มีค่า MIC ต่อ UPEC ส่วนใหญ่อยู่ในระดับ susceptible มากกว่าร้อยละ 90 คือ amikacin (ร้อยละ 100) ส่วน ceftriaxone มีค่า MIC ในระดับ susceptible เพียงร้อยละ 42.9 ระดับ intermediate ร้อยละ 19 ส่วนค่า MIC ของยาอื่น 8 ชนิดส่วนมากอยู่ในระดับ resistance ได้แก่ amoxicillin และ ampicillin (ร้อยละ 100), trimethoprim/sulfamethoxazole (ร้อยละ 81), doxycycline (ร้อยละ 76.2), enrofloxacin (ร้อยละ 71.4), cefazolin (ร้อยละ 66.7), norfloxacin (ร้อยละ 61.9) และ gentamicin (ร้อยละ 52.4) ตามลำดับ



รูปที่ 9 แสดงการกระจายตัวของค่า MIC ของ UPEC ต่อยาต้านจุลชีพ 9 ชนิด

หมายเหตุ: AMK; amikacin, AMX; amoxicillin, AMP; ampicillin, CZO; cefazolin, CRO; ceftriaxone, DOX; doxycycline, ENR; enrofloxacin, GEN; gentamicin และ NOR; norfloxacin

สถาบันวิทยบริการ
จุฬาลงกรณ์มหาวิทยาลัย

ตารางที่ 17 แสดงค่าความไวรับของ UPEC ต่อยาต้านจุลชีพ 10 ชนิด

ชนิดของยาต้านจุลชีพ	Uropathogenic <i>E. coli</i>		
	Resistance (ຮ້ອຍລະ)	Intermediate (ຮ້ອຍລະ)	Susceptible (ຮ້ອຍລະ)
Amikacin	0	0	100
(susceptible breakpoint $\leq 16 \mu\text{g/ml}$ resistance breakpoint $\geq 64 \mu\text{g/ml}$)			
Amoxicillin	100	0	0
(susceptible breakpoint $\leq 8 \mu\text{g/ml}$ resistance breakpoint $\geq 32 \mu\text{g/ml}$)			
Ampicillin	100	0	0
(susceptible breakpoint $\leq 8 \mu\text{g/ml}$ resistance breakpoint $\geq 32 \mu\text{g/ml}$)			
Cefazolin	66.7	9.5	23.8
(susceptible breakpoint $\leq 8 \mu\text{g/ml}$ resistance breakpoint $\geq 32 \mu\text{g/ml}$)			
Ceftriaxone	38.1	19	42.9
(susceptible breakpoint $\leq 8 \mu\text{g/ml}$ resistance breakpoint $\geq 64 \mu\text{g/ml}$)			
Doxycycline	76.2	14.3	9.5
(susceptible breakpoint $\leq 4 \mu\text{g/ml}$ resistance breakpoint $\geq 16 \mu\text{g/ml}$)			
Enrofloxacin	71.4	0	28.6
(susceptible breakpoint $\leq 0.25 \mu\text{g/ml}$ resistance breakpoint $\geq 2 \mu\text{g/ml}$)			
Gentamicin	52.4	0	47.6
(susceptible breakpoint $\leq 4 \mu\text{g/ml}$ resistance breakpoint $\geq 16 \mu\text{g/ml}$)			
Norfloxacin	61.9	0	38.1
(susceptible breakpoint $\leq 4 \mu\text{g/ml}$ resistance breakpoint $\geq 16 \mu\text{g/ml}$)			
Trimethoprim/sulfamethoxazole	81	0	19
(susceptible breakpoint $\leq 2/38 \mu\text{g/ml}$ resistance breakpoint $\geq 4/76 \mu\text{g/ml}$)			

ที่มา: NCCLS (2007) และ O'Brien and Stelling (2007)

บทที่ 5

สรุปผลการวิจัย อภิปรายผลและข้อเสนอแนะ

การศึกษาครั้งนี้พบการติดเชื้อ *E. coli* ในทางเดินปัสสาวะมากที่สุด (ร้อยละ 36.20) สอดคล้องกับรายงานก่อนหน้า (Norris et al., 2000; Ling et al., 2001; Seguin et al., 2003) รองลงมาได้แก่ *S. aureus* (ร้อยละ 25.86), *Ps. aeruginosa* (ร้อยละ 13.79), *K. pneumoniae* (ร้อยละ 6.90), *P. mirabilis*, *E. cloaca*, *E. faecium* (ร้อยละ 5.17) และ *S. canis* (ร้อยละ 1.72) ตามลำดับ ในสุนัขเพศเมียพบว่ามีการติดเชื้อ *E. coli* และ *S. aureus* ในทางเดินปัสสาวะ ขณะที่เพศผู้พบการติดเชื้อ *E. coli* และ *Ps. aeruginosa* ในทางเดินปัสสาวะตามลำดับ จากการศึกษาของ Ogeer-Gyles และคณะ (2006) พบการติดเชื้อ *Ps. aeruginosa* ในทางเดินปัสสาวะของสุนัขป่วยวิกฤตที่สอดท่อสวนปัสสาวะเป็นเวลานานถึงร้อยละ 33 เนื่องจาก *Ps. aeruginosa* เป็นแบคทีเรียชอบโอกาส การติดเชื้อ *Ps. aeruginosa* ในทางเดินปัสสาวะอาจเกิดจากการติดเชื้อจากโรงพยาบาล (nosocomial infection) ผ่านทางท่อสวนปัสสาวะโดยเฉพาะสัตว์ป่วยที่มีการค่าท่อสวนปัสสาวะเป็นเวลานาน ระยะเวลาที่สัตวแพทย์ค่าท่อสวนปัสสาวะเป็นปัจจัยเสี่ยงสำคัญในการติดเชื้อทางเดินปัสสาวะ การค่าท่อสวนปัสสาวะที่เหมาะสมในสัตว์ป่วยไม่ควรสอดท่อนานเกิน 3 วัน (Smarick et al., 2004)

เมื่อพิจารณาการติดเชื้อ *E. coli* ในทางเดินปัสสาวะพบว่า สุนัขเพศเมียมีการติดเชื้อ *E. coli* ในทางเดินปัสสาวะมากกว่าสุนัขเพศผู้ สุนัขเพศเมียที่ได้รับการทำหมันเป็นกลุ่มที่มีความเสี่ยงในการติดเชื้อ *E. coli* ในทางเดินปัสสาวะสูงกว่าสุนัขกลุ่มอื่นถึง 3.58 เท่า (ร้อยละ 47.6, OR เท่ากับ 3.58, 95% CI เท่ากับ 1.17-11.06) สอดคล้องกับการศึกษาของ Bartges (2005) ที่กล่าวว่า การติดเชื้อแบคทีเรียในทางเดินปัสสาวะมักพบในสุนัขเพศเมีย การศึกษาของ Seguin และคณะ (2003) พบว่า สุนัขเพศเมียมีโอกาสติดเชื้อแบคทีเรียในทางเดินปัสสาวะมากกว่าเพศผู้ เนื่องจากลักษณะทางกายวิภาคของทางเดินปัสสาวะในเพศเมียที่มีท่อปัสสาวะสั้น รวมทั้งผลของการหินในทางเดินปัสสาวะและคุณสมบัติต้านจุลชีพของต่อมลูกหมากร่วมด้วย ซอร์โมนอีสโตรเจนกระตุ้นการสร้าง GAGs ส่วนซอร์โมนโปรเจสเทอโรนของเพศเมียมีผลต่อการหลังสาร GAGSs ที่เยื่อบุทางเดินปัสสาวะ

การศึกษาครั้งนี้พบว่าสุนัขที่มีการติดเชื้อ *E. coli* ในทางเดินปัสสาวะมีค่าความถ่วงจำเพาะของปัสสาวะ (1.032 ± 0.006) สูงกว่ากลุ่มที่ไม่มีการติดเชื้อ *E. coli* ในทางเดินปัสสาวะ (1.029 ± 0.005) อาจเนื่องจากการมีเซลล์เม็ดเลือดขาว เซลล์เม็ดเลือดแดงและกลูโคสในปัสสาวะในปริมาณมากกว่าปกติ (Reine and Langston, 2005) ซึ่งค่าความถ่วงจำเพาะในการศึกษาครั้งนี้ใกล้เคียงกับการศึกษาของ Seguin และคณะ (2003) ที่พบว่าความถ่วงจำเพาะของปัสสาวะของสุนัขที่มีการติดเชื้อทางเดินปัสสาวะมักมีค่าอยู่ระหว่าง 1.005-1.053 แต่มากกว่าร้อยละ 75 ของสุนัขป่วยมีค่าความถ่วงจำเพาะ

<1.030 การพบระดับเม็ดเลือดขาวสูงขึ้นมากกว่าปกติ (ระดับปกติ 0-5 เซลล์ต่อ hpf; ระดับ 1) จากการตรวจตะกอนปัสสาวะบ่งชี้ถึงภาวะการอักเสบของทางเดินปัสสาวะ แต่หากพบเม็ดเลือดขาวสูงมากควรทำการเพาะเชื้อจากปัสสาวะเพื่อทำการตรวจวินิจฉัยการติดเชื้อแบคทีเรียในทางเดินปัสสาวะโดยเฉพาะสุนัขที่แสดงอาการปวดเบ่งปัสสาวะ ปัสสาวะกระปริดกระปรอย และปัสสาวะเป็นเลือดร่วมด้วย (Reine and Langston, 2005) อย่างไรก็ตามการตรวจไม่พบเม็ดเลือดขาวจากการตรวจตะกอนปัสสาวะยังไม่สามารถวินิจฉัยแยกการติดเชื้อทางเดินปัสสาวะออกจากสุนัขป่วยได้ เนื่องจากอาจตรวจพบแบคทีเรียในปัสสาวะแต่ไม่พบเม็ดเลือดขาวในปัสสาวะ (asymptomatic bacteriuria) ในสัตว์ที่ได้รับการรักษาด้วยสารกลุ่ม glucocorticoid หรือสัตว์ป่วยด้วยภาวะภูมิคุ้มกันถูกกดและสัตว์ที่อยู่ในภาวะ hyperadrenocorticism (Dunning and Stonehewer, 2002)

สุนัขที่มีการติดเชื้อทางเดินปัสสาวะอาจแสดงหรือไม่แสดงอาการผิดปกติทางคลินิก อาการทางคลินิกที่สัตว์ป่วยแสดงออกจะเป็นอยู่กับปริมาณและความรุนแรงของจุลชีพ ปัจจัยโน้มนำระยะเวลาที่ติดเชื้อ รวมถึงตำแหน่งที่เกิดการติดเชื้อ อาการทางคลินิกของสัตว์ป่วยที่มีการติดเชื้อทางเดินปัสสาวะที่แสดงออกจากการศึกษาครั้งนี้ ได้แก่ ปัสสาวะเป็นเลือด ปวดเบ่งปัสสาวะ ปัสสาวะลำบาก ปัสสาวะกระปริดกระปรอย ปัสสาวะไม่เป็นที่ และ/หรือ ปัสสาวะมีกลิ่นเหม็นผิดปกติ Seguin และคณะ (2003) พบว่าสุนัขป่วยมากกว่าร้อยละ 50 ที่มีการติดเชื้อกลับและการติดเชื้อข้ามไม่แสดงอาการทางคลินิกของการติดเชื้อทางเดินปัสสาวะ ดังนั้นการซักประวัติจึงเป็นสิ่งสำคัญในการตรวจวินิจฉัยโรคนี้ ผลการศึกษาในครั้นนี้พบว่าสุนัขที่มีการติดเชื้อ *E. coli* ในทางเดินปัสสาวะมักแสดงอาการปัสสาวะเป็นเลือดสอดคล้องกับผลการตรวจวิเคราะห์ปัสสาวะที่พบว่าปัสสาวะของสุนัขที่มีการติดเชื้อ *E. coli* ในทางเดินปัสสาวะมีระดับเลือดในปัสสาวะสูงกว่าสุนัขที่ไม่มีการติดเชื้อ *E. coli* ในทางเดินปัสสาวะอย่างมีนัยสำคัญทางสถิติ นอกจากการติดเชื้อทางเดินปัสสาวะแล้วอาการปัสสาวะเป็นเลือดอาจเกิดได้จากสาเหตุอื่น เช่น สุนัขที่มีปัญหาการบีบตัวของกระเพาะปัสสาวะ การศึกษาของ Stiffler และคณะ (2006) พบว่า สุนัขที่มีปัญหา intervertebral disc extrusion ร่วมกับการติดเชื้อแบคทีเรียในทางเดินปัสสาวะ มักแสดงอาการปัสสาวะเป็นเลือด และไม่สามารถปัสสาวะเองได้

จากการศึกษาครั้งนี้เชื้อ UPEC ทั้ง 21 ไอโซเลทมียืนที่เกี่ยวข้องกับความรุนแรงต่อทางเดินปัสสาวะอย่างน้อย 1 ชนิด ความถี่ในการพบยืนต่อไอโซเลทพบยืนเพียง 1 ยืนมากที่สุด (ร้อยละ 66.7) รองลงมาคือ จีโนไทป์ที่มี 2 และ 3 ยืนร่วมกันต่อหนึ่งไอโซเลท (ร้อยละ 19.0 และร้อยละ 14.3) ตามลำดับ การศึกษาครั้งนี้พบความถี่จากการติดเชื้อทางเดินปัสสาวะของ *aer* (ร้อยละ 47.6) สูงกว่าการศึกษาของ Feria และคณะ (2001) ที่ทำการศึกษาหายืนที่เกี่ยวข้องกับความรุนแรงต่อทางเดินปัสสาวะของ UPEC และ hemolytic *E. coli* ที่แยกจากปัสสาวะของสุนัขและแมวที่มีการติดเชื้อทางเดินปัสสาวะพบว่า UPEC ที่แยกจากกลุ่มสุนัขที่มีการติดเชื้อทางเดินปัสสาวะพบยืน *rfa* ร้อยละ 57, *pap* ร้อยละ 43 และ *aer* ร้อย

ละ 34 ตามลำดับ ส่วนในกลุ่ม hemolytic *E. coli* จำนวน 55 ตัวอย่าง พบจีโนไทป์ *pap/ sfa* และ *hly/ cnf* ร้อยละ 62.5 และพบยืน *aer* เพียงร้อยละ 18.75 จำนวนชนิดของยืนที่พบต่อไอโซเลทเป็นแบบชนิด 1 ยืนต่อไอโซเลทร้อยละ 36.76 และจีโนไทป์ที่ประกอบด้วย 4 ยืนต่อไอโซเลทร้อยละ 25 และพบ F 10 *papA* มากที่สุด (ร้อยละ 39) อันดับถัดมาได้แก่ *F15* (ร้อยละ 37) และ *F12* (ร้อยละ 35) ตามลำดับ ขณะที่ Johnson และคณะ (2003) พบยืน *aer* ร้อยละ 27 ส่วน *papA* พบชนิด *F12* ร้อยละ 17 และ *F10* ร้อยละ 15 ตามลำดับจาก UPEC ที่แยกจากสูนซึ่งมีการติดเชื้อทางเดินปัสสาวะ ซึ่งการพบ F antigen-specific *papA* อัลลิสหายาชนิดร่วมกัน เนื่องจากความแตกต่างของอัลลิส *papA* ในแต่ละสายพันธุ์ (Feria et al., 2001) Johnson และคณะ (2000b) กล่าวว่า antigenic diversity ของพิมเบรีย พี จำแนกตาม ลักษณะของลำดับเปปไทด์ของ *papA* ซึ่งเป็นโครงสร้างหลักของพิมเบรีย พี ปัจจุบันจำแนกได้ 11 ชนิด ประกอบด้วย *F7-1*, *F7-2* และ *F8-F16* Drazenovich และคณะ (2004) รายงานการพบความซุกของยืน *aer* (ร้อยละ 30) และ *pap* (ร้อยละ 28) ในปัสสาวะของสูนซึ่งมีการติดเชื้อ *E. coli* โดยพบยืน *aer* เพียง ชนิดเดียวต่อไอโซเลท ขณะที่ยืน *pap* มักพบร่วมกับจีโนไทป์ *cnf*, *hly* และ *sfa*

การศึกษาครั้งนี้พบความสมมพน์ของการตรวจพบยืน *aer* กับการติดเชื้อ *E. coli* ในทางเดินปัสสาวะ การพบความถี่ของยืน *aer* สูง ในการศึกษาครั้งนี้ปัจจุบันความสำคัญของยืน *aer* ในการอยู่รอดของ *E. coli* ในเซลล์ไฮสต์ โดยส่วนของแครโบทินอาจอยู่ในพลาสมิดหรือโคโรโนโซมของแบคทีเรีย ยืน *aer* เป็นส่วนที่เกี่ยวข้องกับการจับธาตุเหล็ก ช่วยในการขนส่งและเก็บออกซิเจน การสังเคราะห์สารพันธุกรรมและการเจริญของแบคทีเรีย โดยแครโบทินจะสกัด Fe^{3+} จากโปรตีนที่จับธาตุเหล็กจากเซลล์ไฮสต์และนำเข้าเซลล์แบคทีเรียผ่านทางโปรตีนตัวรับที่ผิวเยื่อหุ้มเซลล์ การสังเคราะห์แครโบทินถูกควบคุมโดยระดับความเข้มข้นของธาตุเหล็กภายในเซลล์ผ่านทาง *fur* (ferric uptake regulation) เมื่อระดับธาตุเหล็กมีระดับสูงเพียงพอ *fur* repressor จะจับกับ iron box บริเวณ promoter ของแครโบทิน โอบเพอร์จอนยับยั้งขบวนการ transcription แต่เมื่อระดับธาตุเหล็กภายในเซลล์ไม่เพียงพอ *fur* repressor จะหลุดจากบริเวณ promoter ทำให้เกิดขบวนการ transcription (Johnson, 1991) ยืน *sfa* และจีโนไทป์ *cnf/ pap* พบมากเป็นอันดับ 2 (ร้อยละ 14.3) ซึ่งยืน *pap* และ *sfa* มีหน้าที่ในการยึดเกาะกับเซลล์ไฮสต์ เป็นขั้นตอนแรกในกระบวนการก่อโรค ป้องกันการระลั่งจากของเหลวของร่างกาย โดยยืน *pap* (พิมเบรีย พี) เป็นส่วนสำคัญในการยึดเกาะกับเซลล์ไฮสต์ หน่วยงานให้เกิด lipopolysaccharide independent transmembrane signaling ทำให้มีการสร้าง IL-6 และ IL-8 เกิดกระบวนการอักเสบเฉพาะที่ตามมา ส่วนพิมเบรีย เอส (*sfa*) มีความสามารถจับกับเยื่อบุทางเดินปัสสาวะและเซลล์เยื่อบุหนังหลอดเลือดในส่วนทางเดินปัสสาวะส่วนล่างและไตเป็นอย่างดี (Emody et al., 2003) ตัวรับที่จำเพาะกับ *papG* allele III คือ Forssman antigen ซึ่งพบมากบนเยื่อหุ้มเซลล์เม็ดเลือดแดงของมนุษย์ สุกร แกะ และสุนารวมทั้งเยื่อบุทางเดินปัสสาวะและขั้นกล้ามเนื้อของกระเพาะ

ปัสสาวะของสุนัข เนื่องจากพิมเบรีย พี มีความสำคัญในการติดเชื้อ กระตุ้นกระบวนการอักเสบ เฉพาะที่และทำให้เกิดการติดเชื้อที่ໄต จึงมีแนวคิดในการผลิต receptor analogs หรือการกระตุ้นการสร้าง antifimbrial immunity โดยวัคซีนชนิด homologous fimbriae ซึ่งอาจมีส่วนป้องกันการติดเชื้อด้านบนจากแบคทีเรียที่อาศัยส่วนของพิมเบรีย พี ในการก่อโรค (Johnson, 1991) Johnson และคณะ (2000a) กล่าวว่า *papG allele III* มีความจำเพาะกับการเกิดกระเพาะปัสสาวะอักเสบในผู้ป่วยและสุนัข ที่มีการติดเชื้อทางเดินปัสสาวะ และลำดับของ *papG* ของ *E. coli* ที่แยกจากผู้ป่วยและสุนัขที่มีการติดเชื้อทางเดินปัสสาวะมีความคล้ายกันสูงทำให้เชื่อว่า *papG allele III* ของ *E. coli* สามารถก่อให้เกิดการติดเชื้อทางเดินปัสสาวะในสุนัขและผู้ป่วยได้ ผู้ป่วยที่มีการติดเชื้อ UPEC ในทางเดินปัสสาวะและurosepsis มักพบการแสดงออกร่วมกันของแอกโกรแบคตินและพิมเบรีย พี โดยเฉพาะ *papG allele II* และ chromosomal aerobactin (Johnson, 1998) สอดคล้องกับ Moreno และคณะ (2005) ที่ตรวจพบ *papG allele II* สูงอย่างมีนัยสำคัญในผู้ป่วยด้วยภาวะ pyelonephritis และ urinary bacteremia ส่วนยีน *cnf* เป็นสารพิษทำลายเซลล์ที่พบได้ใน uropathogenic และ enteropathogenic *E. coli* จากการศึกษาของ Landraud และคณะ (2000) พบว่า เชื้อ UPEC ที่แยกจากผู้ป่วยที่มีการติดเชื้อทางเดินปัสสาวะจากโรงพยาบาล ร้อยละ 30 จะมีการแสดงออกของยีน *cnf* และ *hly* ร่วมกันซึ่งเป็นกลไกสำคัญในการก่อโรคของ UPEC ในผู้ป่วย การศึกษาครั้นี้พบ UPEC ที่มีจำนวนยีนต่อไอโซเลทมากที่สุดคือ 3 ยีนสอดคล้องกับการศึกษาของ Chen และคณะ (2003) ที่กล่าวว่าพบจำนวนยีนที่เกี่ยวข้องกับความรุนแรงต่อทางเดินปัสสาวะอย่างน้อย 3 ยีนในการเพิ่มความรุนแรงในการก่อโรคในทางเดินปัสสาวะของสุนัข

จากการศึกษาครั้นี้พบว่า yīn *cnf* มักพบร่วมกับ *pap/ sfa* โดยที่ไม่พบ *cnf* เพียงยีนเดียวเนื่องจากการพบ yīn *cnf* น่าจะมีได้ทำให้การติดเชื้อทางเดินปัสสาวะรุนแรงขึ้นเมื่อเปรียบเทียบกับการพบ yīn ไลซินหรือพิมเบรีย พี แต่คาดว่าการกระตุ้น Rho GTP-binding protein และการเหนี่ยวนำ phagocytic-like response ในเซลล์เยื่อบุทางเดินปัสสาวะของ *cnf* จะช่วยการในแบ่งตัวของแบคทีเรียในเซลล์เยื่อบุทางเดินปัสสาวะและป้องกันการตอบสนองทางภูมิคุ้มกันเป็นการเพิ่มการอุ่นรอดของแบคทีเรียในเซลล์ไซส์ (Landraud et al., 2000) เชื้อ UPEC ที่ได้จากการศึกษาครั้นี้มีทั้ง yīn *cnf* (สารพิษ) และ *pap* และ *sfa* (การยึดเกาะ) คล้ายกับ UPEC สายพันธุ์ที่ก่อให้เกิดการติดเชื้อทางเดินปัสสาวะในผู้ป่วย ทำให้เชื่อว่า yīn ดังกล่าวจะมีผลต่อพยาธิกำเนิดของการเกิดการติดเชื้อทางเดินปัสสาวะ (Yuri et al., 1998)

การศึกษาครั้งนี้ไม่พบความแตกต่างของระดับเลือดและระดับเม็ดเลือดแดงเฉลี่ยในปัสสาวะกับชนิดของยีนที่เกี่ยวข้องกับความรุนแรงต่อทางเดินปัสสาวะ การพบเลือดในปัสสาวะนอกจากจะเกิดจากการติดเชื้อ อาจเกิดเนื่องจากสาเหตุอื่นๆ เช่น การมีน้ำในทางเดินปัสสาวะ การออกกำลังกาย การรักษา ก่อนหน้า เช่น การได้รับยา non-steroidal anti-inflammatory drugs (NSAIDs), trimethoprim-sulfamethoxazole หรือ cyclophosphamide อาการปัสสาวะเป็นเลือดอาจแบ่งตามตำแหน่งรอยโรคได้แก่ glomerular เช่น membranoproliferative glomerulonephritis, IgA nephropathy และ nonglomerular เช่น renal cell carcinoma, benign prostatic hyperplasia (Osborne and Lees, 1995) เนื่องจากบริเวณระบบทางเดินปัสสาวะและท่อปัสสาวะส่วนต้นเป็นบริเวณปลอกดึง เช่น นักวิจัยจึงหาคำอธิบายถึงแหล่งที่มาของ UPEC โดย Johnson และคณะ (2003) กล่าวว่าแหล่งที่มาของ UPEC ที่แยกได้จากปัสสาวะอาจมาจากทางเดินอาหาร และมีการเพิ่มความรุนแรงภายในตัวแบคทีเรีย (special pathogenicity hypothesis) เนื่องจากเมื่อเปรียบเทียบยีนที่เกี่ยวข้องกับความรุนแรงต่อทางเดินปัสสาวะของ *E. coli* จากปัสสาวะและอุจจาระของสุนัขที่มีการติดเชื้อทางเดินปัสสาวะพบว่า *E. coli* ที่แยกจากปัสสาวะมียีนที่เกี่ยวข้องกับความรุนแรงต่อทางเดินปัสสาวะมากกว่า *E. coli* ที่แยกจากอุจจาระจากสุนัขตัวเดียวกัน ขณะที่ *E. coli* ที่แยกจากอุจจาระของสุนัขปกติ มียีนที่เกี่ยวข้องกับความรุนแรงต่อทางเดินปัสสาวะน้อยกว่า

จากการวิเคราะห์ค่าความไวรับของ *E. coli* ต่อยาต้านจุลชีพ 10 ชนิดที่ทำการศึกษาพบว่า UPEC มีความไวต่อ amikacin มาตรฐานที่สุด (ร้อยละ 100) และดีอ่อนต่อ amoxicillin และ ampicillin มาตรฐานที่สุด (ร้อยละ 100) เช่นเดียวกัน UPEC มีการดีอ่อนต่อ enrofloxacin และ norfloxacin (ร้อยละ 71.4 และ 61.9 ตามลำดับ) ขณะที่การศึกษาของ Oluoch และคณะ (2001) ที่ทำการศึกษาเชื้อ *E. coli* ที่ไม่ได้แยกจากทางเดินอาหาร (nonenteric) ของสุนัขพบว่า เชื้อ *E. coli* มีความไวต่อ amikacin, enrofloxacin, gentamicin และ norfloxacin มาตรฐานที่สุด (ความไวมากกว่าร้อยละ 85) และมีความไวรับต่อ amoxicillin, ampicillin และ cephalothin ต่ำที่สุด (ความไวน้อยกว่าร้อยละ 64) Ogeer-Gyles และคณะ (2006) พบว่า UPEC ของสุนัขที่คาดว่าเป็นเชื้อต่อส่วนปัสสาวะ ดีอ่อนต่อยาคลุ่ม quinolone ร้อยละ 25 ขณะที่ดีอ่อนต่อ cephalothin และ ampicillin มาตรฐานที่สุด (ร้อยละ 83 และ 50 ตามลำดับ) จะเห็นได้ว่า UPEC ของ การศึกษาครั้งนี้มีการดีอ่อนต่อ enrofloxacin และ norfloxacin มากกว่าการศึกษา ก่อนหน้า โดย enrofloxacin และ norfloxacin เป็นยาต้านจุลชีพคลุ่ม fluoroquinolone ออกฤทธิ์ช่วงกว้าง ยับยั้งการเจริญของแบคทีเรียแกรนูลบากและแกรมลบ ในปัจจุบันได้รับความนิยมในการรักษาการติดเชื้อทางเดินปัสสาวะ โดยออกฤทธิ์ป้องกันการเกิด DNA replication ผ่านการยับยั้งเอนไซม์ DNA gyrase (Topoisomerase II) ซึ่งมีหน้าที่คลายเกลียวของสายด NA ของเอนไซม์ DNA gyrase เป็นกระบวนการที่สำคัญในขบวนการ DNA replication และ transcription

กลไกการต้านยาของ *E. coli* ต่อยาในกลุ่ม fluoroquinolone เนื่องจากการถ่ายพันธุ์ของ *gyrA* ซึ่งเป็น encoding gene บริเวณ A subunit ของเอนไซม์ DNA gyrase และการถ่ายพันธุ์บริเวณ Topoisomerase IV (encode โดย *parC* และ *parE* genes) และอีกกระบวนการหนึ่งอาจเกิดจากการเปลี่ยนแปลงของ permeability ต่อ quinolone โดยลดการนำยาเข้าเซลล์หรือเพิ่มการขับออกของยาทำให้เกิดการต้านยาตามมา (Vila et al., 1996) Cooke และคณะ (2002) รายงานการต้านต่อ enrofloxacin ของ UPEC ของสูนัชที่มหาวิทยาลัยแคลิฟอร์เนียร์ เดวิส เพิ่มขึ้นในช่วงปีค.ศ. 1996-1997 และความนิยมในการใช้ยาทำให้ปริมาณการใช้ยา enrofloxacin ของโรงพยาบาลสัตว์ของมหาวิทยาลัยในสหรัฐอเมริกาเพิ่มขึ้นจาก 1,300 กรัมในปี ค.ศ. 1995 เป็น 2,360 กรัมในปีต่อมา ทำให้เชื่อว่าปัญหาการต้านยาของเชื้ออามีสานเหตุจากปริมาณการใช้ยาอย่างไม่ระมัดระวัง ซึ่งการต้านยาในกลุ่ม fluoroquinolone ของจุลชีพที่ก่อโรคทางเดินปัสสาวะในสูนัชนี้กำลังเป็นปัญหาในปัจจุบันและมีแนวโน้มของการต้านยาเพิ่มสูงขึ้นทุกปี (Cohn et al., 2003) นอกจากจะต้านต่อยาในกลุ่ม fluoroquinolone แล้ว เชื้อ UPEC จากการศึกษาในครั้งนี้ ยังต้านต่อ ampicillin, amoxicillin และ cephazolin ซึ่งเป็นยาต้านจุลชีพกลุ่ม beta lactam โดย ampicillin และ amoxicillin จัดอยู่ในกลุ่ม aminopenicillin ส่วน cephazolin ออยู่ในกลุ่ม first generation cephalosporin ยาต้านจุลชีพกลุ่ม beta lactam จะออกฤทธิ์ยับยั้งการสร้างสังเคราะห์ peptidoglycan ของผนังเซลล์แบบที่เรียกว่า hydrolysis ของ penicillin-binding proteins (PBPs) ที่มีส่วนในการ cross-linkage ของ glycopeptide polymers ใน การสร้างผนังเซลล์ การต้านยาในกลุ่ม beta lactam ของแบคทีเรียแกรนูลาตี้เนอไซด์ beta-lactamase ที่อยู่บริเวณ periplasmic space ซึ่งมีหลายชนิด เช่น TEM-1, TEM-2 และ SHV-1 ทำให้เกิด hydrolysis ของ beta lactam ring (Prescott and Baggot, 1993) แบคทีเรียที่สร้างเอนไซม์ beta-lactamase ทำให้เกิดการต้านต่อยาในกลุ่ม beta lactam อาจเรียกว่า extended-spectrum beta lactamase (ESBLs) Sanchez และคณะ (2002) รายงานการต้านยาหลายชนิดของเชื้อ *E. coli* ที่แยกจากสูนัชที่มีการติดเชื้อจากโรงพยาบาลพบว่า เชื้อ *E. coli* มักต้านต่อยาในกลุ่ม cephalosporins, beta-lactams และ beta-lactamase inhibitor clavulanic acid และพบว่า *E. coli* ที่ต้านต่อยาในกลุ่ม cephalosporin (extened-spectrum cephalosporin resistance) มีการพบ cephemycinase-encoding gene, *bla_{CMY2}* ถึงร้อยละ 94.12 และมีลำดับเบสคล้ายกับ *bla_{CMY2}* จากแหล่งข้าง外 (GenBank assession no. AF475279) ร้อยละ 99.9 ซึ่งในปัจจุบันการต้านยาในกลุ่ม ESBLs ของ *E. coli* ในมนุษย์และสัตว์กำลังได้รับความสนใจจากนักวิจัยอย่างกว้างขวาง

จากการศึกษาครั้งนี้พบว่า *E. coli* ที่แยกจากสูนัชจากสูนัชกลุ่มควบคุมบางไอโซเลทไม่มีผลิตภัณฑ์ปฏิกิริยาลูกโซ่ อาจเนื่องจากไม่มียีนที่เกี่ยวข้องกับความรุนแรงต่อทางเดินปัสสาวะหรือไม่มีสารพันธุกรรมของเชื้อ ดังนั้นหากมีการศึกษาในครั้งต่อไปจึงควรมีการใช้เพร์เมอร์ที่จำเพาะต่อ 16S rRNA ของ *E. coli* เพื่อเป็นการยืนยันว่ามี DNA ของ *E. coli* ในทุกตัวอย่างที่ทำการทดสอบเพื่อทำ

หน้าที่เป็นตัวควบคุมบวกต่อการติดเชื้อ *E. coli* อีกทั้งการศึกษาในครั้งนี้ไม่มีตัวควบคุมบวกต่อยืนที่เกี่ยวข้องกับความรุนแรงทุกยืนที่ทำการศึกษา เนื่องจากไม่สามารถหา UPEC สายพันธุ์ที่มียืนทุกยืนที่เกี่ยวข้องกับความรุนแรงต่อทางเดินปัสสาวะได้ ซึ่งอาจเกิดขึ้นโดยการทำ single PCR เพื่อตรวจสืบยืนต่างๆ ทุกยืนที่มีการศึกษาควบคู่ไปด้วยทุกครั้ง แม้การทดลองครั้งนี้จะขาดตัวควบคุมบวกแต่อาจสรุปได้ว่า ไพรเมอร์ที่ใช้สามารถตรวจหา yin ที่กล่าวถึงได้ โดยการสังเกตจากน้ำหนักโมเลกุลของผลิตภัณฑ์ ลูกโซ่โพลิเมอร์เรสซิ่งตรงตามการศึกษาก่อนหน้า (Yamamoto et al., 1995; Chen et al., 2003; Drazenovich et al., 2004)

ผลการศึกษาในครั้งนี้พบว่า เชื้อ *E. coli* เป็นสาเหตุหลักให้เกิดการติดเชื้อทางเดินปัสสาวะในสุนัข ปัสสาวะของสุนัขที่มีการติดเชื้อ *E. coli* ในทางเดินปัสสาวะมีค่าเฉลี่ยของความถ่วงจำเพาะกลูโคส ระดับเลือดและระดับเม็ดเลือดขาวในปัสสาวะสูงกว่าสุนัขที่ไม่มีการติดเชื้อ อาการทางคลินิกของสุนัขที่ติดเชื้อ *E. coli* ในทางเดินปัสสาวะที่พบเด่นชัดที่สุดคือ อาการปัสสาวะเป็นเลือด แต่เมื่อศึกษาหาความสัมพันธ์ทางสถิติของระดับเลือดและระดับเม็ดเลือดแดงแจ้งเฉลี่ยในปัสสาวะกับยืนชนิดต่างๆ ที่เกี่ยวข้องกับความรุนแรงต่อทางเดินปัสสาวะกลับไม่พบความสัมพันธ์ดังกล่าว แต่พบว่า yin aer มีแนวโน้มสัมพันธ์กับอาการปัสสาวะเป็นเลือด อาจเนื่องจากการพบเลือดในปัสสาวะเกิดได้จากหลายปัจจัยทั้งปัจจัยในม่านดาบ จากตัวสุนัข มิได้จำเพาะกับ yin ที่เกี่ยวข้องกับความรุนแรงต่อทางเดินปัสสาวะของแบคทีเรียแต่เพียงอย่างเดียว ส่วนการศึกษาถึงความสัมพันธ์ทางสถิติของยืนชนิดต่างๆ ที่เกี่ยวข้องกับความรุนแรงต่อทางเดินปัสสาวะของ *E. coli* กับการติดเชื้อ *E. coli* ในทางเดินปัสสาวะพบว่า yin aer เพียงชนิดเดียวที่มีความสัมพันธ์ทางสถิติกับการติดเชื้อ *E. coli* ในทางเดินปัสสาวะอย่างมีนัยสำคัญ ($P<0.05$) แต่อย่างไรก็ตามความมีการเก็บตัวอย่างเพื่อศึกษาเพิ่มเติมต่อไปเพื่อให้ได้ข้อมูลที่ถูกต้อง แม่นยำ และชัดเจนยิ่งขึ้น จากการศึกษาครั้งนี้พบว่า UPEC มีความไวสูงสุดต่อ amikacin อย่างไรก็ตามการใช้ยาต้านจุลชีพเพื่อรักษาการติดเชื้อแบคทีเรียในทางเดินปัสสาวะควรคำนึงถึงขนาดและระยะเวลาที่ใช้รวมถึงสภาพของสุนัข อีกทั้งควรมีการตรวจนับจำนวนของแบคทีเรียเพื่อประเมินการติดเชื้อ ทำการเพาะและพิสูจน์เชื้อแบคทีเรียที่เป็นสาเหตุ พร้อมทั้งทดสอบความไวรับต่อยาต้านจุลชีพเพื่อเลือกชนิดของยาที่เหมาะสม กับการติดเชื้อทางเดินปัสสาวะร่วมด้วยทุกครั้ง เพื่อการรักษาการติดเชื้อแบคทีเรียในทางเดินปัสสาวะที่มีประสิทธิภาพต่อไป

รายการอ้างอิง

ภาษาไทย

นิยดา สุวรรณ์คง ขั้นรังค์ คงชาญแพทย์ ชลอดา บูรณกາล รスマ ภู่สุนทรธรรม และ สัมพันธ์ พฤกษากร. 2539. ศึกษาค่าโลหิตวิทยา เคมีคลินิก การวิเคราะห์ปัสสาวะและการเพาะเชื้อ แบคทีเรียในปัสสาวะของสุนัขและแมวที่มีความผิดปกติของระบบขับถ่ายปัสสาวะ. ใน โครงการการเรียนการสอนเพื่อเสริมประสบการณ์ ปีการศึกษา 2539 คณะสัตวแพทยศาสตร์ จุฬาลงกรณ์มหาวิทยาลัย, หน้า 439-466.

ภาษาอังกฤษ

- Bailiff, N.L., Westropp, J.L., Jang, S.S. and Ling, G.V. 2005. *Corynebacterium urealyticum* urinary tract infection in dogs and cats: 7 cases (1996-2003). *J. Am. Vet. Med. Assoc.* 226 (10): 1676-1680.
- Barrow, G.I. and Feltham, R.K.A. 1993. Cowan and Steel's manual for the identification of medical bacteria. 3rd ed. Cambridge: Cambridge University Press.
- Bartges, J.W. 2005. Urinary tract infections. In: S.J. Ettinger and E.C. Feldman (eds), *Textbook of veterinary internal medicine: Diseases of the dog and cat*. 6th ed, pp. 1800-1808. Philadelphia: Elsevier Saunders.
- Bauer, R.J., Zhang, L., Foxman, B., Siitonen, A., Jantunen, M.E., Saxen, H. and Marrs, C.F. 2002. Molecular epidemiology of 3 putative virulence genes for *Escherichia coli* urinary tract infection-*usp*, *isha*, and *iroN*_{*E. coli*}. *J. Infect. Dis.* 185 (10): 1521-1524.
- Boquet, P. 2001. The cytotoxic necrotizing factor 1 (CNF1) from *Escherichia coli*. *Toxicon*. 39 (11): 673-1680.
- Buffington, C.A.T., Blaisdell, J.L., Binns, S.P. Jr. and Woodworth, B.E. 1996. Decreased urine glycosaminoglycan excretion in cats with interstitial cystitis. *J. Urol.* 155 (5): 1801-1804
- Chen, Y.M.M., Wright, P.J., Lee, C.S. and Browning, G.F. 2003. Uropathogenic virulence factors in isolates of *Escherichia coli* from clinical cases of canine pyometra and feces of healthy bitches. *Vet. Microbiol.* 94 (1): 57-69.

- Cohn, L.A., Gary, A.T., Fales, W.H. and Madsen, R.W. 2003. Trends in fluoroquinolone resistance of bacteria isolated from canine urinary tracts. *J. Vet. Diagn. Invest.* 15 (4): 338-343.
- Cooke, C.L., Singer, R.S., Jang, S.S. and Hirsh, D.C. 2002. Enrofloxacin resistance in *Escherichia coli* isolated from dogs with urinary tract infections. *J. Am. Vet. Med. Assoc.* 220 (2): 190-192.
- Dowling, P.M. 1996. Antimicrobial therapy of urinary tract infections. *Can. Vet. J.* 37 (7): 438-441.
- Drazenovich, N., Ling, G.V. and Foley, J. 2004. Molecular investigation of *Escherichia coli* strains associated with apparently persistent urinary tract infection in dogs. *J. Vet. Intern. Med.* 18 (3): 301-306.
- Dunning, M. and Stonehewer, J. 2002. Urinary tract infections in small animals: pathophysiology and diagnosis. *In. Practice.* 24 (8): 418-432.
- Emody, L., Kerenyi, M. and Nagy, G. 2003. Virulence factors of uropathogenic *Escherichia coli*. *Int. J. Antimicrob. Agents.* 22 (2): S29-S33.
- Feria, C., Machado, J., Correia, J.D., Goncalves, J. and Gaastra, W. 2001. Virulence genes and P fimbriae *papA* subunit diversity in canine and feline uropathogenic *Escherichia coli*. *Vet. Microbiol.* 82 (1): 81-89.
- Guyer, D.G., Radulovic, S., Jones, F.E. and Mobley, H.L.T. 2002. Sat, the secreted autotransporter toxin of uropathogenic *Escherichia coli*, is a vacuolating cytotoxin for bladder and kidney epithelial cells. *Infect. Immun.* 70 (8): 4539-4546.
- Hacker, J., Blum-Oehler, G., Muhlorfer, I. And Tschape, H. 1997. Pathogenicity islands of virulent bacteria: structure, function and impact on microbial evolution. *Mol. Microbiol.* 23 (6): 1089-1079.
- Hagman, R. and Kuhn, I. 2002. *Escherichia coli* strains isolated from the uterus and urinary bladder of bitches suffering from pyometra: comparison by restriction enzyme digestion and pulsed-field gel electrophoresis. *Vet. Microbiol.* 84 (1-2): 143-153.
- Holt, J.G., Krieg, N.R., Sneath, P.H.A., Staley, J.T. and Williams, S.T. 1994. Bergey's manual of determinative bacteriology. 9th ed. Philadelphia: Lippincott Williams&Wilkins.
- Ihrke, P.J., Norton, A.L., Ling, G.V. and Stannard, A.A. 1985. Urinary tract infection associated with long-term corticosteroid administration in dogs with chronic skin diseases. *J. Am. Vet. Med. Assoc.* 186 (1): 43-46.

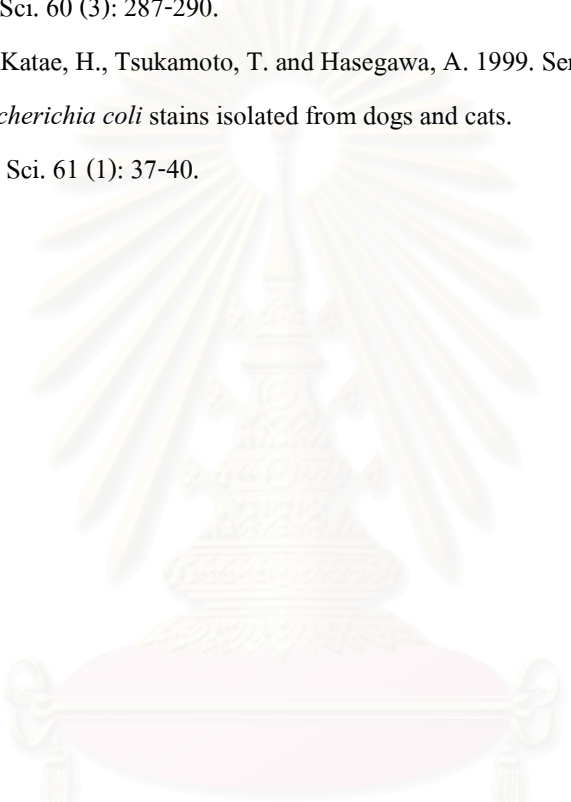
- Johnson, J.R. 1991. Virulence factors in *Escherichia coli* urinary tract infection. Clin. Microbiol. Rev. 4 (1): 80-128.
- Johnson, J.R. 1998. *papG* alleles among *Escherichia coli* strains causing urosepsis: associations with other bacterial characteristics and host compromise. Infect. Immun. 66 (9): 4568-4571.
- Johnson, J.R., O'Bryan, T.T., Low, D.A., Ling, G., Delavari, P., Fasching, C., Russo, T.A., Carlino, U. and Stell, A.L. 2000a. Evidence of commonality between canine and human extraintestinal pathogenic *Escherichia coli* strains that express *papG* allele III. Infect. Immune. 68 (6): 3327-3336.
- Johnson, J.R., Stell, A.L., Scheutz, F., O'Bryan, T.T., Russo, T.A., Carlino, U.B., Fasching, C., Kavle, J., Van Dijk, L. and Gaastra, W. 2000b. Analysis of the F antigen-specific *papA* alleles of extraintestinal pathogenic *Escherichia coli* using a novel multiplex PCR-based assay. Infect. Immune. 68 (3): 1587-1599.
- Johnson, J.R., Stell, A.L., Delavari, P., Murray, A.C., Kuskowski, M. and Gaastra, W. 2001. Phylogenetic and pathotypic similarities between *Escherichia coli* isolates from urinary tract infections in dogs and extraintestinal infections in humans. J. Infect. Dis. 183 (6): 897-906.
- Johnson, J.R., Kaster, N., Kuskowski, M.A. and Ling, G.V. 2003. Identification of urovirulence traits in *Escherichia coli* by comparison of urinary and rectal *E. coli* isolates from dogs with urinary tract infection. J. Clin. Microbiol. 41 (1): 337-345.
- Kaper, J.B., Nataro, J.P. and Mobley, H.L.T. 2004. Pathogenic *Escherichia coli*. Nature. Rev. Microbiol. 2 (2): 123-140.
- Kurazono, H., Yamamoto, S., Nakano, M., Nair, G.B., Terai, A., Chaicumpa, W. and Hayashi, H. 2000. Characterization of a putative virulence island in the chromosome of uropathogenic *Escherichia coli* possessing a gene encoding a uropathogenic-specific protein. Microb. Pathog. 28 (3): 183-189.
- Kurazono, H., Nakano, M., Yamamoto, S., Ogawa, O., Yuri, K., Nakata, K., Kimura, M., Makino, S. and Nair, G.B. 2003. Distribution of the *usp* gene in uropathogenic *Escherichia coli* isolated from companion animals and correlations with serotypes and size-variations of the pathogenicity island. Microbiol. Immunol. 47 (10): 797-802.
- L'Abee-Lund, T.M., Heiene, R., Friis, N.F., Ahrens, P. and Sorum, H. 2003. *Mycoplasma canis* and urogenital disease in dogs in Norway. Vet. Rec. 153 (8): 231-235.

- Landraud, L., Gauthier, M., Fosse, T. and Boquet, P. 2000. Frequency of *Escherichia coli* strains producing the cytotoxic necrotizing factor (CNF1) in nosocomial urinary tract infections. Lett. Appl. Microbiol. 30 (3): 213-216
- Le Bouguenec, C., Archambaud M. And Labigne. 1992. Rapid and specific detection of the *pap*, *afa*, and *sfa* adhesin-encoding operons in uropathogenic *Escherichia coli* strains by polymerase chain reaction. J Clin. Microbiol. 30 (5): 1189-1193.
- Ling, G.V. 1984. Therapeutic strategies involving antimicrobial treatment of the canine urinary tract. J. Am. Vet. Med. Assoc. 185 (10): 1162-1164.
- Ling, G.V., Norris, C.R., Franti, C.E., Eisele, P.H., Johnson, D.L., Ruby, A.L. and Jang, S.S. 2001. Interrelations of organism prevalence, specimen collection method, and host age, sex, and breed among 8,354 canine urinary tract infection (1969-1995). J. Vet. Intern. Med. 15 (4): 341-347.
- Low, D.A., Braaten, B.A., Ling, G.V., Johnson, D.L. and Ruby, A.L. 1988. Isolation and comparison of *Escherichia coli* strains from canine and human patients with urinary tract infections. Infect. Immun. 56 (10): 2601-2609.
- Lulich, J.P. and Osborne, C.A. 2004. Urine culture as a test for cure: why, when, and how ? Vet. Clin. North. Am. Small. Anim. 34 (4):1027-1041.
- Metts, J. 2001. Interstitial cystitis: urgency and frequency syndrome. Am. Fam. Physician. 64 (7): 1199-1206.
- Moreno, E., Planells, I., Prats, G., Planes, A.M., Moreno, G. and Andreu, A. 2005. Comparative study of *Escherichia coli* virulence determinants in strains causing urinary tract bacteremia versus strains causing pyelonephritis and other sources of bacteremia. Diagn. Microbiol. Infect. Dis. 53 (2): 93-99.
- Mulvey, M.A., Schilling, J.D., Martinez, J.J. and Hultgren, S.J. 2000. Bad bugs and beleaguered bladders: interplay between uropathogenic *Escherichia coli* and innate host defenses. Proc. Natl. Acad. Sci. USA. 97 (16): 8829-8835.
- Nakano, M., Yamamoto, S., Terai, A., Ogawa, O., Makino, S., Hayashi, H., Nair, G.B. and Kurazono, H. 2001. Structural and sequence diversity of the pathogenicity island of uropathogenic *Escherichia coli* which encodes the USP protein. FEMS. Microb. Lett. 205 (1): 71-76.

- National committee for clinical laboratory standard (NCCLS). 2007. Performance standards for antimicrobial susceptibility testing; 17th informational supplement. M100-S17. Pennsylvania: Clinical Diagnostic.
- Norris, C.R., Williams, B.J., Ling, G.V., Franti, C.E., Johnson, D.L. and Ruby, A.L. 2000. Recurrent and persistent urinary tract infections in dogs: 383 cases (1969-1995). *J. Am. Anim. Hosp. Assoc.* 36 (6): 484-492.
- O' Brien, T. and Stelling, J. 2007. WHONET 5.4. WHO collaborating centre for the surveillance of antibiotic resistance. Department of Essential drugs and medicine policy. World Health Organization. 1211 Geneva 27 Switzerland.
- Oelschlaeger, T.A., Dobrindt, U. and Hacker, J. 2002. Pathogenicity islands of uropathogenic *E. coli* and the evolution of virulence. *Int. J. Antimicrob. Agents.* 19 (6): 517-521.
- Ogeer-Gyles, J., Mathews, K., Weese, J.S., Prescott, J.F. and Boerlin, P. 2006. Evaluation of catheter-associated urinary tract infections and multi-drug-resistant *Escherichia coli* isolates from the urine of dogs with indwelling urinary catheters. *J. Am. Vet. Med. Assoc.* 229 (10): 1584-1590.
- Oluoch, A.O., Kim, C.H., Weisiger, R.M., Koo, H.Y., Siegel, A.M., Campbell, K.L., Burke, T.J., McKiernan, B.C. and Kakoma, I. 2001. Nonenteric *Escherichia coli* isolates from dogs: 674 cases (1990-1998). *J. Am. Vet. Med. Assoc.* 218 (3):381-384.
- Osborne, C.A. 1995. Three steps to effective management of bacterial urinary tract infections: diagnosis, diagnosis, and diagnosis. *Compend. Cont. Educ. Small. Anim. Pract.* 17 (10): 1233-1248.
- Polzin, D.J. 1994. Management of recurrent bacterial urinary tract infections. *Compend. Cont. Educ. Small. Anim. Pract.* 16 (12): 1565-1570.
- Prescott, J.F. and Baggot, J.D. 1993. Beta-lactam antibiotics. In: J.F. Prescott and J.D. Baggot (eds), *Antimicrobial therapy in veterinary medicine*. 2nd ed, pp. 74-132. Ames: Iowa State University Press.
- Pressler, B.M., Vaden, S.L., Lane, I.F., Cowgill, L.D. and Dye, J.A. 2003. *Candida* spp. urinary tract infections in dogs and seven cats: predisposing factors, treatment, and outcome. *J. Am. Anim. Hosp. Assoc.* 39 (3): 263-270.
- Rama, G., Chhina, D.K., Chhina, R.S. and Sharma, S. 2005. Urinary tract infections-microbial virulence determinants and reactive oxygen species. *Comp. Immun. Microbiol. Infect. Dis.* 28 (5-6): 339-349.

- Reine, N.J. and Langston, C.E. 2005. Urinalysis interpretation: how to squeeze out the maximum information from a small sample. Clin. Tech. Small. Anim. Pract. 20 (1): 2-10.
- Rohrich, P.J., Ling, G.V., Ruby, A.L. Jang, S.S. and Johnson, D.L. 1983. In vitro susceptibilities of canine urinary bacteria to selected antimicrobial agents. J. Am. Vet. Med. Assoc. 183 (8): 863-867.
- Seguin, M.A., Vaden, S.L., Altier, C., Stone, E. and Levine J.F. 2003. Persistent urinary tract infections and reinfections in 100 dogs. J. Vet. Intern. Med. 17 (5): 622-631.
- Senior, D.F., deMan, P. and Svanborg, C. 1992. Serotype, hemolysin production, and adherence characteristics of strains of *Escherichia coli* causing urinary tract infection in dogs. Am. J. Vet. Res. 53 (4): 49-498.
- Smarick, S.D., Haskins, S.C., Aldrich, J., Foley, J.E., Kass, P.H., Fudge, M. and Ling, G.V. 2004. Incidence of catheter-associated urinary tract infection among dogs in a small animal intensive care unit. J. Am. Vet. Med. Assoc. 224 (12): 1936-1940
- Stiffler, K.S., McCrackin Stevenson, M.A., Sanchez, S., Barsanti, J.A., Hofmeister, E. and Sudsberg, S.C. 2006. Prevalence and characterization of urinary tract infections in dogs with surgically treated type1 thoracolumbar intervertebral disc extrusion. Vet. Surg. 35 (4): 330-336.
- Ulgen, M., Cetin, C., Senturk, S., Ozel, A.E. and Ozdemir, U. 2006. Urinary tract infections due to *Mycoplasma canis* in dogs. J. Vet. Med. A. Physiol. Pathol. Clin. Med. 53 (7): 379-382.
- Vila, J., Ruiz, J., Goni, P. and Jimenez de Anta, M.T. 1996. Detection of mutations in *parC* in quinolone-resistant clinical isolates of *Escherichia coli*. Antimicrob. Agents. Chemother. 40 (2): 491-493.
- Westerlund, B., Pere, A., Korhonen, T.K., Jarvinen, A.K., Siitonens, A. and Williams, P.H. 1987. Characterization of *Escherichia coli* strains associated with canine urinary tract infections. Res. Vet. Sci. 42: 404-406.
- Wilson, R., Keefe, T.J., Davis, M.A., Browning, M.T. and Ondrusek, K. 1988. Strains of *Escherichia coli* associated with urogenital disease in dogs and cats. Am. J. Vet. Res. 49 (6): 743-746.
- Yamamoto, S., Terai, A., Yuri, K., Kurazono, H., Takeda, Y. and Yoshida, O. 1995. Detection of urovirulence factors in *Escherichia coli* by multiplex polymerase chain reaction. FEMS. Immunol. Med. Microbiol. 12 (2): 85-90.

- Yamamoto, S., Nakano, M., Terai, A. Yuri, K., Nakata, K., Nair, G.B., Kurazono, H. and Ogawa, O. 2001. The presence of the virulence island containing the *usp* gene in uropathogenic *Escherichia coli* is associated with urinary tract infection in an experimental mouse model. *J. Urol.* 165 (4): 1347-1351.
- Yuri, K., Nakata, K., Katae, H., Yamamoto, S. and Hasegawa, A. 1998. Distribution of uropathogenic virulence factors among *Escherichia coli* strains isolated from dogs and cats. *J. Vet. Med. Sci.* 60 (3): 287-290.
- Yuri, K., Nakata, K., Katae, H., Tsukamoto, T. and Hasegawa, A. 1999. Serotypes and virulence factors of *Escherichia coli* stains isolated from dogs and cats. *J. Vet. Med. Sci.* 61 (1): 37-40.



สถาบันวิทยบริการ
จุฬาลงกรณ์มหาวิทยาลัย



ภาคผนวก

สถาบันวิทยบริการ จุฬาลงกรณ์มหาวิทยาลัย

ภาคผนวก ก

ข้อมูลสัตว์ป่วย

การวิจัยครั้งนี้ทำการศึกษาในสุนัขที่เข้ารับการรักษาที่โรงพยาบาลสัตว์เล็ก คณะสัตวแพทยศาสตร์ จุฬาลงกรณ์มหาวิทยาลัย ที่แสดงอาการผิดปกติของทางเดินปัสสาวะ ในระหว่างเดือนเมษายน พ.ศ. 2550 ถึงเดือนมกราคม พ.ศ. 2551 ทำการเก็บตัวอย่างปัสสาวะ วิเคราะห์ปัสสาวะ เพาะ และพิสูจน์เชื้อแบคทีเรียร่วมกับการตรวจนับจำนวนแบคทีเรียนในปัสสาวะ สามารถทำการเพาะและพิสูจน์เชื้อแบคทีเรียจากปัสสาวะจำนวน 58 ตัวอย่าง (ร้อยละ 55.2) ตัวอย่างละ 1 โลชีลेथ (ตารางที่ 18)

สุนัขที่มีการติดเชื้อแบคทีเรียนในทางเดินปัสสาวะ จำนวน 58 ตัว แบ่งเป็นเพศผู้ 10 ตัว (ร้อยละ 17.24) เพศเมีย 20 ตัว (ร้อยละ 34.48) และเพศเมียทำหมัน 21 ตัว (ร้อยละ 36.21) อายุเฉลี่ยของสุนัขที่มีการติดเชื้อแบคทีเรียนในทางเดินปัสสาวะ คือ 6.41 ± 3.04 ปี อายุเฉลี่ยของสุนัขเพศผู้ที่มีการติดเชื้อแบคทีเรียนในทางเดินปัสสาวะ คือ 7.19 ± 3.20 ปี และอายุเฉลี่ยของสุนัขเพศเมียที่มีการติดเชื้อแบคทีเรียนในทางเดินปัสสาวะ คือ 6.09 ± 2.96 ปี ตามลำดับ พบรการติดเชื้อแบคทีเรียนในทางเดินปัสสาวะของสุนัขทั้งหมด 14 สายพันธุ์ โดยพบในสุนัขพันธุ์ผสมมากที่สุด (ร้อยละ 31.03) รองลงมาได้แก่ พันธุ์ Shih tzu และ พันธุ์ Golden retriever ตามลำดับ สุนัขทั้ง 3 สายพันธุ์นี้รวมกันมีการติดเชื้อแบคทีเรียนในทางเดินปัสสาวะคิดเป็นร้อยละ 62 ของจำนวนสุนัขที่มีการติดเชื้อแบคทีเรียนในทางเดินปัสสาวะทั้งหมด เมื่อพิจารณาการติดเชื้อแบคทีเรียนในทางเดินปัสสาวะแยกตามเพศของสุนัขพบว่า ในสุนัขเพศเมียพันธุ์สุนัขที่มีการติดเชื้อแบคทีเรียนในทางเดินปัสสาวะมากที่สุด คือ พันธุ์ผสม พันธุ์ Shih tzu และพันธุ์ Golden retriever ตามลำดับ โดยไม่พบในสุนัขพันธุ์ German shepherd และพันธุ์ Siberian husky ขณะที่ในสุนัขเพศผู้พบการติดเชื้อแบคทีเรียนในทางเดินปัสสาวะมากในพันธุ์ผสม และพันธุ์ Golden retriever ตามลำดับ แต่ไม่พบในสุนัขพันธุ์ Basset hound, พันธุ์ Doberman pinscher, พันธุ์ Pomeranian, พันธุ์ Scottish terrier และพันธุ์ Shih tzu จากการศึกษานี้ไม่พบความสัมพันธ์ของสายพันธุ์สุนัขกับการติดเชื้อแบคทีเรียนในทางเดินปัสสาวะ

ตารางที่ 18 แสดงอายุ เพศ พันธุ์และชนิดของจุลชีพที่แยกจากปัสสาวะของสุนัขที่มีการติดเชื้อแบคทีเรียในทางเดินปัสสาวะ

ลำดับ	รหัส	อายุ (ปี)	เพศ	พันธุ์	ชนิดของจุลชีพ
1	A1	4.4	เพศเมีย	ผสุน	<i>Escherichia coli</i>
2	A2	4.8	เพศเมีย ทำหมัน	Golden retriever	<i>Escherichia coli</i>
3	A3	7.4	เพศเมีย	Shih tzu	<i>Enterococcus faecium</i>
4	A5	3.7	เพศเมีย	Golden retriever	<i>Escherichia coli</i>
5	A7	10	เพศเมีย	Shih tzu	<i>Staphylococcus aureus</i>
6	A9	6.3	เพศเมีย ทำหมัน	ผสุน	<i>Escherichia coli</i>
7	A10	3.4	เพศเมีย	Cocker spaniel	<i>Proteus mirabilis</i>
8	A12	5.2	เพศเมีย ทำหมัน	Shih tzu	<i>Escherichia coli</i>
9	A14	4.5	เพศเมีย ทำหมัน	Pomeranian	<i>Staphylococcus aureus</i>
10	A15	9.9	เพศเมีย ทำหมัน	Doberman pinscher	<i>Escherichia coli</i>
11	A17	2.5	เพศเมีย	Yorkshire terrier	<i>Staphylococcus aureus</i>
12	A19	10	เพศเมีย ทำหมัน	ผสุน	<i>Escherichia coli</i>
13	A20	9	เพศผู้	German shepherd	<i>Enterobacter cloaca</i>
14	A21	6.2	เพศเมีย	ผสุน	<i>Staphylococcus aureus</i>
15	A23	3.9	เพศเมีย	Dachshund	<i>Escherichia coli</i>
16	A24	5.2	เพศเมีย ทำหมัน	ผสุน	<i>Escherichia coli</i>
17	A26	9.7	เพศเมีย ทำหมัน	ผสุน	<i>Proteus mirabilis</i>
18	A27	6	เพศเมีย ทำหมัน	Miniature/toy poodle	<i>Staphylococcus aureus</i>
19	A28	2.3	เพศผู้	Cocker spaniel	<i>Pseudomonas aeruginosa</i>
20	A29	4	เพศผู้	ผสุน	<i>Pseudomonas aeruginosa</i>
21	A33	4	เพศผู้	ผสุน	<i>Escherichia coli</i>
22	A34	11	เพศผู้ ทำหมัน	Golden retriever	<i>Klebsiella pneumoniae</i>
23	A37	10	เพศเมีย ทำหมัน	ผสุน	<i>Enterobacter cloaca</i>
24	A39	14	เพศเมีย	Miniature/toy poodle	<i>Escherichia coli</i>
25	A40	5	เพศเมีย	Shih tzu	<i>Klebsiella pneumoniae</i>

ตารางที่ 18 (ต่อ)

ลำดับ	รหัส	อายุ (ปี)	เพศ	พันธุ์	ชนิดของจุลชีพ
26	A42	2	เพศเมีย	Shih tzu	<i>Staphylococcus aureus</i>
27	A45	5	เพศเมีย ทำหมัน	Golden retriever	<i>Staphylococcus aureus</i>
28	A46	5	เพศเมีย	Shih tzu	<i>Staphylococcus aureus</i>
29	A48	7.2	เพศเมีย ทำหมัน	ผสุน	<i>Proteus mirabilis</i>
30	A49	5	เพศเมีย ทำหมัน	ผสุน	<i>Escherichia coli</i>
31	A50	7	เพศผู้	ผสุน	<i>Enterobacter cloacae</i>
32	A51	6	เพศผู้ ทำหมัน	Siberian husky	<i>Staphylococcus aureus</i>
33	A52	3.4	เพศเมีย	Shih tzu	<i>Staphylococcus aureus</i>
34	A53	4.7	เพศเมีย ทำหมัน	Pomeranian	<i>Escherichia coli</i>
35	A55	5	เพศเมีย	Miniature/toy poodle	<i>Staphylococcus aureus</i>
36	A56	1	เพศเมีย	Scottish terrier	<i>Klebsiella pneumoniae</i>
37	A57	9	เพศผู้	ผสุน	<i>Enterococcus faecium</i>
38	A58	8.3	เพศผู้ ทำหมัน	German shepherd	<i>Escherichia coli</i>
39	A60	7.9	เพศเมีย ทำหมัน	Golden retriever	<i>Staphylococcus aureus</i>
40	A63	8	เพศผู้	Golden retriever	<i>Pseudomonas aeruginosa</i>
41	A64	4	เพศเมีย	Golden retriever	<i>Pseudomonas aeruginosa</i>
42	A65	14	เพศผู้ ทำหมัน	Yorkshire terrier	<i>Pseudomonas aeruginosa</i>
43	A67	4	เพศเมีย ทำหมัน	ผสุน	<i>Pseudomonas aeruginosa</i>
44	A69	8	เพศเมีย ทำหมัน	ผสุน	<i>Staphylococcus aureus</i>
45	A70	9	เพศเมีย ทำหมัน	Basset hound	<i>Escherichia coli</i>
46	A74	4.5	เพศผู้	Labrador retriever	<i>Pseudomonas aeruginosa</i>
47	A78	7	เพศเมีย ทำหมัน	Labrador retriever	<i>Escherichia coli</i>
48	A79	1	เพศเมีย ทำหมัน	Shih tzu	<i>Pseudomonas aeruginosa</i>
49	A81	7.8	เพศเมีย ทำหมัน	Shih tzu	<i>Enterococcus faecium</i>
50	A82	6.3	เพศเมีย	ผสุน	<i>Klebsiella pneumoniae</i>

ตารางที่ 18 (ต่อ)

ลำดับ	รหัส	อายุ (ปี)	เพศ	พันธุ์	ชนิดของจุลชีพ
51	A83	10	เพศผู้ ทำหมัน	ผสม	<i>Escherichia coli</i>
52	A85	11	เพศผู้ ทำหมัน	Miniature/toy poodle	<i>Escherichia coli</i>
53	A87	4	เพศเมีย	Shih tzu	<i>Staphylococcus aureus</i>
54	A91	5	เพศผู้	Golden retriever	<i>Escherichia coli</i>
55	A94	5.2	เพศผู้ ทำหมัน	Dachshund	<i>Escherichia coli</i>
56	A96	4	เพศผู้	Labrador retriever	<i>Streptococcus canis</i>
57	A98	13	เพศเมีย	ผสม	<i>Staphylococcus aureus</i>
58	A100	8	เพศเมีย	Miniature/toy poodle	<i>Escherichia coli</i>

สุนัขที่ทำการศึกษาอาจแสดงอาการทางคลินิกแตกต่างกันขึ้นกับปริมาณและความรุนแรงของจุลชีพ ปัจจัยโน้มนำ ระยะเวลาที่ติดเชื้อร่วมถึงตำแหน่งที่มีการติดเชื้อ อาการทางคลินิกของสุนัขที่ทำการศึกษาแสดงดังตารางที่ 19 เมื่อศึกษาในกลุ่มสุนัขที่มีการติดเชื้อแบคทีเรียในทางเดินปัสสาวะพบว่า สุนัขที่มีการติดเชื้อแบคทีเรียในทางเดินปัสสาวะมักแสดงอาการปัสสาวะเป็นเลือด อีกทั้งพบความสัมพันธ์ของอาการผิดปกติที่สุนัขแสดงของกับเพศของสุนัข โดยสุนัขเพศเมียแสดงอาการปัสสาวะเป็นเลือดและปวดเบ่งปัสสาวะมากกว่าสุนัขเพศผู้ ขณะที่สุนัขเพศผู้มีความสัมพันธ์กับอาการปัสสาวะมีกลิ่นเหม็นผิดปกติมากกว่าสุนัขเพศเมียอย่างมีนัยสำคัญ (ตารางที่ 20)

การศึกษานี้เก็บตัวอย่างปัสสาวะด้วยวิธีเจาะผ่านผนังหน้าท้อง 56 ตัวอย่าง และวิธีการสอดท่อสวนปัสสาวะ 49 ตัวอย่าง พบร้อยตัวอย่างที่มีการติดเชื้อแบคทีเรียในทางเดินปัสสาวะซึ่งเก็บด้วยวิธีเจาะผ่านผนังหน้าท้อง 34 ตัวอย่าง และจากการสอดท่อสวนปัสสาวะ 24 ตัวอย่าง เมื่อวิเคราะห์ในกลุ่มสุนัขที่มีการติดเชื้อแบคทีเรียในทางเดินปัสสาวะพบความสัมพันธ์ระหว่างเพศของสุนัขกับวิธีการเก็บตัวอย่างปัสสาวะ โดยสุนัขเพศเมียใช้วิธีการเจาะผ่านผนังหน้าท้องในการเก็บตัวอย่างปัสสาวะ ร้อยละ 73.2 ซึ่งมากกว่าสุนัขเพศผู้ (ร้อยละ 23.5) ขณะที่วิธีการสอดท่อสวนปัสสาวะ ใช้เก็บตัวอย่างปัสสาวะจากสุนัขเพศผู้ (ร้อยละ 76.5) มากกว่าสุนัขเพศเมีย (ร้อยละ 26.8) ($p < 0.05$) (ตารางที่ 20)

ตารางที่ 19 แสดงอาการทางคลินิกของสูนซึ่มีการติดเชื้อทางเดินปัสสาวะ

จำนวนอาการ	อาการทางคลินิก	จำนวน (ตัว)
1	ปัสสาวะเป็นเลือด	3
	ปัสสาวะกระพริบกระพรอย	1
	ปัสสาวะลำบาก	1
2	ปัสสาวะเป็นเลือด ปัสสาวะลำบาก	5
	ปัสสาวะเป็นเลือด ปัสสาวะไม่เป็นที่	5
	ปวดเบ่งปัสสาวะ ปัสสาวะเป็นเลือด	3
	ปัสสาวะกระพริบกระพรอย ปัสสาวะไม่เป็นที่	3
	ปวดเบ่งปัสสาวะ ปัสสาวะลำบาก	1
	ปัสสาวะกระพริบกระพรอย ปัสสาวะมีกลิ่นเหม็นผิดปกติ	1
	ปัสสาวะกระพริบกระพรอย ปัสสาวะลำบาก	1
	ปัสสาวะมีกลิ่นเหม็นผิดปกติ ยีโมโกลบินในปัสสาวะ	1
	ปัสสาวะไม่เป็นที่ ปัสสาวะลำบาก	1
3	ปวดเบ่งปัสสาวะ ปัสสาวะเป็นเลือด ปัสสาวะลำบาก	10
	ปัสสาวะกระพริบกระพรอย ปัสสาวะมีกลิ่นเหม็นผิดปกติ ปัสสาวะไม่เป็นที่	3
	ปวดเบ่งปัสสาวะ ปัสสาวะกระพริบกระพรอย ปัสสาวะลำบาก	2
	ปัสสาวะกระพริบกระพรอย ปัสสาวะเป็นเลือด ปัสสาวะไม่เป็นที่	2
	ปัสสาวะกระพริบกระพรอย ปัสสาวะเป็นเลือด ปัสสาวะลำบาก	1
	ปัสสาวะกระพริบกระพรอย ปัสสาวะมีกลิ่นเหม็นผิดปกติ ปัสสาวะลำบาก	1
	ปัสสาวะกระพริบกระพรอย ปัสสาวะไม่เป็นที่ ปัสสาวะลำบาก	1
	ปัสสาวะเป็นเลือด ปัสสาวะไม่เป็นที่ ปัสสาวะลำบาก	1
	ปัสสาวะไม่เป็นที่ ปัสสาวะลำบาก ยีโมโกลบินในปัสสาวะ	1
4	ปวดเบ่งปัสสาวะ ปัสสาวะกระพริบกระพรอย ปัสสาวะเป็นเลือด	
	ปัสสาวะลำบาก	4
	ปวดเบ่งปัสสาวะ ปัสสาวะกระพริบกระพรอย ปัสสาวะไม่เป็นที่	
	ปัสสาวะลำบาก	2
	ปวดเบ่งปัสสาวะ ปัสสาวะเป็นเลือด ปัสสาวะไม่เป็นที่ ปัสสาวะลำบาก	2
	ปวดเบ่งปัสสาวะ ปัสสาวะไม่เป็นที่ ปัสสาวะลำบาก	
	ยีโมโกลบินในปัสสาวะ	1
5	ปวดเบ่งปัสสาวะ ปัสสาวะกระพริบกระพรอย ปัสสาวะเป็นเลือด	
	ปัสสาวะไม่เป็นที่ ปัสสาวะลำบาก	1

ตารางที่ 20 แสดงค่า Odds ratio (OR), 95% confidence interval (CI) และจำนวนสุนัขที่มีการติดเชื้อแบคทีเรียในทางเดินปัสสาวะ แยกตามคุณลักษณะและเพศ

คุณลักษณะ	การติดเชื้อทางเดินปัสสาวะ		OR	95% CI		
	เพศเมีย					
	(n/N) (ร้อยละ)	เพศผู้				
อายุ						
น้อยกว่า 4 ปี	8/41 (19.5)	1/17 (5.9)	3.88	0.42-89.83		
4-6 ปี	18/41 (43.9)	7/17 (41.2)	1.12	0.31-4.09		
7-10 ปี	13/41 (31.7)	6/17 (35.3)	0.85	0.22-3.30		
มากกว่า 11 ปี	2/41 (4.9)	3/17 (17.6)	0.24	0.02-2.04		
พันธุ์						
ผสุน	13/41 (31.7)	5/17 (29.4)	1.11	0.28-4.57		
Shih tzu	10/41 (24.4)	0	Undefined	Undefined		
Golden retriever	5/41 (12.2)	3/17 (17.6)	0.65	0.11-4.02		
Miniature/toy poodle	4/41 (9.8)	1/17 (5.9)	1.73	0.16-43.99		
Labrador retriever	1/41 (2.4)	2/17 (11.8)	0.19	0.01-2.96		
Pomeranian	2/41 (4.9)	0	Undefined	Undefined		
Yorkshire terrier	1/41 (2.4)	1/17 (5.9)	0.40	0.01-15.77		
Cocker spaniel	1/41 (2.4)	1/17 (5.9)	0.40	0.01-15.77		
Dachshund	1/41 (2.4)	1/17 (5.9)	0.40	0.01-15.77		
German shepherd	0	2/17 (11.8)	0.00	0.00-1.67		
Basset hound	1/41 (2.4)	0	Undefined	Undefined		
Doberman pinscher	1/41 (2.4)	0	Undefined	Undefined		
Scottish terrier	1/41 (2.4)	0	Undefined	Undefined		
Siberian husky	0	1/17 (5.9)	0.00	0.00-7.29		
วิธีการเก็บปัสสาวะ						
การเจาะผ่านผนังหน้าท้อง	30/41 (73.2)	4/17 (23.5)	8.86**	2.05-41.60		
การสวนท่อปัสสาวะ	11/41 (26.8)	13/17 (76.5)	0.11	0.02-0.49		

ตารางที่ 20 (ต่อ)

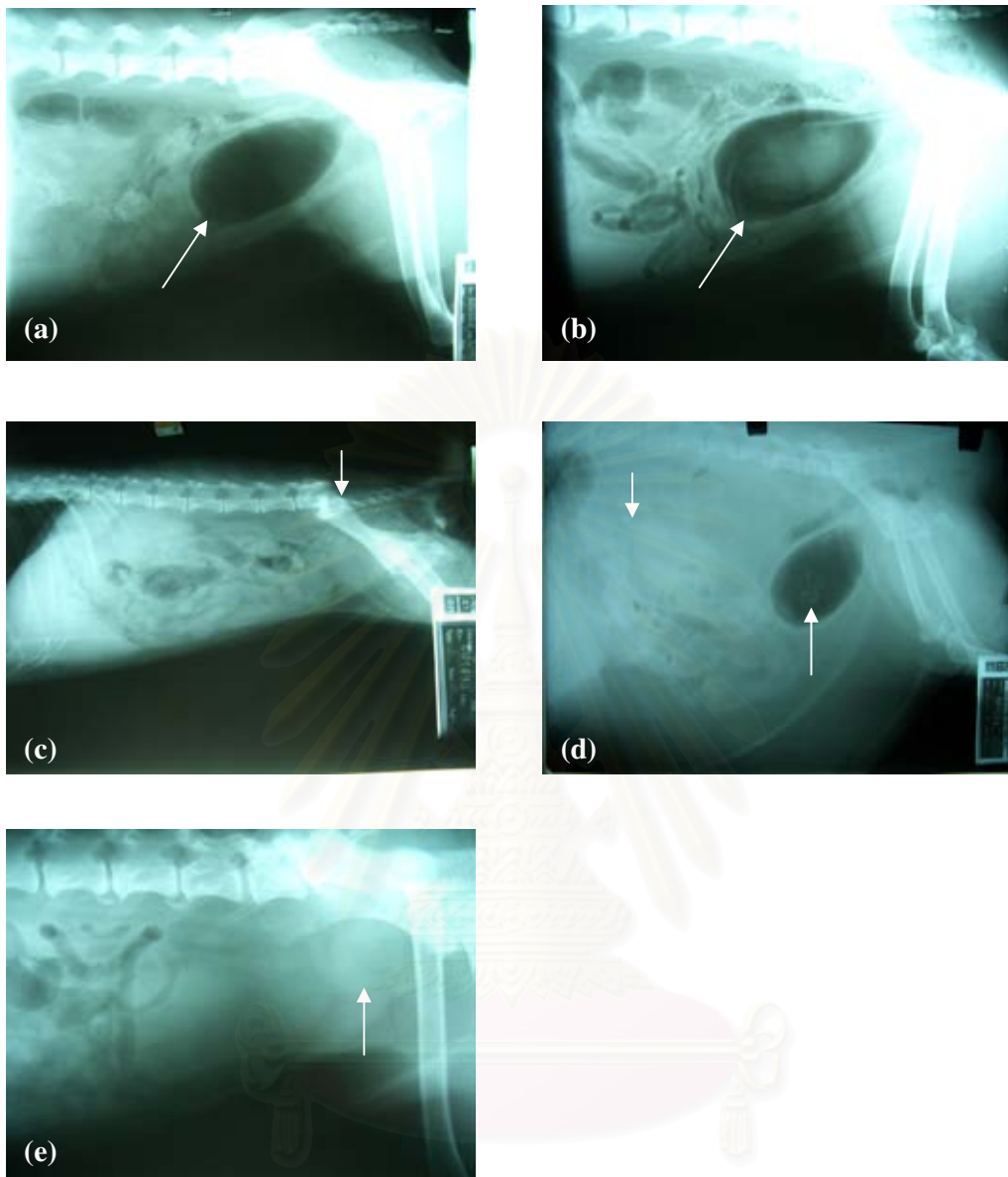
คุณลักษณะ	การติดเชื้อทางเดินปัสสาวะ		OR	95% CI		
	เพศเมีย					
	(n/N) (%)	(n/N) (%)				
อาการผิดปกติในระบบทางเดินปัสสาวะ						
ปัสสาวะ						
ปัสสาวะเป็นเลือด	30/41 (73.2)	7/17 (41.2)	3.90*	1.03-15.27		
ปัสสาวะลำบาก	26/41 (63.4)	10/17 (58.8)	1.21	0.33-4.47		
ปัสสาวะกระปริบกระปรอย	18/41 (43.9)	11/17 (64.7)	0.43	0.11-1.58		
ปวดเบ่งปัสสาวะ	24/41 (58.5)	2/17 (11.8)	10.59**	1.90-77.38		
ปัสสาวะไม่เป็นที่	10/41 (24.4)	7/17 (41.2)	0.46	0.12-1.79		
ปัสสาวะมีกลิ่นเหม็นผิดปกติ	1/41 (2.4)	5/17 (29.4)	0.06	0.00-0.63		
ไข้ในโกลบินในปัสสาวะ	1/41 (2.4)	2/17 (11.8)	0.19	0.01-2.96		
ปัจจัยใน้มนำ						
นิรในทางเดินปัสสาวะ	20/41 (48.8)	1/17 (5.9)	15.24*	1.80-336.80		
ต่อมลูกหมากโต	0	8/17 (47.1)	0.00	0.00-0.18		
การหักหรือเคลื่อนของกระดูก	3/41 (7.3)	0	Undefined	Undefined		
สันหลัง						
ภาวะ uremia	2/41 (4.9)	1/17 (5.9)	0.82	0.05-24.68		
ภูมิคุ้มกันลดลง	2/41 (4.9)	0	Undefined	Undefined		
โรคเบาหวาน	1/41 (2.4)	1/17 (5.9)	0.40	0.0-15.77		
ถุงน้ำหัวใจที่ต่อมลูกหมาก	0	1/17 (5.9)	0.00	0.00-7.29		
การคาดท่อสวนปัสสาวะเป็น	1/41 (2.4)	0	Undefined	Undefined		
เวลานาน						
Vesicourachal diverticulum	0	1/17 (5.9)	0.00	0.00-7.29		
การผ่าตัด urethroscopy	0	1/17 (5.9)	0.00	0.00-7.29		

หมายเหตุ: *; มีความแตกต่างอย่างมีนัยสำคัญทางสถิติ $p<0.05$, **; มีความแตกต่างอย่างมีนัยสำคัญทางสถิติ $p<0.01$, Undefined; คำนวณไม่ได้, n; จำนวนสุนัขจำแนกตามกลุ่ม และ N; จำนวนสุนัขทั้งหมดในแต่ละกลุ่ม

การศึกษาครั้งนี้ทำการเก็บข้อมูลเกี่ยวกับปัจจัยโน้มนำที่อาจก่อให้เกิดการติดเชื้อทางเดินปัสสาวะ พบปัจจัยโน้มนำที่เป็นสาเหตุให้เกิดการติดเชื้อแบคทีเรียในทางเดินปัสสาวะของสูนขจำนวน 10 ชนิด ปัจจัยโน้มนำที่เป็นสาเหตุสำคัญที่ก่อให้เกิดการติดเชื้อแบคทีเรียในทางเดินปัสสาวะโดยเรียงลำดับความสำคัญที่พบ คือ การพบริ่ำในทางเดินปัสสาวะและการมีต่อมลูกหมากโต และการหักหรือเคลื่อนของกระดูกสันหลังตามลำดับ (รูปที่ 10) ปัจจัยโน้มนำทั้ง 3 ชนิดนี้รวมกันมีการติดเชื้อแบคทีเรียในทางเดินปัสสาวะคิดเป็นร้อยละ 55.20 ของจำนวนสูนขที่มีการติดเชื้อแบคทีเรียในทางเดินปัสสาวะทั้งหมด เมื่อพิจารณาถึงปัจจัยโน้มนำเหล่านี้กับโอกาสที่ทำให้เกิดการติดเชื้อแบคทีเรียในทางเดินปัสสาวะพบว่า การมีนิ่วในทางเดินปัสสาวะและการที่สูนขป่วยมีต่อมลูกหมากโตมีแนวโน้มที่เป็นปัจจัยโน้มนำที่ทำให้เกิดการติดเชื้อแบคทีเรียในทางเดินปัสสาวะได้ (ตารางที่ 20)

ผลจากการศึกษาครั้งนี้พบนิ่วในส่วนต่างๆ ของทางเดินปัสสาวะร่วมกับการติดเชื้อแบคทีเรียในทางเดินปัสสาวะ เช่น นิ่วที่ไต กระเพาะปัสสาวะและท่อปัสสาวะของสูนข ตรวจพบนิ่วในกระเพาะปัสสาวะเพียงตำแหน่งเดียวมากที่สุด (ร้อยละ 90.48) รองลงมาคือพบนิ่วในกระเพาะปัสสาวะร่วมกับนิ่วที่ไต และนิ่วในท่อปัสสาวะ (ร้อยละ 4.76) ตามลำดับ เมื่อทำการทดสอบทางสถิติพบว่า ชนิดของนิ่ว มีความสัมพันธ์กับการติดเชื้อแบคทีเรียในทางเดินปัสสาวะคือ มักพบการติดเชื้อแบคทีเรียในทางเดินปัสสาวะในสูนขที่มีนิ่วชนิดแมกนีเซียมแอกโนเนียมฟอสเฟต ($p < 0.05$) (ตารางที่ 21)

ชนิดของแบคทีเรียที่แยกจากปัสสาวะของสูนขที่มีการติดเชื้อทางเดินปัสสาวะ แยกตามเพศ แสดงดังตารางที่ 9 พบว่า *E. coli* เป็นเชื้อแบคทีเรียหลักที่ก่อโรคทางเดินปัสสาวะทั้งสูนขเพศผู้และเพศเมียและสูนขเพศเมียมีการติดเชื้อแบคทีเรียในทางเดินปัสสาวะมากกว่าสูนขเพศผู้ อายุเฉลี่ยของสูนขเพศผู้ที่มีการติดเชื้อ *E. coli* ในทางเดินปัสสาวะมากกว่าสูนขเพศเมียที่มีการติดเชื้อ *E. coli* ในทางเดินปัสสาวะ แต่ไม่มีความแตกต่างอย่างมีนัยสำคัญทางสถิติ (ตารางที่ 22) โดยที่อายุเฉลี่ยของสูนขเพศเมียที่มีการติดเชื้อ *E. coli* ในทางเดินปัสสาวะคือ 6.69 ± 2.97 ปี โดยกลุ่มอายุที่มีการติดเชื้อมากที่สุดคือ ช่วงอายุ 4-6 ปี (ร้อยละ 46.7) รองลงมาได้แก่ ช่วงอายุ 7-10 ปี (ร้อยละ 33.3) และน้อยกว่า 4 ปี (ร้อยละ 13.3) ตามลำดับ ส่วนอายุเฉลี่ยของสูนขเพศผู้ที่มีการติดเชื้อ *E. coli* ในทางเดินปัสสาวะคือ 7.25 ± 2.92 ปี โดยกลุ่มอายุที่มีการติดเชื้อมากที่สุดคือ ช่วงอายุ 4-6 ปี (ร้อยละ 50) (ตารางที่ 23) ผลการศึกษาครั้งนี้ไม่พบความสัมพันธ์ของผลการตรวจอวิเคราะห์ปัสสาวะและชนิดของยีนที่เกี่ยวข้องกับความรุนแรงต่อทางเดินปัสสาวะของ *E. coli* (ตารางที่ 24)



รูปที่ 10 แสดงสาเหตุโน้มน้าวในสุนัขที่มีการติดเชือกเบคที่เรียกในทางเดินปัสสาวะ

- (a) สุนัขที่มี vesicourachal diverticulum (ศรีษะ) วินิจฉัยจากการพัฒนาของรังสีวิทยาโดยการทำ negative contrast cystography
- (b) สุนัขที่มี vesicourachal diverticulum (ศรีษะ) รายเดียวกับรูป (a) วินิจฉัยจากการทำ double contrast cystography
- (c) สุนัขที่มีการเคลื่อนของกระดูกสันหลังช่วงเชิงกราน (100% dorsal luxation of sacroiliac joint) (ศรีษะ)
- (d) สุนัขที่พบนิ่วในไต และกระเพาะปัสสาวะ (ศรีษะ)
- (e) สุนัขที่มีต่อมลูกหมากโต (ศรีษะ)

ตารางที่ 21 แสดงค่า Odds ratio (OR), 95% confidence interval (CI) และชนิดของนิวที่แยกได้จากสุนัขที่มีนิ่วในทางเดินปัสสาวะ แยกตามการติดเชื้อแบคทีเรียในทางเดินปัสสาวะ

ชนิดของนิว	การติดเชื้อทางเดินปัสสาวะ		OR	95% CI
	ติดเชื้อแบคทีเรีย (n/N) (ร้อยละ)	ไม่ติดเชื้อแบคทีเรีย (n/N) (ร้อยละ)		
แมกนีเซียมแอกซิมโมเนียม ฟอสเฟต	19/58 (32.8)	5/47 (10.6)	4.09**	1.27-13.96
แคดเซียมฟอสเฟต คาร์บอเนต	12/58 (20.7)	3/47 (6.4)	3.83	0.91-18.43
แคลเซียมออกไซด์	3/58 (5.2)	6/47 (12.8)	0.37	0.07-1.82
โมโนไฮเดรต	3/58 (5.2)	2/47 (4.3)	1.23	0.16-11.06

หมายเหตุ: **; มีความแตกต่างอย่างมีนัยสำคัญทางสถิติ $p<0.01$, n; จำนวนสุนัขจำแนกตามกลุ่ม และ N; จำนวนสุนัขทั้งหมดในแต่ละกลุ่ม

ตารางที่ 22 แสดงความแตกต่างของอายุเฉลี่ยของสุนัขที่มีการติดเชื้อแบคทีเรียในทางเดินปัสสาวะ แยกตามเพศ

สายพันธุ์แบคทีเรีย	การติดเชื้อทางเดินปัสสาวะ		t-test	P value	อายุเฉลี่ย (ปี)
	เพศผู้	เพศเมีย			
<i>Escherichia coli</i>	7.25±2.92	6.69±2.97	0.39	0.69	6.85±2.90
<i>Staphylococcus aureus</i>	6.00	5.89±3.00	Undefined	Undefined	5.90±2.89
<i>Pseudomonas aeruginosa</i>	6.56±4.65	3.00±1.73	1.24	0.26	5.22±4.07
<i>Klebsiella pneumoniae</i>	11.00	4.1±2.76	Undefined	Undefined	5.82±4.12
<i>Proteus mirabilis</i>	0	6.77±3.17	Undefined	Undefined	6.77±3.17
<i>Enterobacter cloaca</i>	8±1.41	10.00	Undefined	Undefined	8.67±1.53
<i>Enterococcus faecium</i>	7.6±0.28	9.00	Undefined	Undefined	8.07±0.83
<i>Streptococcus canis</i>	4.00	0	Undefined	Undefined	4.00

หมายเหตุ: Undefined; คำนวณไม่ได้

ตารางที่ 23 แสดงการกระจายของสายพันธุ์แบคทีเรียที่แยกได้จากปัสสาวะของสุนัขที่มีการติดเชื้อในทางเดินปัสสาวะ แยกตามอายุ

สายพันธุ์แบคทีเรีย	กลุ่มอายุ (จำนวน; ร้อยละ)					
	น้อยกว่า 4 ปี	4-6 ปี	7-10 ปี	ตั้งแต่ 11 ปี	อายุเฉลี่ย (ปี)	รวม
เพศเมีย						
<i>Escherichia coli</i>	2 (13.3)	7 (46.7)	5 (33.3)	1 (6.7)	6.69 ± 2.97	15
<i>Staphylococcus aureus</i>	3 (21.4)	7 (50)	3 (21.4)	1 (7.1)	5.89 ± 3.00	14
<i>Pseudomonas aeruginosa</i>	1 (33.3)	2 (66.7)	0	0	3.00 ± 1.73	3
<i>Klebsiella pneumoniae</i>	1 (33.3)	2 (66.7)	0	0	4.1 ± 2.76	3
<i>Proteus mirabilis</i>	1 (33.3)	0	2 (66.7)	0	6.77 ± 3.17	3
<i>Enterobacter cloaca</i>	0	0	1 (100)	0	10	1
<i>Enterococcus faecium</i>	0	0	2 (100)	0	9	2
<i>Streptococcus canis</i>	0	0	0	0	0	0
เพศผู้ชาย						
<i>Escherichia coli</i>	0	3 (50)	2 (33.3)	1 (16.7)	7.25 ± 2.92	6
<i>Staphylococcus aureus</i>	0	1 (100)	0	0	6	1
<i>Pseudomonas aeruginosa</i>	1 (20)	2 (40)	1 (20)	1 (20)	6.56 ± 4.65	5
<i>Klebsiella pneumoniae</i>	0	0	0	1 (100)	11.00	1
<i>Proteus mirabilis</i>	0	0	0	0	0	0
<i>Enterobacter cloaca</i>	0	0	2 (100)	0	8 ± 1.41	2
<i>Enterococcus faecium</i>	0	0	1 (100)	0	7.6 ± 0.28	1
<i>Streptococcus canis</i>	0	1 (100)	0	0	4	1

**สถาบันวิทยบริการ
จุฬาลงกรณ์มหาวิทยาลัย**

ตารางที่ 24 แสดงจำนวนยืนที่เกี่ยวข้องกับความรุนแรงของ UPEC และผลการตรวจวิเคราะห์ปัสสาวะ

ลำดับ	รหัส	จำนวนยืน	เลือด	สีโนโกลบิน	ระดับเม็ดเลือดขาว	ระดับเม็ดเลือดแดง
1	A1	2	0	2	2	3
2	A2	1	2	0	2	1
3	A5	1	0	2	2	1
4	A9	1	0	3	2	2
5	A12	2	3	0	2	3
6	A15	1	3	0	2	1
7	A19	1	3	0	2	1
8	A23	1	4	0	2	2
9	A24	1	4	0	2	2
10	A33	1	3	0	2	2
11	A39	1	0	2	2	1
12	A49	1	2	0	2	1
13	A53	1	0	3	2	1
14	A58	2	4	0	2	3
15	A70	1	2	0	2	1
16	A78	1	2	0	2	1
17	A83	1	4	0	2	3
18	A85	3	3	0	2	2
19	A91	3	4	0	2	3
20	A94	2	1	0	2	1
21	A100	3	4	0	2	3

สถาบันวิทยบริการ
จุฬาลงกรณ์มหาวิทยาลัย

ภาคผนวก ๊ฯ

อาหารเลี้ยงเชื้อและสารเคมี

อาหารเลี้ยงเชื้อ (culture media)

1. Luria-Bertani broth

Tryptone	10	กรัม
Yeast extract	5	กรัม
NaCl	5	กรัม
Distilled water	1	ลิตร

ปรับ pH 7.0 ± 0.1

สารเคมี

2. Tris-borate (TBE)

Stock solution (5X)

Tris base	54	กรัม
Boric acid	27.5	กรัม
0.5 M EDTA (pH 8.0)	20	มิลลิลิตร

Working solution (0.5X)

45 mM Tris-borate

1 mM EDTA

ภาคผนวก ค

ตารางการเผยแพร่ค่าความไว้วับของเชื้อมาตราฐาน



สถาบันวิทยบริการ
จุฬาลงกรณ์มหาวิทยาลัย

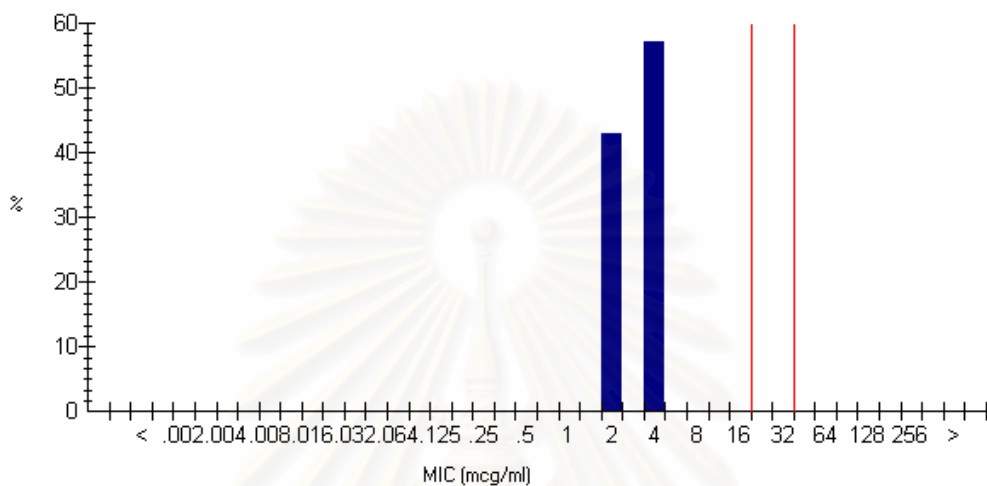
ตารางที่ 25 แสดงค่า MIC ของเชื้อมาตราฐานต่อยาด้านจุลชีพ 10 ชนิดที่ทำการศึกษา

เชื้อมาตราฐาน	ค่า MIC (ไม่ครอบคลุมต่อมิลลิตร)									
	AMK	AMX	AMP	CZO	CRO	DOX	ENR	GEN	NOR	SXT
<i>S. aureus</i> ATCC 29213	1 (1-4)	0.25 (0.12-0.5)	0.25 (0.5-2)	1 (0.25-1)	4 (1-8)	\leq 0.125 (0.12-0.5)	\leq 0.125 (-)	0.5 (0.12-1)	1 (0.5-2)	0.06/1.184 (\leq 0.5/9.5)
<i>E. coli</i> ATCC 25922	2 (0.5-4)	4 (2-8)	8 (2-8)	4 (1-4)	\leq 0.125 (0.03-0.12)	\leq 0.125 (0.5-2)	\leq 0.125 (-)	1 (0.25-1)	\leq 0.125 (0.03-0.12)	0.125/2.375 (\leq 0.5/9.5)
<i>Ps. aeruginosa</i> ATCC 27853	4 (1-4)	>512 (-)	>512 (-)	>512 (-)	8 (8-64)	32 (-)	2 (-)	2 (0.5-2)	2 (1-4)	>16/0 (8/152-32/608)

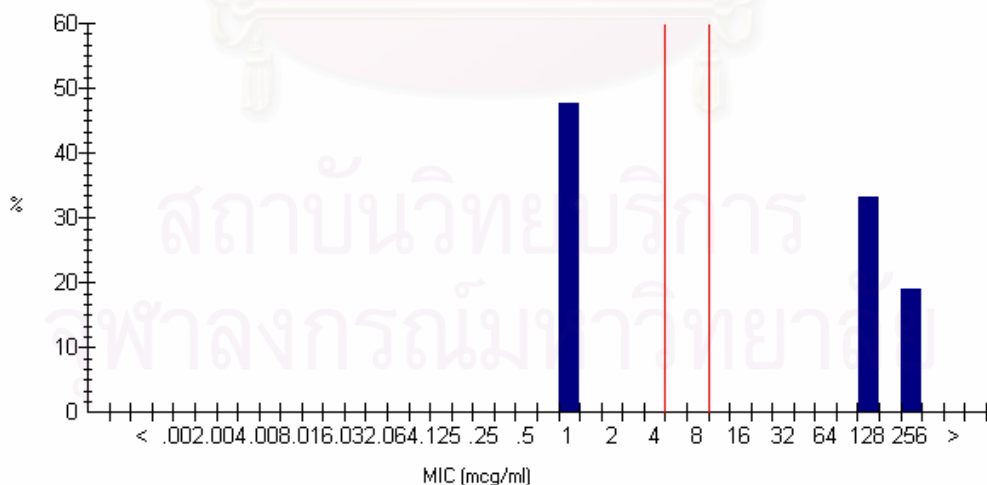
ที่มา: NCCLS (2007)

หมายเหตุ: AMK; amikacin, AMX; amoxicillin, AMP; ampicillin, CZO; cefazolin, CRO; ceftriaxone, DOX; doxycycline, ENR; enrofloxacin, GEN; gentamicin, NOR; norfloxacin, SXT; trimethoprim/sulphamethoxazole ตัวเลขใน () แสดงค่า MIC ของเชื้อมาตราฐานตาม และ (-) หมายถึง มิได้ระบุค่า

Amikacin

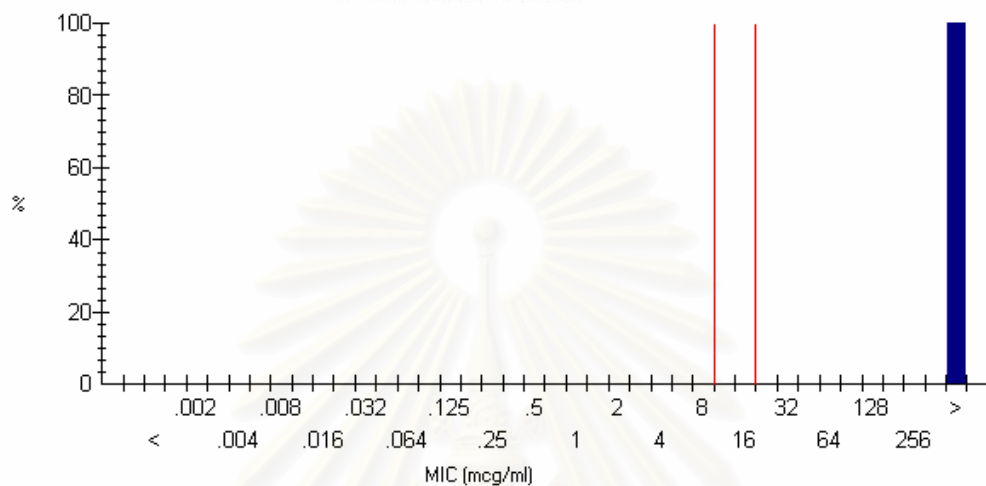


Gentamicin

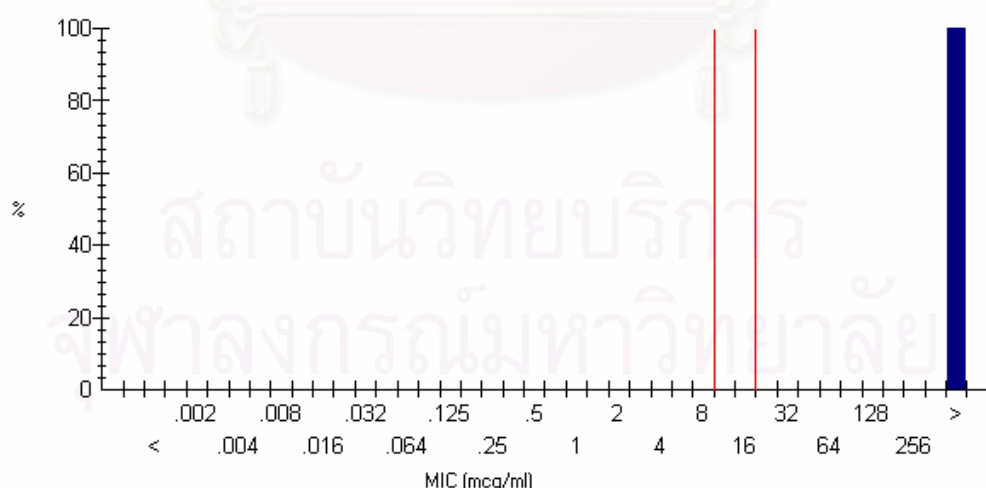


รูปที่ 11 แสดงค่า MIC ของยาต้านจุลชีพ amikacin และ gentamicin ต่อ UPEC ที่แยกจากสุนัขที่มีการติดเชื้อทางเดินปัสสาวะจำนวน 21 โภชนาศ

Amoxicillin

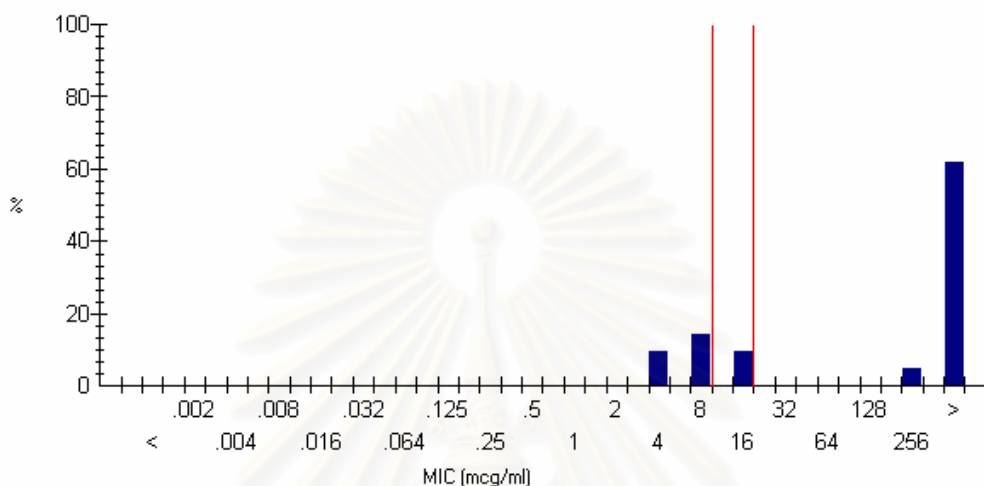


Ampicillin

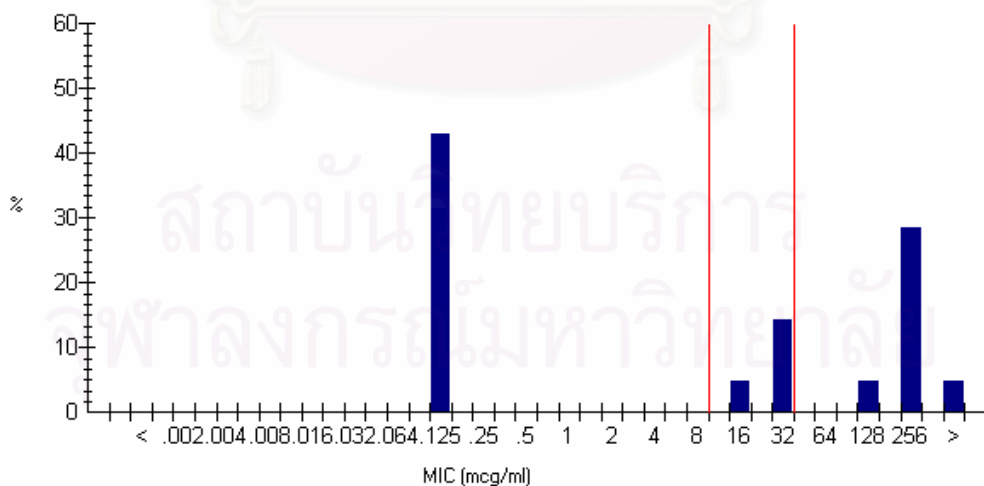


รูปที่ 12 แสดงค่า MIC ของยาต้านจุลชีพ amoxicillin และ ampicillin ต่อ UPEC ที่แยกจากสุนัขที่มีการติดเชื้อทางเดินปัสสาวะจำนวน 21 โภชนาศ

Cefazolin

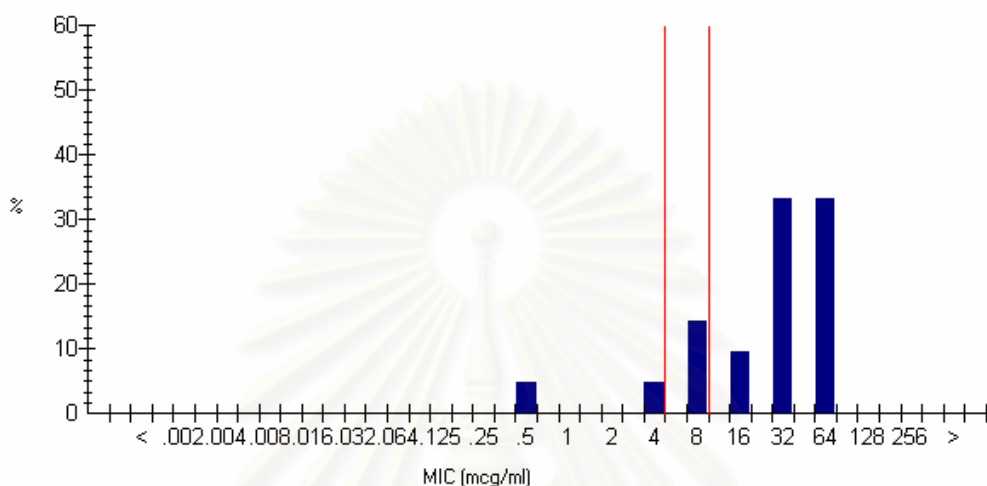


Ceftriaxone

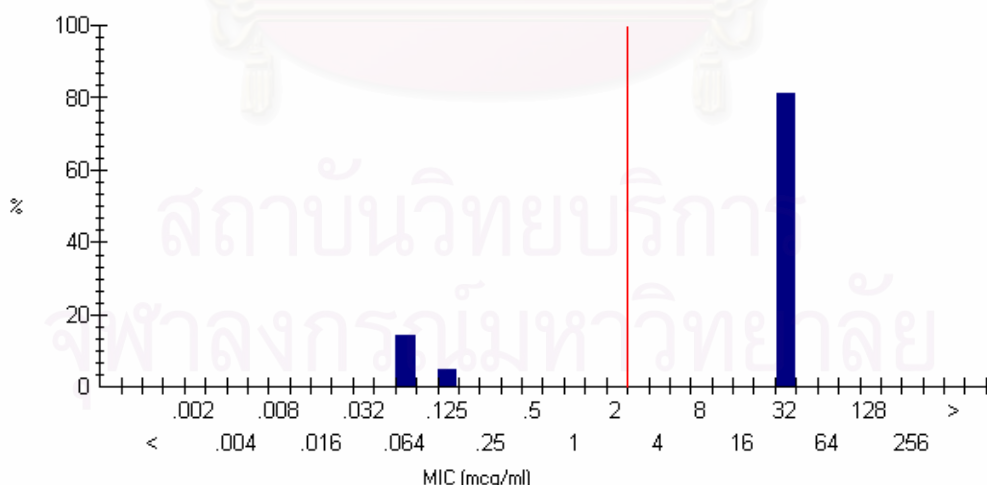


รูปที่ 13 แสดงค่า MIC ของยาต้านจุลชีพ cefazolin และ ceftriazone ต่อ UPEC ที่แยกจากสุนัขที่มีการติดเชื้อทางเดินปัสสาวะจำนวน 21 ໄอโซเลท

Doxycycline

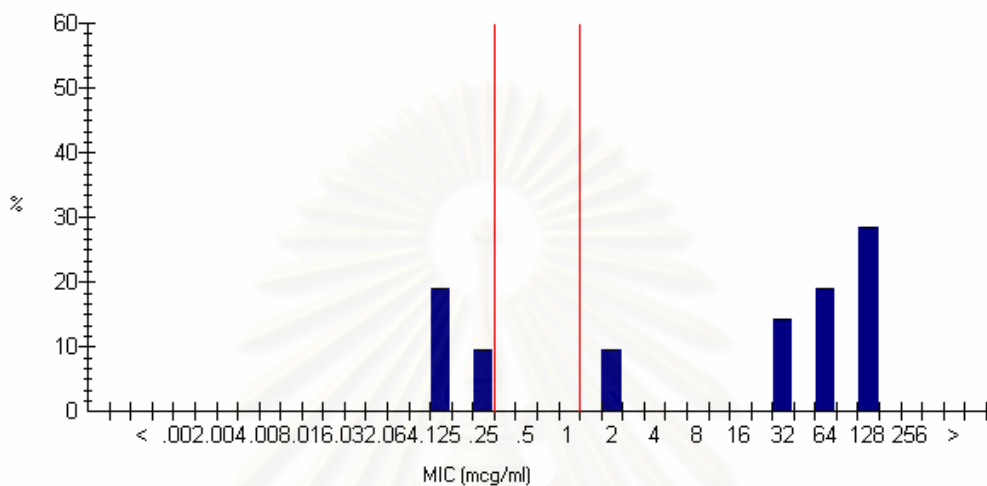


Trimethoprim/Sulfamethoxazole

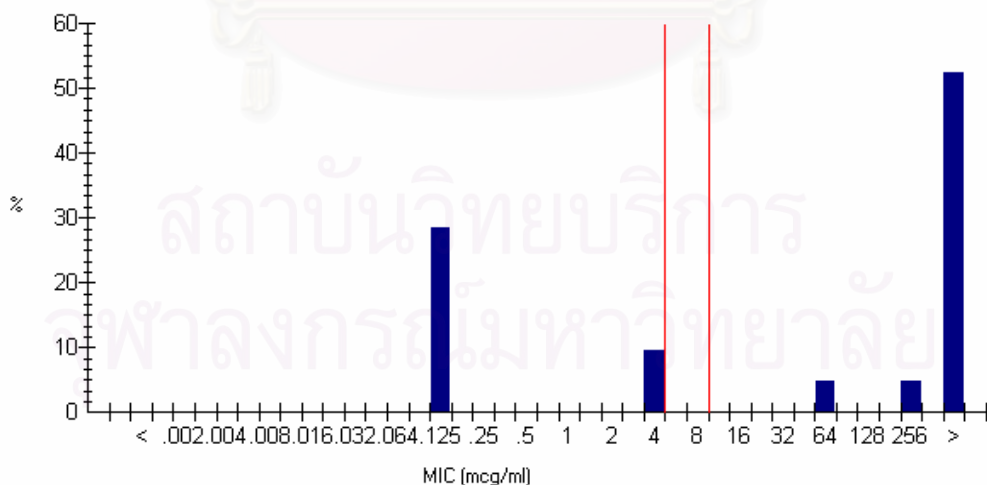


รูปที่ 14 แสดงค่า MIC ของยาต้านจุลชีพ doxycycline และ trimethoprim/sulfamethoxazole ต่อ UPEC ที่แยกจากสุนัขที่มีการติดเชื้อทางเดินปัสสาวะจำนวน 21 例 ใช้เลท

Enrofloxacin



Norfloxacin



รูปที่ 15 แสดงค่า MIC ของยาต้านจุลชีพ enrofloxacin และ norfloxacin ต่อ UPEC ที่แยกจากสุนัขที่มีการติดเชื้อทางเดินปัสสาวะจำนวน 21 例 ใช้เลข

ประวัติผู้เขียนวิทยานิพนธ์

นายยงยุทธ พงษ์ประภาชีน เกิดเมื่อวันที่ 26 กุมภาพันธ์ พ.ศ. 2524 จังหวัดกรุงเทพมหานคร สำเร็จการศึกษาระดับปริญญาตรี สัตวแพทยศาสตรบัณฑิต คณะสัตวแพทยศาสตร์ จุฬาลงกรณ์มหาวิทยาลัย ในปี พ.ศ. 2547 เข้าศึกษาต่อระดับบัณฑิตศึกษา หลักสูตร วิทยาศาสตรมหาบัณฑิต สาขา อายุรศาสตร์สัตวแพทย์ ภาควิชาอาชญาศาสตร์ คณะสัตวแพทยศาสตร์ จุฬาลงกรณ์มหาวิทยาลัย ในปี พ.ศ. 2548

สถาบันวิทยบริการ
จุฬาลงกรณ์มหาวิทยาลัย